



Вестник

Уральского
государственного
университета
путей сообщения

Научный журнал

Herald
of the Ural State University
of Railway Transport

Scientific journal



Научный журнал
«Вестник Уральского государственного
университета путей сообщения»
№ 2 (22), 2014 год

**Главный редактор,
научный редактор**
Василий Михайлович Сай

Литературный и выпускающий редактор
Людмила Станиславовна Барышникова

Техническое редактирование и верстка
Андрей Викторович Трубин

Дизайн обложки
Ольга Петровна Игнатьева

Учредитель и издатель:
Уральский государственный
университет путей сообщения
(УрГУПС)

Адрес для корреспонденции:
620034, Екатеринбург,
ул. Колмогорова, 66, УрГУПС,
редакция журнала
«Вестник УрГУПС»

Телефон редакции: (342) 221-25-60.
Веб-сайт: www.vestnik.usurt.ru;
e-mail: vestnik@usurt.ru.

Журнал издается по решению
ученого совета университета
©УрГУПС

Свидетельство о регистрации
средства массовой информации
Роскомнадзора ПИ № ФС77–38188
от 30 ноября 2009 г.

Подписной индекс журнала
в общероссийском
каталоге «Роспечать» — 70070

Отпечатано в издательстве
Уральского государственного
университета путей сообщения,
620034, Екатеринбург,
ул. Колмогорова, 66.

Подписано в печать 01.07.2014.

Тираж 300. 1-й з-д: 1–100.
Формат 70×100/16.
Заказ 138

Scientific journal «Herald of the
Ural State University
of Railway Transport»
№ 2 (22), 2014

**Editor-in-chief,
Science editor**
Vasily M. Say

Script and copy editor
Lyudmila S. Baryshnikova

Technical editing and make-up
Andrey V. Trubin

Cover design
Olga P. Ignatjeva

Founder and publisher:
The Ural State University
of Railway Transport
(USURT)

Correspondence address:
«Herald of USURT» editorial office
The Ural State University of
Railway Transport»
66 Kolmogorov Street,
620034, Ekaterinburg,

Telephone: +7 (342) 221-25-60.
Web-site: www.vestnik.usurt.ru;
e-mail: vestnik@usurt.ru.

The journal is published by the decision of
University Academic Board
©USURT

Certificate of registration of mass media
by the Federal Service for Supervision
in the sphere of communications,
information technology and mass communications
(Roskomnadzor) PI № FS77–38188
of November 30, 2009.

Subscription reference number of the issue
in the All Russia Catalogue «Rospechat» — 70070

Printed in the Publishing house
of the Ural State University of
Railway Transport
66 Kolmogorov Street,
620034, Ekaterinburg.

Passed for printing 01.07.2014.

Circulation 300. 1-й з-д: 1–100.
Format 70×100/16.
Order 138

Международный редакционный совет

Кейт Бурнхам, профессор, Университет г. Ковентри, факультет машиностроения и вычислительной техники, Великобритания

Владимир Анциферов, д-р техн. наук, профессор академик РАН, Пермь, Россия

Петер Копачек, профессор, Венский технологический университет, Венский институт транспорта и робототехники, интеллектуальный транспорт и робототехника, Вена, Австрия

Владимир Цыганов, д-р техн. наук, профессор, Институт проблем управления Российской академии наук, Москва, Россия

Марек Ситаж, профессор, Силезский технический университет, транспортный факультет, кафедра «Железнодорожный транспорт», Польша

Клаус Беккер, профессор, Университет прикладных наук г. Кельна, Институт автомобильной техники, лаборатория NVH, Германия

Василий Сай, д-р техн. наук, профессор, Уральский государственный университет путей сообщения, Екатеринбург, Россия

Редколлегия

Вовк Алексей Александрович, д-р экон. наук, профессор, МГУПС, Москва

Воскресенская Тамара Петровна, д-р техн. наук, профессор, СибГИУ, Новокузнецк

Воробьев Александр Алексеевич, д-р техн. наук, профессор, МГУПС, Москва

Ефимов Александр Васильевич, канд. техн. наук, профессор, УрГУПС, Екатеринбург

Корнилов Сергей Николаевич, д-р техн. наук, профессор, МГТУ, Магнитогорск

Нестеров Валерий Леонидович, д-р техн. наук, профессор, УрГУПС, Екатеринбург

Сапожников Валерий Владимирович, д-р техн. наук, профессор, С.-ПГУПС, Санкт-Петербург

Черемисин Василий Титович, д-р техн. наук, профессор, ОмГУПС, Омск

Щурин Константин Владимирович, д-р техн. наук, профессор, ОГУ, Оренбург

Тимофеева Галина Адольфовна, д-р физ.-мат. наук, профессор, УрГУПС, Екатеринбург

International editorial board

Keith Burnham, professor, Coventry University, Faculty of Engineering and Computing, Great Britain

Vladimir Antsiferov, DSc, professor, academician of Russian Academy of Sciences, Perm, Russia

Peter Kopachek, professor, Vienna University of Technology, Vienna Institute of Transportation and Robotics, Intelligent Transportation and Robotics, Vienna, Austria

Vladimir Tsyganov, DSc, professor, Russian Academy of Sciences, Institute of Control Sciences, Moscow, Russia

Marek Sitarz, professor, Silesian University of Technology, Faculty of Transport, Railway Engineering Department, Poland

Klaus Becker, professor, Cologne University of Applied Sciences, Institute of Automotive Engineering, NVH Laboratory, Germany

Vasily Say, DSc, professor, The Ural State University of Railway Transport, Ekaterinburg, Russia

Editorial board

Vovk Alexei Aleksandrovich, DSc, professor, Moscow State University of Railway Transport, Moscow

Voskresenskaya Tamara Petrovna, DSc, professor, Siberian State Industrial University, Novokuznetsk

Vorobjev Alexander Alexeevich, DSc, professor, Moscow State University of Railway Transport, Moscow

Efimov Alexander Vasilievich, DSc, professor, The Ural State University of Railway Transport, Ekaterinburg

Kornilov Sergey Nikolaevich, DSc, professor, Magnitogorsk State Technical University, Magnitogorsk

Nesterov Valery Leonidovich, DSc, professor, The Ural State University of Railway Transport, Ekaterinburg

Sapozhnikov Valery Vladimirovich, DSc, professor, Saint-Petersburg State University of Railway Transport, Saint-Petersburg

Cheremisin Vasily Titovich, DSc, professor, Omsk State University of Railway Transport, Omsk

Shchurin Konstantin Vladimirovich, DSc, professor, Orenburg State University, Orenburg

Timofeeva Galina Adolfovna, DSc, professor, The Ural State University of Railway Transport, Ekaterinburg

Содержание

Математические модели технологических процессов

- 4 Г. А. Тимофеева, Н. А. Тимофеев. Математическая модель управления кредитным портфелем
- 12 Б. М. Гасанов, Н. В. Буланов. Влияние размера капельки дисперсной фазы эмульсии на теплообмен при пузырьковом кипении эмульсии. Кризис кипения
- 19 А. А. Русинов, Е. А. Русинова. Моделирование условий благоприятных для образования упорядоченных динамических спиральных доменов в плёнках ферритов-гранатов
- 28 Н. И. Бойко, К. С. Фисенко. Расчет температуры металлопокрытия в зоне механической обработки при широкослойной наплавке деталей вращения

Механика машин и роботов

- 35 Р. Я. Сулейманов. Очистка тоннелей метрополитена от пыли
- 40 В. Ф. Лапшин, К. О. Долгих. Обоснование профиля обшивки подвижного состава

Управление в технических системах

- 47 Г. Л. Аккерман, С. Г. Аккерман. Энергетика криволинейных участков железнодорожного пути

Организация и логистика

- 53 Д. И. Кочнева, Е. А. Гаганова. Моделирование потоковых процессов на контейнерном терминале

Философские параллели

- 61 В. О. Коротков. Предназначение человека в философско-религиозной системе ордена иезуитов
- 69 В. С. Блохин. Деятельность армянской церкви в России в 1717–1828 гг.

- 81 В редакцию пришло письмо

Contents

Mathematic models of technological processes

- 4 G. A. Timofeeva, N. A. Timofeev. Mathematical model of loan portfolio management
- 12 B. M. Gasanov, N. V. Bulanov. Impact of the size of dispersed phase emulsion droplets on heat exchange during nucleate boiling of emulsion. Boiling crisis
- 19 A. A. Rusinov, E. A. Rusinova. Modeling conditions favorable for the formation of ordered dynamic spiral domains in iron garnet films
- 28 N. I. Boyko, K. S. Fisenko. Calculation of metal coating temperature in machining zone during wide-layer surfacing of rotary parts

Mechanics of machines and robots

- 35 R. Ya. Suleymanov. Cleaning metro tunnels from dust
- 40 V. F. Lapshin, K. O. Dolgikh. Rationale for rolling stock lining profile

Control in engineering systems

- 47 G. L. Akkerman, S. G. Akkerman. Energy of railway curved sections

Organization and logistics

- 53 D. I. Kochneva, E. A. Gaganova. Simulation of flow processes at container terminal

Philosophical parallels

- 61 O. V. Korkunova, V. O. Korotkov. Human predestination in philosophical-religious system of the society of Jesus
- 69 V. S. Blokhin. Activities of armenian church in Russia in 1717–1828

- 81 The letter recived the editorial board

Математические модели технологических процессов

УДК 519.217

Г. А. Тимофеева, Н. А. Тимофеев

Математическая модель управления кредитным портфелем

UDC 519.217

G. A. Timofeeva, N. A. Timofeev

Mathematical model of loan portfolio management

Аннотация

Статья посвящена анализу управляющих воздействий со стороны менеджмента банка на риск и доходность кредитного портфеля.

Прогнозирование риска и доходности портфеля основано на математической модели динамики структуры кредитного портфеля как марковской цепи с дискретным временем. Под структурой кредитного портфеля понимается соотношение групп кредитов различного качества.

В статье проведена математическая формализация управляющих воздействий, основными из которых являются: организация процедуры одобрения кредитной заявки, взыскание на ранних и длительных сроках задержки платежей. Исследовано, каким образом управляющие воздействия влияют на миграционные коэффициенты и затем на изменение структуры портфеля и финансовые показатели. Показано, что использование математической модели портфеля в форме марковской цепи позволяет прогнозировать риск и финансовые показатели и быстрее реагировать на изменение внешних условий.

Ключевые слова: управление риском; кредитный портфель; марковская модель; доходность; риск кредитования.

Summary

The article analyzes control actions on the part of bank management, influencing on the risk and profitability of the loan portfolio.

Forecasting portfolio risk and portfolio return is based on a mathematical model of loan portfolio structure dynamics as a Markov chain with discrete time. The loan portfolio structure is understood as a ratio of loan groups of various quality in the portfolio.

The article outlines mathematical formalization of control inputs, the main of which are: organization of loan application approval procedure, debt recovery at early and long payment delays. Authors study how the control actions affect migration coefficients, and, subsequently, change the portfolio structure and financial performance. It is shown that the use of a mathematical portfolio model in the form of a Markov chain allows predicting the risk and financial performance and responding faster to changes in external conditions.

Keywords: risk management; loan portfolio; Markov model; yield; lending risk.

Галина Адольфовна Тимофеева, д-р физ.-мат. наук, профессор; заведующая кафедрой «Высшая и прикладная математика» Уральского государственного университета путей сообщения; Екатеринбург, Россия. E-mail: Gtimofeeva@math.usurt.ru.

Николай Андреевич Тимофеев, ассистент; кафедра «Высшая и прикладная математика» Уральского государственного университета путей сообщения; Екатеринбург, Россия. E-mail: Ntimofeev@inbox.ru.

Galina Adolfova Timofeeva, DSc in Physics & Mathematics, Professor; Head of the Department «Higher and Applied Mathematics», Ural State University of Railway Transport, Ekaterinburg, Russia. E-mail: Gtimofeeva@math.usurt.ru.

Nikolay Andreevich Timofeev, assistant; Department «Higher and Applied Mathematics», Ural State University of Railway Transport, Ekaterinburg, Russia. E-mail: Ntimofeev@inbox.ru.

Кредитование является важным элементом экономического развития страны и одним из основных источников дохода для кредитных организаций. Получение этого дохода связано с кредитным риском, то есть риском частичного либо полного невозврата заемных средств.

Для формирования правильной стратегии в области кредитования банкам необходимо прогнозировать структуру кредитных портфелей, оценивать их риск и уровень необходимых резервов на возможные потери. Прогнозирование динамики структуры кредитного портфеля, оценке риска и уровня необходимых резервов посвящены работы [3, 5, 6, 7]. При управлении кредитным портфелем требуется соблюдать баланс между риском и доходностью портфеля; проблемы прогнозирования доходности портфеля исследованы в работах [4, 8].

В последние годы для прогнозирования динамики кредитного портфеля стала использоваться математическая модель в форме дискретной марковской цепи [4, 5, 9]. При таком подходе кредиты объединяются в группы в зависимости от наличия и сроков задолженности. Качество портфеля характеризуется во многом его структурой, то есть соотношением групп кредитов различного качества.

Риск кредитования и устойчивость банковской системы

В настоящее время кредитование, в том числе кредитование физических лиц составляет все возрастающую долю рынка банковских услуг. На начало 2013 г. объем кредитов физическим лицам в Российской Федерации составлял 7400 млрд руб., а в августе 2013 г. — уже 8600 млрд руб. Анализ данных Банка России о средневзвешенных ставках по кредитам в банках РФ показывает, что ставки кредитования физических лиц росли в течение 2012 г. и оставались на высоком уровне — от 18 до 21 % — в 2013 г. на фоне ухудшения качества кредитных портфелей [12]. Динамика кредитования населения говорит, что российские

банки как компенсацию за риск кредитования используют процентную ставку по кредиту, которая растет вместе с уровнем просроченной задолженности и объемами кредитования. Как отмечает в своих исследованиях С.Р. Моисеев [2], неоправданный рост объемов кредитования может привести к финансовому кризису в стране.

Недостатки систем управления рисками стали одной из основных причин банкротства банков в период кризиса 2009 г. В России в наибольшей степени от кризиса пострадали кредитные организации со слабо развитой культурой управления рисками. Системные банковские риски и условия возникновения банковских кризисов проанализированы в работах О.С. Мариева, С.Р. Моисеева и др. [1, 2].

Американские ученые Дж. Стиглиц и Э. Уейсс [10], исследуя повышение ставок кредитования при увеличении вероятности невозврата кредитов, пришли к выводу, что такой путь не увеличивает прибыль банка, так как из-за повышения ставок по кредитам теряется часть добросовестных заемщиков, которые не могут платить такие высокие проценты, и дальнейшему ухудшению качества портфеля. Банки в случае ухудшения качества портфелей должны прибегать к «рационарированию» кредитов, то есть к управлению качеством портфеля за счет их ограничению объемов кредитования и совершенствованию системы отбора заемщиков.

График зависимости ожидаемой прибыли банков от процентной ставки по кредитам приведен на рис. 1 [10].

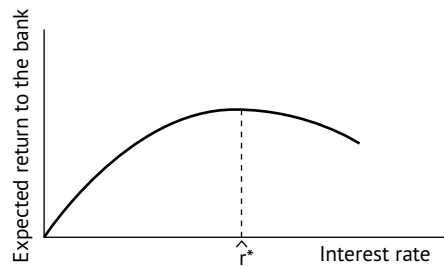


Рис. 1. Зависимость прибыли банков от процентной ставки по кредитам

На графике (рис. 1) показано, что после достижения оптимального уровня (точка с абсциссой r^*) прибыль банков убывает при дальнейшем увеличении ставки по кредитам.

Российскими учеными исследовалась взаимосвязь между процентной ставкой по кредитам и риском. Статистический анализ данных российского рынка кредитования показывает, что взаимосвязь между увеличением доли невозвращенных кредитов и повышением ставки кредитования описывается степенной функцией [2]

$$r = a \cdot p^b,$$

где r ставка по кредиту; p — доля недобросовестных заемщиков; a и b постоянные.

Перепишем это уравнение в виде $p = F(r)$. На основании данных статьи [2] получим уравнение

$$p = 3,3477r^{2,571}. \quad (1)$$

Изучим зависимость прибыли банка от кредитной ставки r с учетом соотношения (1). Обозначим через C_0 сумму выданных кредитов. Сумма возвращенного долга и процентов с суммы C_0 с учетом того, что не все заемщики вернут кредиты, составит

$$S = C_0[1 - p(r) + r(1 - p(r))],$$

где $p(r)$ — вероятность невозврата кредита. С учетом выданной суммы C_0 получаем доход

$$D = S - C_0 = C_0[-p(r) + r(1 - p(r))].$$

Доходность кредитования составит (без учета дисконтирования и инфляции)

$$D = D/C_0 = r - p(r) - r \cdot p(r).$$

Построим график доходности в зависимости от процентной ставки с учетом зависимости (1).

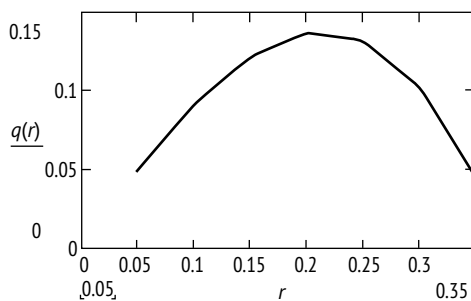


Рис. 2. Зависимость прибыли российских банков от процентной ставки по кредитам (по данным за 2010 г.)

График зависимости может быть уточнен с уточнением данных о коэффициентах модели, однако закономерность сохраняется.

Таким образом, три показателя — ставка по кредитам, прибыль банка и риск портфеля — являются взаимосвязанными, и повышение ставки кредитования ведет к увеличению прибыли банка только до определенного уровня. С другой стороны, повышение уровня надежности клиентов и уменьшение риска портфеля можно получить за счет улучшения стратегии банка в области отбора клиентов.

Марковская модель кредитного портфеля

Кредитный портфель — совокупная задолженность перед банком. Кредитный портфель рассматривается как совокупность однородных групп выделенных в зависимости от длительности просроченной задолженности. Под *структурой портфеля* понимается процентное соотношение групп в портфеле.

Исследование динамики структуры портфеля основано на описании изменения состояния отдельно взятого, «случайного», кредита как марковской цепи с конечным числом состояний [9]. Состояние кредита описывается принадлежностью той или иной группе кредитов в зависимости от наличия и сроков задолженности по выплатам. Марковская модель позволяет на основе оценки матрицы переходных вероятностей сделать прогноз структуры портфеля.

Деление кредитов на группы по срокам просроченной задолженности выбирается аналитиками по-разному [5]. Для анализа динамики портфеля и учета интенсивности погашений, в том числе досрочных, вводится дополнительная группа кредитов, в которую попадают полностью погашенные кредиты. В этом случае получаем следующие группы кредитов: без просрочки и с просрочкой менее 30 дн.; с просрочкой от 31 до 60 дн.; с просрочкой от 61 до 90 дн.; с просрочкой от 91 до 180 дн.; проблемная задолженность; ссуда погашена (ссуда, являющаяся полностью погашенной на расчетную дату).

Обозначим вектор вероятностей состояний через $x(t) = \{x_1(t), x_2(t), \dots, x_k(t)\}^T$.

Вектор $x(t)$ описывает структуру портфеля, так как его каждая координата равна доле портфеля, которую составляет соответствующая группа кредитов.

Если известны переходные вероятности, то можно спрогнозировать изменение долей портфеля на основе марковской модели. Обозначим переходные вероятности через p_{ij} , а матрицу переходных вероятностей — через P . Будем предполагать, что эти вероятности постоянны на некотором достаточно продолжительном интервале времени. Распределение кредитов по группам (структура портфеля) при $t = 1, 2, \dots, N$ месяцев рассчитывается в соответствии с теорией марковских цепей:

$$x(t+1) = P^T x(t), \quad (2)$$

где P^T — транспонированная матрица переходных вероятностей. В другой форме:

$$x(t) = (P^T)^t x(0), \quad t = 1, 2, \dots, N. \quad (3)$$

Рассмотрим динамику долей кредитного портфеля, состоящего из ссуд, выданных в течение одного периода. Так как новые кредиты не являются просроченными, то есть всегда относятся к первой группе, то при $t = 0$ имеем: $x(0) = \{1, 0, \dots, 0\}^T$. Далее в соответствии с переходными вероятностями находим

распределение вероятностей и структуру портфеля при $t = 1, 2, \dots, 36$ мес. по формуле (2), где P — матрица переходных вероятностей размера 6×6 . Для схемы с учетом погашения матрица переходных вероятностей имеет вид

$$P = \begin{pmatrix} p_{11} & p_{12} & \dots & 0 & p_{16} \\ p_{21} & p_{22} & \dots & 0 & p_{26} \\ \dots & \dots & \dots & \dots & \dots \\ p_{51} & p_{52} & \dots & p_{55} & p_{56} \\ 0 & 0 & \dots & 0 & 1 \end{pmatrix}.$$

В результате получаем графики зависимости вероятностей состояний (долей кредитов различного качества в портфеле) от времени. Состояние S_6 — «кредит погашен» — является поглощающим, следовательно, его финальная вероятность равна 1, а финальные вероятности остальных состояний равны 0:

$$\lim_{t \rightarrow \infty} x_6(t) = 1,$$

$$\lim_{t \rightarrow \infty} x_j(t) = 0, \quad j = 1, \dots, 5.$$

На графике (рис. 3) показано изменение структуры портфеля для схемы с погашением. Сплошной линией отмечено изменение доли проблемных кредитов. За рассмотренный период (36 мес.) доля проблемных кредитов не приблизилась к нулю.

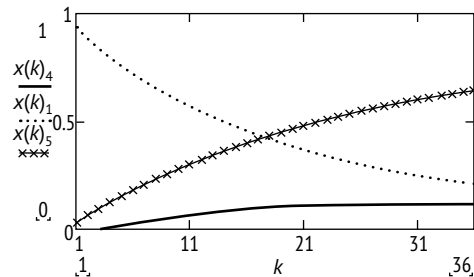


Рис. 3. Динамика долей портфеля для схемы с погашением

Для анализа риска портфеля была рассчитана динамика проблемных кредитов $x_5(t)$ на 5 лет (60 мес.). С увеличением периода наблюдений доля

проблемных кредитов (в портфеле одновременно выданных ссуд) постепенно убывает за счет постепенного погашения. Однако, во-первых, это убывание происходит медленно, а, во-вторых, качество кредитного портфеля, состоящего из одновременно выданных ссуд, постепенно ухудшается из-за опережающего погашения кредитов добросовестными заемщиками.

Управление качеством кредитного портфеля

На основании результатов моделирования было проанализировано влияние коэффициентов матрицы переходных вероятностей P на конечный финансовый результат (рис. 4).



Рис. 4. Влияние коэффициентов матрицы на финансовый результат

С другой стороны, на коэффициенты матрицы переходных вероятностей P оказывают влияние как внешние рыночные факторы (уровень инфляции и безработицы, кризисные явления в экономике и т.п.), так и управляющие действия банка по организации работы с кредитным риском.

Основные управляющие воздействия на кредитный риск

1. Организация процедуры одобрения кредитной заявки (u_1).

Процедура одобрения заявки называется *андеррайтинг*. Качество организации этого процесса отражается на коэффициентах перехода из первой группы во вторую и далее. На переходы в группу «погашенная задолженность» этот процесс не влияет. Запишем эту зависимость:

$$p_{12} = p_{12}(u_1), p_{23} = p_{23}(u_1). \quad (4)$$

Будем условно обозначать улучшение качества отбора кредитных заявок как увеличение управляющего воздействия u_1 . Тогда перечисленные в (4) переходные вероятности уменьшаются при увеличении управляющего воздействия u_1 .

Через уравнение (2) коэффициенты матрицы P влияют прежде всего на объемы короткой по длительности просроченной задолженности на ранних сроках обслуживания обязательств, то есть увеличение u_1 приводит к уменьшению долей портфеля x_2, x_3 . Наоборот, увеличение объема таких обязательств в портфеле говорит об одобрении заявок неблагонадежных заемщиков и требует оптимизации процедуры андеррайтинга, то есть увеличения управляющего воздействия u_1 .

2. Взыскание на ранних сроках (u_2).

Для отслеживания эффективности процесса взыскания можно использовать показатели миграции ссуд между группами при длительности просроченных платежей от 30 дн. При таких сроках просроченной задолженности на практике применяются методы досудебного взыскания. Усиление таких мер и улучшение качества работы с клиентами обозначим увеличением управляющего воздействия u_2 . Запишем зависимость коэффициентов переходов от второго управляющего воздействия

$$p_{21} = p_{21}(u_2), p_{32} = p_{32}(u_2), \\ p_{43} = p_{43}(u_2). \quad (5)$$

Переходные вероятности p_{32} и p_{43} увеличиваются при увеличении управляющего воздействия u_2 .

3. Взыскание на длительных сроках (u_3).

На более длительных сроках просроченной задолженности на показатели матрицы переходных вероятностей влияют судебные иски и реализация залогового обеспечения. Как правило, такие воздействия осуществляются при попадании кредита в группу «проблемных» кредитов. Другими словами, управление процессом u_3 влияет на вероятность перехода из группы проблемных кредитов в группу погашенных и группу без задолженности

$$p_{56} = p_{56}(u_3), p_{51} = p_{51}(u_3). \quad (6)$$

В динамике улучшение процедуры взыскания на длительных сроках (увеличение управления u_3) приводит к уменьшению доли проблемных кредитов x_5 .

Схематично влияние управляющих воздействий на коэффициенты матрицы P отражены на схеме (рис. 5).

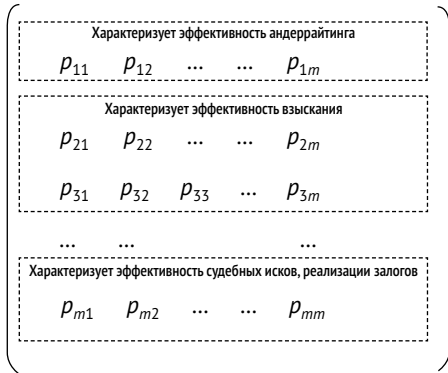


Рис. 5. Влияние управляющих действий на коэффициенты миграционной матрицы

Наблюдение за структурой кредитного портфеля и управление

Влияние управлений u_i происходит по схеме

$$U \rightarrow P(U) \rightarrow x(t, P).$$

Изменение управляющих воздействий $U = \{u_1, u_2, u_3\}$ изменяет интенсивность переходов из соответствующей

группы. Это изменение отражается на статистике переходов уже в следующем месяце. Так, при существенном и корректном ужесточении правил выдачи кредитов в следующем месяце уменьшается количество переходов из первой группы в группу с просрочкой до 30 дн. При этом обычно изменяется и интенсивность обновления портфеля.

Далее изменение коэффициентов переходной матрицы через уравнение динамики (2) приводит к постепенному изменению структуры портфеля. При этом основной показатель риска — доля проблемных кредитов изменяется только через значительный интервал времени (до полугода).

Мониторинг качества кредитного портфеля может осуществляться по двум схемам:

- 1) анализ изменения структуры портфеля — вектора $x = \{x_1, \dots, x_k\}$.
- 2) анализ изменения переходных вероятностей $\{p_{ij}\}$ и прогнозирование структуры портфеля.

Первую схему применяют в случае, когда банк не отслеживает детальную информацию о коэффициентах миграции (переходных вероятностях). Второй подход основан на статистическом анализе количества переходов кредитов из одной группы в другую и анализе динамики структуры кредитного портфеля на основе марковской модели динамики структуры кредитного портфеля (2). Практика показывает, что второй подход дает возможность быстрее и точнее реагировать на изменение внешней среды и принимать обоснованные решения об оптимизации управляющих процессов по привлечению заемщиков и обслуживанию кредитного портфеля.

Итак, нами исследована связь между повышением ставок по кредитам, изменением риска и доходности кредитования на основе статистики российского банковского сектора. Показано, что увеличение ставок по кредитам не приводит в общем случае к повышению доходности кредитования, и финансовым учреждениям следует развивать иные

методы снижения риска и повышения доходности кредитования.

Рассмотрена проблема управления кредитным портфелем на основе описания динамики его структуры как марковской цепи с дискретным временем, проведена математическая формализация процессов управления. Показано, что расчет и анализ миграционных коэффициентов и использование математической модели портфеля в фор-

ме марковской цепи позволяют прогнозировать финансовые показатели и быстрее реагировать на изменение внешних условий, чем непосредственное использование анализа структуры портфеля. Полученная математическая модель в форме управляемой марковской цепи может быть в дальнейшем уточнена в ходе теоретических исследований и практического применения. ■

Литература

1. Мариев О. С. Теоретико-методологические основы построения типологизации современных моделей банковских кризисов // Вестник УрФУ (Сер. : «Экономика и управление»). 2012. № 2. С. 136–147. ISSN 2071–5692.
2. Моисеев С. Р. Рационирование кредита, или кредитный паек для российской экономики // Банковское обозрение. 2009. № 4. С. 18–23. ISSN 1991–3087.
3. Насельский С. П., Якименко Д. В. Расчет размера резервов розничного кредитного портфеля коммерческого банка // Вестник Санкт-Петербургского университета Государственной противопожарной службы МЧС России. 2009. Т. 2. С. 139–143. ISSN 1812–6065.
4. Никонов О. И., Тимофеев Н. А. Потоки платежей кредитного портфеля в условиях неполной статистической информации // Вестник УрФУ (Сер. : «Экономика и управление»). 2013. № 2. С. 106–111. ISSN 2071–5692.
5. Тимофеев Н. А. Математическая модель винтажного анализа кредитного портфеля банка // Вестник УрГУПС. 2011. Т. 9. № 1. С. 86–92. ISSN. 2079–0392.
6. Тимофеева Г. А., Тимофеев Н. А. Прогнозирование составляющих кредитного портфеля на основе модели марковской цепи // Автоматика и телемеханика. 2012. № 4. С. 47–65. ISSN 0005–2310.
7. Тимофеев Н. А. Анализ обесценивания кредитного портфеля и формирование резервов // Управленец. 2012. № 9. С. 59–61. ISSN 2218–5003.
8. Чижова А. С., Мищенко А. В. Методология управления кредитным риском и оптимальное формирование кредитного портфеля // Финансовый менеджмент. 2008. № 1. С. 91–105. ISSN 1607–968X.
9. Schuermann T. Credit Migration Matrices // In: Encyclopedia of Quantitative Risk Assessment. John Wiley & Sons, 2008. ISBN : 978–0–470–03549–8.
10. Stiglitz J. E., Weiss A. Credit Rationing in Markets With Imperfect Information // American Economic Review. 1981. Vol. 71. № 3. P. 393–410. ISSN 0002–8282.
11. Timofeeva G., Timofeev N. Estimation of Loan Portfolio Risk on the Basis of Markov Chain Model // IFIP Advances in Information and Communication Technology, Vol. 391 : System Modeling and Optimization, IFIP TC7 Conference : CSMO 2011. Eds. : D. Hömberg, F. Tröltzsch. Springer, 2013. P. 207–216. ISSN 1868–4238.
12. Официальный сайт ЦБ РФ. Статистика. URL: <http://www.cbr.ru/statistics/> (дата обращения: 01.02.2014).

References

1. Mariev O. S. Teoretiko-metodologicheskie osnovy postroeniya tipologizatsii sovremennykh modeley bankovskikh krizisov [Theoretical and methodological basis for designing a typology of modern banking crisis models] // Vestnik UrFU (Series : «Ekonomika i upravlenie»). 2012. № 2. P. 136–147. ISSN 2071–5692.
2. Moiseev S. R. Ratsionirovanie kredita, ili kreditny paek dlya rossiyskoy ekonomiki [Credit rationing or credit diet for the Russian economy] // Bankovskoe obozrenie. 2009. № 4. P. 18–23. ISSN 1991–3087.
3. Naselskiy S. P., Yakimenko D. V. Raschet razmera rezervov roznichnogo kreditnogo portfelya kommercheskogo banka [Calculation of the amount of retail loan portfolio reserves of a commercial bank] // Vestnik Sankt-Peterburgskogo universiteta Gosudarstvennoy protivopozharnoy sluzhby MChS Rossii. 2009. T. 2. P. 139–143. ISSN 1812–6065.

4. Nikonov O.I., Timofeev N.A. Potoki platezhey kreditnogo portfelya v usloviyakh nepolnoy statisticheskoy informatsii [Payment flows of a loan portfolio under incomplete statistical information] // Vestnik UrFU (Series : «Ekonomika i upravlenie»). 2013. № 2. P. 106–111. ISSN 2071–5692.
5. Timofeev N.A. Matematicheskaya model vintazhnogo analiza kreditnogo portfelya banka [Mathematical model of a vintage analysis of the loan portfolio of the bank] // Herald of USURT. 2011. T. 9. № 1. P. 86–92. ISSN. 2079–0392.
6. Timofeeva G.A., Timofeev N.A. Prognozirovanie sostavlyayuschikh kreditnogo portfelya na osnove modeli markovskoy tsepi [Prediction of loan portfolio components based on Markov chain model] // Avtomatika i telemekhanika. 2012. № 4. P. 47–65. ISSN 0005–2310.
7. Timofeev N.A. Analiz obestsenivaniya kreditnogo portfelya i formirovanie rezervov [Analysis of depreciation of loan portfolio and building reserves] // Upravlenets. 2012. № 9. P. 59–61. ISSN 2218–5003.
8. Chizhova A.S., Mischenko A.V. Metodologiya upravleniya kreditnym riskom i optimalnoe formirovanie kreditnogo portfelya [Credit risk management methodology and optimal loan portfolio formation] // Finansovy menedzhment. 2008. № 1. P. 91–105. ISSN 1607–968X.
9. Schuermann T. Credit Migration Matrices // In: Encyclopedia of Quantitative Risk Assessment. John Wiley & Sons, 2008. ISBN 978–0–470–03549–8
10. Stiglitz J. E., Weiss A. Credit Rationing in Markets With Imperfect Information // American Economic Review. 1981. Vol. 71. № 3. P. 393–410. ISSN 0002–8282.
11. Timofeeva G., Timofeev N. Estimation of Loan Portfolio Risk on the Basis of Markov Chain Model // IFIP Advances in Information and Communication Technology, Vol. 391 : System Modeling and Optimization, IFIP TC7 Conference : CSMO 2011. Eds. : D. Hömberg, F. Tröltzsch. Springer, 2013. P. 207–216. ISSN 1868–4238.
12. Official website of the CBR. Statistics. URL: <http://www.cbr.ru/statistics/> (date accessed: 01.02.2014).

Статья сдана в редакцию 12 апреля 2014 года

УДК 536.24/423

Б. М. Гасанов, Н. В. Буланов

Влияние размера капелек дисперсной фазы эмульсии на теплообмен при пузырьковом кипении эмульсии. Кризис кипения

UDC 536.24/423

B. M. Gasanov, N. V. Bulanov

Impact of the size of dispersed phase emulsion droplets on heat exchange during nucleate boiling of emulsion. Boiling crisis

Аннотация

Работа посвящена проблеме интенсификации теплообмена, которая была и остается одной из наиболее важных проблем техники. Увеличение интенсивности теплообмена позволяет уменьшить габариты и вес оборудования, повысить КПД и решить некоторые другие важные вопросы.

Одним из наиболее интенсивных процессов теплообмена, применяемых в технике, является процесс пузырькового кипения. Его основной недостаток — узкий температурный интервал реализации, что часто приводит к неконтролируемому переходу к малоэффективному режиму пленочного кипения и перегосу и выходу из строя оборудования.

Предлагаемый способ позволяет существенно расширить температурный интервал пузырькового кипения и в ряде случаев избежать возникновения опасного для техники режима пленочного кипения. Для этого используются разбавленные эмульсии такого состава, когда в рабочем интервале температур вскипают только капельки дисперсной фазы эмульсии.

В настоящей работе представлены результаты экспериментального исследования теплоотдачи от тонких платиновых проволок к разбавленным эмульсиям. Исследована зависимость задержки начала кипения от размера капелек дисперсной фазы и влияние размера капелек дисперсной фазы на кризис кипения эмульсии.

Ключевые слова: интенсификация теплообмена; эмульсия; перегрев жидкости; взрывное вскипание; активация центров кипения; кризис кипения.

Summary

The paper addresses the issue of heat transfer intensification, which has been and remains one of the most important engineering problems. Heat transfer rate increase can reduce the size and weight of equipment, improve efficiency and resolve some other important issues.

One of the most intense heat transfer processes applied in engineering is the nucleate boiling process. Its main drawback lies in its narrow temperature range, which often leads to uncontrolled transition to ineffective film boiling regime, equipment burnout and breakdown.

The proposed method can significantly extend the temperature range of nucleate boiling, and in some cases avoid the appearance of film boiling regime, dangerous for equipment. For this purpose dilute emulsions are used with a special composition, which allows only the dispersed phase droplets to boil in the operating temperature range.

This paper presents the results of an experimental research of heat transfer from thin platinum wires to diluted emulsions. The dependence between the delay of the initial boiling point and the droplet size is studied, as well as the impact of the dispersed phase droplet on emulsion on the boiling crisis.

Keywords: heat transfer intensification; emulsion; liquid overheating; explosive boiling; boiling centers activation; boiling crisis.

Гасанов Байрамали Мехрали оглы, канд. техн. наук, научный сотрудник; Институт теплофизики УрО РАН. Екатеринбург, Россия. E-mail: gbm@itp.uran.ru.

Буланов Николай Владимирович, д-р физ.-мат. наук, профессор; кафедра «Физика и химия» Уральского государственного университета путей сообщения; Екатеринбург, Россия. E-mail: NBulanov@usurt.ru.

Bayramali Mekhrali ogly Gasanov, PhD in Engineering, researcher; Institute of Thermal Physics, Ural Branch of Russian Academy of Sciences; Ekaterinburg, Russia.

Nikolay Vladimirovich Bulanov, DSc in Physics & Mathematics, Senior Researcher, Professor; Department «Physics and Chemistry», Ural State University of Railway Transport; Ekaterinburg, Russia. E-mail: NBulanov@usurt.ru.

Кипение эмульсий с низкоккипящей дисперсной фазой сопровождается рядом особенностей [4–7] — это высокие перегревы капелек дисперсной фазы (задержка начала кипения), широкие по сравнению с чистыми жидкостями интервалы пузырькового кипения, высокие значения коэффициентов теплоотдачи. На величину задержки начала кипения влияют концентрация эмульсии и диаметр капелек дисперсной фазы. Задержку начала кипения можно регулировать путем введения в эмульсию различных поверхностно-активных веществ и адсорбентов (цеолитов, опок, полимеров и др.). Настоящая работа посвящена исследованию влияния размера капелек дисперсной фазы эмульсии на характер теплообмена при ее кипении. Исследовался теплообмен эмульсии «вода/вакуумное масло ВМ-1С» с поверхностью проволочного нагревателя. Опыты проведены при горизонтальном и вертикальном положениях нагревателя (проволоки) на экспериментальной установке, представленной в работе [5]. Рассмотрено влияние диаметра капелек дисперсной фазы на величину задержки начала кипения и на кризис кипения эмульсии.

Зависимость задержки начала кипения дисперсной фазы от размера ее капелек
Исследовалась крупнодисперсная эмульсия «вода/вакуумное масло ВМ-1С» со средним диаметром капелек дисперсной фазы 20–30 мкм. Крупнодисперсные эмульсии готовились пропеллерной мешалкой, а мелкодисперсные (со средним диаметром капельки дисперсной фазы 1–2 мкм) — в ультразвуковом поле с частотой 22 кГц. На рис. 1 приведены экспериментальные данные по теплообмену крупнодисперсной 2 и мелкодисперсной 3 эмульсии «вода/масло ВМ-1С» с поверхностью горизонтальной платиновой проволоки. При слабо развитом кипении пузырьки пара образуются на готовых центрах кипения на поверхности проволоки, объединяются и всплывают. Заметим, что у крупнодисперсной эмульсии (рис. 1,

точка a_k), когда объем капелек дисперсной фазы больше, чем у мелкодисперсной, наблюдаемая задержка начала кипения меньше по сравнению с мелкодисперсной эмульсией (рис. 1, точка a_m). При интенсивном кипении, когда происходит быстрый рост и отрыв пузырьков пара от нагреваемой поверхности, в эмульсии «вода/масло ВМ-1С» наблюдается взрывное вскипание перегретых капелек дисперсной фазы как на поверхности нагревателя, так и в тепловом пограничном слое (рис. 1, точки b_k , c_k , b_m и c_m). Ударная волна, возникающая при взрыве капельки дисперсной фазы, приводит к тому, что пузырьки пара отрываются от поверхности, не достигнув их критического отрывного диаметра, который наблюдается в режиме стационарного кипения. Энергию взрывного вскипания капельки можно оценить по теории точечного взрыва [8–9]. Чем больше размер капельки дисперсной фазы, тем больше выделяется энергии при ее взрыве вскипании, тем выше наблюдаемые коэффициенты теплоотдачи.

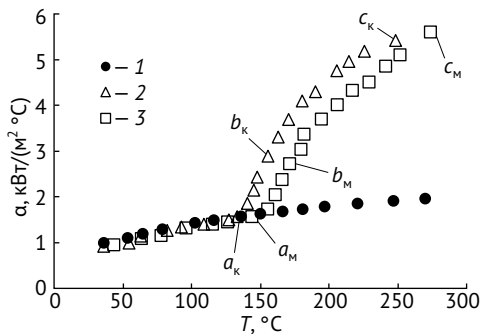


Рис. 1. Зависимость коэффициента теплоотдачи α от температуры нагревателя T при конвективном теплообмене и пузырьковом кипении на горизонтальной платиновой проволоке и температуре теплоносителя $T_0 = 16,0^\circ\text{C}$
1 — масло ВМ-1С; 2 — крупнодисперсная эмульсия вода/масло ВМ-1С;
3 — мелкодисперсная с концентрацией $C = 1,0$ об. %

На рис. 2 представлены экспериментальные данные по теплообмену эмульсии «вода/масло ВМ-1С» с поверхностью

вертикальной платиновой проволоки. При слабо развитом кипении на отрыв вскипевших капелек (рис. 2, точки a_k и a_m), не достигших критических размеров, значительное влияние оказывают конвективные потоки. При этом чем больше размер вскипевшей капельки дисперсной фазы, тем больше объем образовавшегося пузырька пара. При интенсивном кипении (рис. 2, точки b_k , c_k , b_m и c_m) происходит быстрый рост и отрыв пузырьков пара. Основным вклад в интенсивность кипения вносит взрывной характер вскипания перегретых капелек дисперсной фазы.

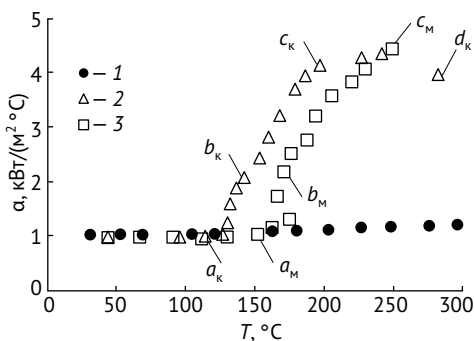


Рис. 2. Зависимость коэффициента теплоотдачи α от температуры нагревателя T при конвективном теплообмене и пузырьковом кипении на вертикальной платиновой проволоке, $T_0 = 16,0^\circ\text{C}$
1 — масло ВМ-1С; 2 — крупнодисперсная эмульсия «вода/масло ВМ-1С»;
3 — мелкодисперсная с концентрацией $C = 1,0$ об, %

Очевидно, что чем больше размер вскипевшей капельки, тем больше энергия взрыва, тем с большей интенсивностью перемешивается тепловой пограничный слой, тем чаще на смену вскипевших капелек приходят новые, вскипание которых вновь интенсифицирует процесс теплоотдачи. Участок кривой $2c_k d_k$ (рис. 2) соответствует переходному режиму кипения, когда на поверхности нагревателя образуются и паровая пленка и пузырьки пара. Такое кипение наблюдается в широком интервале температур. Конвективные потоки и вскипающие в тепловом пограничном слое капельки дисперсной фазы не дают

образоваться сплошной пленки пара. В области температур, когда у крупнодисперсной эмульсии наблюдается переходный режим кипения, у мелкодисперсной эмульсии происходит пузырьковое кипение. Это означает, что на кризис кипения влияет размер капельки дисперсной фазы эмульсии.

Взрывное вскипание капельки дисперсной фазы

Взрывное вскипание капелек перегретой жидкости приводит к импульсам давления большой амплитуды [6]. На больших расстояниях от вскипающей капельки величина импульса давления может быть описана зависимостями, которые следуют из теории точечного взрыва [8]. На средних расстояниях R от места вскипания перегретой капельки (т.е. когда R на один-два порядка больше диаметра капельки) можно воспользоваться теорией подобия и результатами исследования взрывов химических зарядов, например, тротила.

Однако на близких расстояниях от вскипающей капельки рассматриваемые теории будут неприменимы. Это связано с тем, что механизм генерирования ударной волны при вскипании перегретой капельки отличается от механизма формирования ударной волны, возникающей при детонации кусочка упомянутого тротила. Расчеты показывают, что при взрыве кусочков тротила с массой, обеспечивающей ту же выделяемую энергию E , что и у вскипающих капелек

$$E = c_p \rho \frac{\pi D^3}{6} (T - T_s),$$

давление на фронте ударной волны на расстояниях, равных среднему расстоянию между соседними капельками эмульсии, могло бы достигать нескольких сотен атмосфер. Здесь c_p , ρ — теплоемкость и плотность вскипающей капельки жидкости; D — ее диаметр; $(T - T_s)$ — величина перегрева вскипающей капельки. При вскипании же

перегретых капелек это давление существенно ниже, так как максимальное давление вскипающей капельки не может превышать давления насыщенных паров вскипающей жидкости p_s , это давление всегда ниже давления p_c в критической точке жидкости. Но поскольку выделяющиеся энергии как при взрыве кусочка тротила, так и при вскипании жидкости приняты равными, то и импульсы давления в обоих случаях будут также равны, различаться будут только длительности прохождения ударных волн.

Можно предположить, что давление на границе образующейся паровой полости изменяется следующим образом (рис. 3).

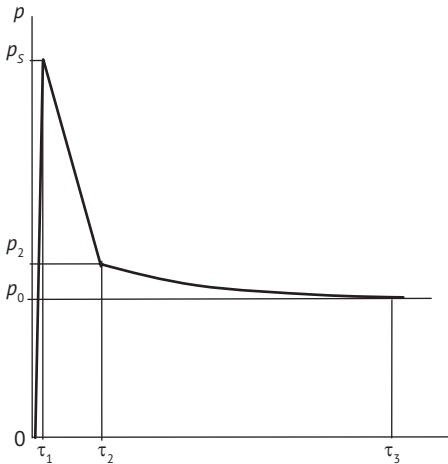


Рис. 3. Зависимость давления на фронте ударной волны, возникающего при вскипании капельки перегретой жидкости в эмульсии

В момент вскипания капельки давление в образующейся полости скачком повышается до давления насыщенных паров при температуре капельки $p_s(T)$, а объем образующейся полости мало отличается от первоначального объема капельки (интервал времени от 0 до τ_1). Заметим, что скорость испарения рассматриваемой вскипающей капельки ограничивается только инерционными силами, препятствующими образованию паровой полости в эмульсии. Объем

образующегося пузыря растет (интервал времени — от τ_1 до τ_2), а давление падает, при этом жидкость в остающейся части капельки и образующийся пар находятся в равновесном состоянии $T'' = T''(p_s)$. Связь между давлением p и диаметром $D_{\text{пар}}$ образующегося пузыря пара можно определить из соотношения

$$c_p \rho \frac{\pi D^3}{6} (T - T'') = \frac{\pi D_{\text{пар}}^3}{6} \rho'' r, \quad (1)$$

где T — температура эмульсии (и капельки) в момент ее вскипания; r — теплота испарения жидкости при давлении в образовавшемся пузыре в рассматриваемый момент времени; $T'' = T''(p)$ — равновесная температура пара в пузыре в тот же момент времени. Процесс быстрого испарения происходит до тех пор, пока не израсходуется вся запасенная в капельке тепловая энергия

$$E = c_p \rho \frac{\pi D^3}{6} (T - T_s).$$

Далее происходит относительно медленный рост парового пузыря за счет испарения оставшейся жидкости в капельке, скорость роста ограничивается подводом тепла от окружающей эмульсии.

Диаметр D_2 образующегося парового пузыря к моменту τ_2 , когда температура T'' становится примерно равной температуре кипения $T'' = T_s$ дисперсной фазы при давлении опыта (атмосферном), определяется из соотношения (1) при $T_s = T'' = 100^\circ \text{C}$. Для точки a_k (рис. 2) имеем

$$D_2^a = D \sqrt[3]{\frac{c_p \rho (T - T_{\text{кип}})}{r \rho''}} = 0,10 \cdot 10^{-3} \text{ м},$$

а для точки c_k (рис. 2) —

$$D_2^c = 0,16 \cdot 10^{-3} \text{ м}.$$

Энергия E , отнесенная к площади поверхности S образующегося пузыря, будет определяться соотношением

$$\varepsilon = E / S = \frac{c_p \rho \frac{\pi D^3}{6} (T - T_{\text{кип}})}{\pi D_2^2} =$$

$$= D \sqrt[3]{\frac{c_p \rho (T - T_{\text{кип}})}{(r p'')^2}}.$$

На каждую ближайшую капельку дисперсной фазы будет действовать сила F_D , пропорциональная площади ее поперечного сечения $S_D = \pi D^2/4$, т.е.

$$F_D = \frac{ES_D}{S} = \frac{\pi D^3}{4} \sqrt[3]{\frac{c_p \rho (T - T_{\text{кип}})}{(r p'')^2}}.$$

Из последнего соотношения следует, что чем больше диаметр вскипевшей капельки, тем с большей вероятностью будут активированы (или созданы) центры кипения в соседних капелках. Следовательно, чем больше размер капельки дисперсной фазы, тем раньше (при меньших перегревах) начнется процесс лавинообразного цепного вскипания капелек и тем больше будет величина коэффициента теплоотдачи, что и наблюдается в настоящей работе.

Определим связь между диаметром капелек D дисперсной фазы эмульсии и расстоянием между ними R . Для простоты будем считать, что эмульсия является монодисперсной, и все капельки расположены внутри кубиков, на которые условно разделим все занимаемое эмульсией пространство. Тогда очевидно, что минимальное расстояние между капелками будет равно ребру куба, а объемы капельки и куба связаны следующим соотношением:

$$\pi \frac{D^3}{6} = R^3 C,$$

отсюда

$$R = D \sqrt[3]{\frac{\pi}{6C}}$$

при $C = 1,0\%$ (C – объемная концентрация эмульсии). Тогда для расстояний R_K и R_M соответственно для

крупнодисперсной и мелкодисперсной эмульсий будем иметь

$$R_K = 3,74D = 93,5 \text{ мкм},$$

$$R_M = 3,74D = 5,6 \text{ мкм}.$$

Объем образующегося пузыря может быть вычислен из соотношения, отвечающего за равенство масс капельки и образующегося пузыря:

$$\pi \frac{D^3}{6} \rho' = \pi \frac{D_{\text{max}}^3}{6} \rho''.$$

Тогда

$$D_{\text{max K}} = D \sqrt[3]{\frac{\rho'}{\rho''}} = 292,5 \cdot 10^{-6} \text{ м},$$

$$D_{\text{max M}} = D \sqrt[3]{\frac{\rho'}{\rho''}} = 17,5 \cdot 10^{-6} \text{ м}.$$

Используя теорию размерностей и подобия, можно определить наиболее характерное время τ_2 [9], за которое капелька превращается в паровой пузырек с диаметром D_2

$$\tau_2 \approx \frac{D_2}{2} \sqrt{\frac{\rho}{p}}.$$

Здесь ρ — плотность эмульсии; p — давление внутри парового пузыря, которое изменяется от p_S (рис. 3) до p_2 , близкого к атмосферному давлению.

В оценочных расчетах можно взять в качестве p его среднелогарифмическое значение

$$p = \frac{(p_S - p_2)}{\ln(p_S / p_2)}.$$

Для точки a_K (рис. 2) имеем

$$p_S = 3,61 \cdot 10^5 \text{ Па},$$

для точки c_K —

$$p_S = 33,48 \cdot 10^5 \text{ Па},$$

поэтому для точек a_K и c_K будем иметь

$$p_{a_k} = \frac{(p_s - p_2)}{\ln(p_s / p_2)} = 2,04 \cdot 10^5 \text{ Н/м}^2;$$

$$p_{c_k} = \frac{(p_s - p_2)}{n(p_s / p_2)} l = 9,72 \cdot 10^5 \text{ Н/м}^2.$$

Для точки a_k время τ_2 составит

$$\tau_2 \approx \frac{D_2}{2} \sqrt{\frac{\rho}{p}} \approx 7,6 \cdot 10^{-6} \text{ с};$$

для точки c_k —

$$\tau_2 \approx \frac{D_2}{2} \sqrt{\frac{\rho}{p}} \approx 3,5 \cdot 10^{-6} \text{ с}.$$

Необходимо заметить, что монотонная зависимость падения давления с течением времени наблюдается только при некотором усреднении действительной зависимости давления от времени. Это связано с тем, что при интенсивном испарении перегретой жидкости возникает неустойчивость Тейлора, которая приводит к раздроблению капельки на более мелкие части и, соответственно, к неодинаковой скорости испарения жидкости с разных участков образовавшихся капелек. Давление в пузырьке снижается до атмосферного, образовавшийся пар охлаждается до температуры насыщенных паров, пузырек, как правило, уходит из теплового пограничного слоя. Экспериментально такой сложный процесс испарения авторами пока еще не был зафиксирован из-за скоротечности процесса, что подтверждается приведенными выше оценками.

Кризис кипения эмульсий

Кризис кипения эмульсий возможен как при образовании пленки пара состоящей только из дисперсной фазы, так и при образовании пленки пара состоящей из дисперсной фазы и дисперсионной среды. Для исследования кризиса кипения эмульсий были поставлены опыты на платиновой проволоке с диаметром 0,10 мм и длиной 25 мм. Опыты проведены на экспериментальной установке, представленной в работе [5].

Через платиновую проволоку пропущен постоянный электрический ток. В эксперименте регистрировали значения напряжения U и тока I . Опыты проводились при температурах, близких к температуре кипения воды. При увеличении тепловой нагрузки на поверхности платиновой проволоки появлялись очаги пленочного кипения, а на вольт-амперной кривой наблюдался скачок (переход).

На рис. 4 представлены данные при исследовании кризиса кипения эмульсии с разными диаметрами капелек дисперсной фазы. Опыты показали, что кризис кипения мелкодисперсной эмульсии происходит при более высоких мощностях нагревателя, чем у крупнодисперсной эмульсии. На кризис кипения эмульсий, помимо концентрации эмульсии, оказывает влияние размер капельки дисперсной фазы.

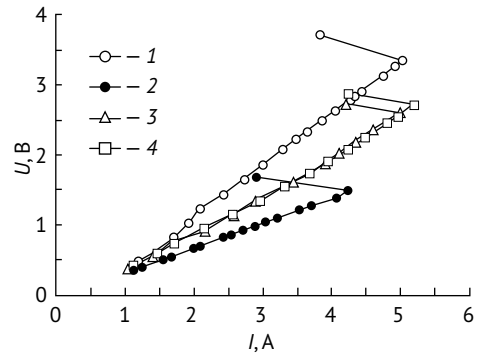


Рис. 4. Вольт-амперная характеристика проволоочного нагревателя

1 — мало ВМ-1С; 2 — вода; 3 — крупнодисперсная эмульсия «вода/масло ВМ-1С»; 4 — мелкодисперсная эмульсия «вода/масло ВМ-1С» с концентрацией $C = 1,0$ об, %

Заключение

Исследован теплообмен при кипении эмульсий с низкокипящей дисперсной фазой на горизонтальной и вертикальной платиновой проволоке. Определены два режима кипения — слаборазвитое и интенсивное. При слаборазвитом кипении капельки дисперсной фазы вскипают на готовых центрах парообразования, находящихся на поверхности

нагревателя. При интенсивном кипении вскипание капелек происходит как на поверхности нагревателя, так и в тепловом пограничном слое.

Рассмотрено влияние диаметра капелек дисперсной фазы на величину задержки начала кипения и на кризис кипения эмульсии. ■

Литература

1. Буланов Н. В., Гасанов Б. М. Интенсификация теплообмена и цепная активация центров кипения при использовании эмульсий с низкокипящей дисперсной фазой // Вестник УрГУПС. 2010. № 2 (7). С. 29–37. ISSN 2079–0392.
2. Способ охлаждения поверхности жидким теплоносителем : а.с. № 653501 СССР.
3. Способ охлаждения поверхности жидким теплоносителем : а.с. № 1124676 СССР.
4. Гасанов Б. М., Буланов Н. В., Байдаков В. Г. Особенности кипения эмульсий с низкокипящей дисперсной фазой и с добавкой ПАВ // ИФЖ. 1997. Т. 70. № 2. С. 184.
5. Буланов Н. В., Гасанов Б. М., Турчанинова Е. А. Результаты экспериментального исследования теплообмена эмульсий с низкокипящей дисперсной фазой // ТВТ. 2006. Т. 44. № 2. С. 268.
6. Буланов Н. В. Взрывное вскипание диспергированных жидкостей. Екатеринбург : Изд-во УрГУПС, 2011. 232 с. ISBN 978–5–94614–147–5.
7. Буланов Н. В., Гасанов Б. М. Зависимость начала цепной активации центров кипения от перегрева капелек дисперсной фазы эмульсии // ТВТ. 2011. Т. 49. № 2. С. 221.
8. Яковлев Ю. С. Гидродинамика взрыва. Л. : Судпромгиз, 1961. 316 с.
9. Седов Л. И. Методы подобия и размерности в механике. М. : Наука, 1981. 448 с.

References

1. Bulanov N. V., Gasanov B. M. Intensifikatsiya teploobmena i tsepnaya aktivatsiya tsentrov kipeniya pri ispolzovanii emulsiy s nizkokipyaschey dispersnoy fazoy [Heat transfer intensification and chain activation of boiling centers using emulsions with low boiling dispersed phase] // Herald of USURT. 2010. № 2 (7). P. 29–37. ISSN 2079–0392.
2. Sposob okhlazhdeniya poverkhnosti zhidkim teplonositelem : a.s. № 653501 [Method of cooling surface with heat transfer fluid] USSR.
3. Sposob okhlazhdeniya poverkhnosti zhidkim teplonositelem : a.s. № 1124676 [Method of cooling surface with heat transfer fluid] USSR.
4. Gasanov B. M., Bulanov N. V., Baydakov V. G. Osobennosti kipeniya emulsiy s nizkokipyaschey dispersnoy fazoy i s dobavkoy PAV [Specifics of emulsion boiling with low-boiling disperse phase and with the addition of surfactants] // IFZh. 1997. T. 70. № 2. P. 184.
5. Bulanov N. V., Gasanov B. M., Turchaninova E. A. Rezultaty eksperimentalnogo issledovaniya teploobmena emulsiy s nizkokipyaschey dispersnoy fazoy [The results of experimental studies of heat transfer of emulsion with low-boiling dispersed phase] // TVT. 2006. T. 44. № 2. P. 268.
6. Bulanov N. V. Vzryvnoe vskipanie dispergirovannykh zhidkostey [Explosive boiling of dispersed liquids] Ekaterinburg : USURT Publishing, 2011. 232 p. ISBN 978–5–94614–147–5.
7. Bulanov N. V., Gasanov B. M. Zavisimost nachala tsepnoy aktivatsii tsentrov kipeniya ot peregreva kapelek dispersnoy fazy emulsii [Dependence of the start of chain of activation of boiling centers on overheating of dispersed phase droplets] // TVT. 2011. T. 49. № 2. P. 221.
8. Yakovlev Yu. S. Gidrodinamika vzryva. [Explosion hydrodynamics] L. : Sudpromgiz, 1961. 316 p.
9. Sedov L. I. Metody podobiya i razmernosti v mekhanike. [Similarity and dimensional methods in mechanics.] M. : Nauka, 1981. 448 p.

Статья сдана в редакцию 4 апреля 2014 года

УДК 537.622.6: (537.611.3+537.624)

А. А. Русинов, Е. А. Русинова

Моделирование условий, благоприятных для образования упорядоченных динамических спиральных доменов в пленках ферритов-гранатов

UDC 537.622.6: (537.611.3 +537.624)

A. A. Rusinov, E. A. Rusinova

Modeling conditions favorable for the formation of ordered dynamic spiral domains in iron garnet films

Аннотация

Изучаются процессы возникновения и формирования упорядоченных доменных структур в низкочастотном переменном магнитном поле. Экспериментально показана возможность формирования спиральных и кольцевых структур из локальных магнитных неоднородностей. Предложены механизмы и модели возникновения спиральных доменов под действием гиротропной силы. В квазистатическом приближении введен и разумно оправдан количественный параметр для характеристики условий, благоприятных для возникновения этих упорядоченных структур.

Исследование процессов самоорганизации в открытых, неравновесных термодинамических системах, состоящих из хаотически движущихся и взаимодействующих элементов, является одной из актуальных проблем современной науки. Особый интерес представляют образующиеся в результате самоорганизации пространственно упорядоченные структуры в неживых объектах.

Все рассмотренные упорядоченные доменные структуры очень чувствительны к малейшим изменениям внешних условий энергетической накачки переменным магнитным полем и могут, следовательно, являться чувствительными датчиками внешних воздействий.

Ключевые слова: магнитное поле; доменная структура; самоорганизация; ферриты-гранаты; доменные стенки; гиротропная сила; анизотропия; линии Блоха; спиральный домен.

Summary

The processes of development and formation of ordered domain structures in low-frequency alternating magnetic field are studied. The possibility of formation of spiral and ring structures of the local magnetic inhomogeneities is experimentally demonstrated. Mechanisms and models for formation of spiral domains under the influence of a gyrotropic force are proposed. In quasistatic approximation a quantitative parameter is introduced and reasonably justified for characterizing the conditions favorable for the occurrence of these ordered structures.

The study of the processes of self-organization in open, nonequilibrium thermodynamic systems consisting of randomly moving and interacting elements is one of the urgent problems of modern science. Spatially ordered structures in inanimate objects formed as a result of self-organization represent a particular interest.

All considered ordered domain structures are very sensitive to slightest changes in external conditions of energy pumping from alternating magnetic field and, therefore, can be sensitive sensors of external influences.

Keywords: magnetic field; domain structure; self-organization; iron garnets; domain walls; gyrotropic force; anisotropy; Bloch lines; helical domain.

Александр Александрович Русинов, канд. физ.-мат. наук, доцент; кафедра «Общая и молекулярная физика» Уральского федерального университета; Екатеринбург, Россия. E-mail: aleksandr.rusinov.65@mail.ru.

Елена Анатольевна Русинова, ассистент; кафедра «Физика и химия» Уральского государственного университета путей сообщения; Екатеринбург, Россия. E-mail: earusinova@mail.ru.

Aleksandr Aleksandrovich Rusinov, PhD in Physics & Mathematics, Associate Professor; Department «General and Molecular Physics «Ural Federal University»; Ekaterinburg, Russia. E-mail: aleksandr.rusinov.65 @ mail.ru.

Elena Anatolevna Rusinova, assistant; Department of «Physics and Chemistry»; Ural State University of Railway Transport, Ekaterinburg, Russia. E-mail: earusinova@mail.ru.

Введение

Одной из актуальных проблем современной науки является исследование процессов самоорганизации в открытых неравновесных термодинамических системах, состоящих из хаотически движущихся и взаимодействующих элементов. Особый интерес представляют образующиеся в результате самоорганизации пространственно упорядоченные структуры в виде концентрических колец или спиралей в так называемых активных (автоволновых) средах. При изучении доменной структуры пленок ферритов-гранатов в пространственно однородных переменных магнитных полях низкой частоты (10^2 – 10^4 Гц) было обнаружено, что в ограниченной области амплитуд и частот поля в пленках могут возникнуть устойчивые динамические доменные структуры в виде спиралей или колец [1–3]. В последнее время возрос интерес к явлению динамической самоорганизации магнитных доменов, к теоретическому и экспериментальному изучению свойств кольцевых и спиральных динамических доменов.

Для модельных описаний полученных экспериментальных данных запишем локальную обменную энергию и плотность энергии анизотропии [4] в полярных координатах θ , φ :

$$W = W_A + W_K = A[(\partial\theta/\partial y)^2 + (\sin\theta(\partial\varphi/\partial y))^2] + K\sin^2\theta. \quad (1)$$

Статическую силу \mathbf{F}_s , которая стремится переместить любое неравновесное распределение намагниченности, можно получить, продифференцировав полную энергию распределения W по координате:

$$\mathbf{F}_s = -(\partial W/\partial \mathbf{R}). \quad (2)$$

Поскольку любые вариации полной энергии δW можно выразить через объемный интеграл от вариации локальной плотности энергии $\delta\omega(\mathbf{r} - \mathbf{R})$, то можно записать соотношение

$$\mathbf{F}_s = \int \mathbf{f}_s dV. \quad (3)$$

Здесь V — объем, а \mathbf{f}_s — плотность статической силы, которую можно записать в другом виде:

$$\mathbf{f}_s = -\delta\omega/\delta \mathbf{R} = \delta\omega/\delta \mathbf{r}, \quad (4)$$

где $\delta\omega/\delta \mathbf{r}$ — плотность локальной статической силы. Принимая во внимание, что $\delta\omega$ зависит от θ , $\nabla\theta$, φ и $\nabla\varphi$, посредством последовательного дифференцирования получаем

$$\mathbf{f}_s = (\delta\omega/\delta\theta)\nabla\theta + (\delta\omega/\delta\varphi)\nabla\varphi. \quad (5)$$

Таким образом, это выражение связывает плотность сил произвольной мгновенной конфигурации с локальными вращающими моментами и градиентами вектора намагниченности \mathbf{J} . Очевидно, что в статически равновесном положении $\delta\omega/\delta\theta$ и $\delta\omega/\delta\varphi$ равны нулю в каждой точке.

В динамических задачах углы θ и φ зависят не только от радиус-вектора \mathbf{r} , но и от времени t . Тем не менее можно сразу же найти численное выражение (5) при любых заданных углах $\theta = \theta(\mathbf{r}, t)$ и $\varphi = \varphi(\mathbf{r}, t)$ и получить непосредственно ту часть полной силы («статической» силы), которую можно отнести к запасенной энергии. В динамике локальные статические вращающие моменты не обращаются в нуль, а вызывают локальное движение, описываемое уравнениями Ландау – Лифшица:

$$\delta\omega/\delta\theta = \gamma^{-1}(J(\partial\varphi/\partial t)\sin\theta - \alpha J(\partial\theta/\partial t)), \quad (6)$$

$$\delta\omega/\delta\varphi = -\gamma^{-1}(J(\partial\theta/\partial t)\sin\theta + \alpha J(\partial\varphi/\partial t)\sin^2\theta). \quad (7)$$

Решая эти уравнения при заданных мгновенных значениях $\delta\omega/\delta\theta$, $\delta\omega/\delta\varphi$ и θ , можно найти мгновенные значения скоростей $\partial\theta/\partial t$ и $\partial\varphi/\partial t$, характеризующих прецессию спинов. Подставляя уравнения (6) и (7) в выражение (5), получаем уравнение баланса плотности «динамических» и «статических» сил

$$\mathbf{f}_s + \mathbf{f}_d = 0, \quad (8)$$

где плотность динамической силы имеет вид

$$\mathbf{f}_d = (J/\gamma)[(-\partial\varphi/\partial t)\sin\theta + \alpha(\partial\theta/\partial t)\nabla\theta + + ((\partial\theta/\partial t)\sin\theta + \alpha(\partial\varphi/\partial t)\sin^2\theta)\nabla\varphi].$$

Рассмотрим теперь частный случай стационарного движения со скоростью \mathbf{v} , характеризуемый соотношениями

$$\theta = \theta(\mathbf{r} - \mathbf{v}t), \quad \varphi = \varphi(\mathbf{r} - \mathbf{v}t). \quad (9)$$

Такие функциональные зависимости описывают перемещение распределения намагниченности \mathbf{J} как «жесткого волнового пакета». В этом случае можно написать уравнения

$$\partial\theta/\partial t = -\mathbf{v}\nabla\theta, \quad \partial\varphi/\partial t = -\mathbf{v}\nabla\varphi. \quad (10)$$

Подставляя уравнения (10) в выражение для \mathbf{f}_d и используя затем векторное тождество $\mathbf{a} \times (\mathbf{b} \times \mathbf{c}) = \mathbf{b}(\mathbf{a} \cdot \mathbf{c}) - \mathbf{c}(\mathbf{a} \cdot \mathbf{b})$, получаем

$$\mathbf{f}_d = (J/\gamma)(\mathbf{g} \times \mathbf{v} + \mathbf{d} \times \mathbf{v}), \quad (11)$$

где \mathbf{g} — плотность гиротропного вектора:

$$\mathbf{g} = -\sin\theta(\nabla\theta) \times (\nabla\varphi), \quad (12)$$

а \mathbf{d} — диссипативная линейная вектор-функция:

$$\mathbf{d} = -\alpha[(\nabla\theta)(\nabla\theta) + \sin^2\theta(\nabla\varphi)(\nabla\varphi)]. \quad (13)$$

Результирующую динамическую силу, действующую на движущееся распределение намагниченности \mathbf{J} , можно записать в виде

$$\mathbf{F}_d = \int \mathbf{f}_d dV = (J/\gamma)(\mathbf{G} \times \mathbf{v} - \mathbf{D} \times \mathbf{v}), \quad (14)$$

где

$$\mathbf{G} = \int \mathbf{g} dV \quad (15)$$

и

$$\mathbf{D} = \int \mathbf{d} dV \quad (16)$$

представляют собой соответственно результирующий гиротропный вектор и результирующую диссипативную линейную вектор-функцию для движущегося распределения намагниченности \mathbf{J} .

Практическое значение уравнений (11)–(16) заключается в том, что они позволяют решать динамические задачи микромагнетизма; при этом не нужно фактически искать решение дифференциальных уравнений в частных производных для зависимостей углов θ и φ от времени.

В качестве примера можно рассмотреть гиротропный вектор замкнутого домена произвольной формы. Отметим, что на бесконечности $\cos\theta = 0$, а в центре домена $\cos\theta = -1$. Если целое число оборотов I не равно нулю, то нужно ввести некоторый «разрез», при переходе через который угол φ изменяется скачком от 0 до $2\pi I$. Если обе стороны разреза принять за границы области интегрирования, то z -компонента выражения (15) принимает вид

$$G = 4\pi h S, \quad (17)$$

где $S = h^{-1} \int I(z) dz$ — эффективное число оборотов. В общем случае независимо от конкретной полярности структуры выражение для гиротропной силы можно записать в виде

$$\mathbf{F}_g = 4\pi \mathbf{J} \gamma^{-1} h S \mathbf{z}_0 \times \mathbf{v}, \quad (18)$$

где \mathbf{z}_0 — вектор, характеризующий направление намагниченности вне замкнутого домена, а \mathbf{v} — скорость стационарного движения домена.

Механизмы образования динамических спиральных доменов

Анализируя результаты наблюдений, можно сделать некоторые предположения о наиболее благоприятных условиях для формирования динамических спиральных доменов (СД). При снижении переменного магнитного поля на движущуюся со скоростью v «головку» плоского домена действует гиротропная сила \mathbf{F}_g , перпендикулярная скорости, которая тем больше, чем больше значение G . Величина G зависит от скрученности доменной стенки, от количества и знака блоховских линий и блоховских точек в ней. Для замкнутого

домена произвольной формы имеется прямая связь между G (а значит, и F_g) и эффективным числом полных оборотов S вектора \mathbf{J}_g в стенке домена. У нас нет информации о внутренней структуре доменных границ в исследуемых СД. То, что доменные стенки в пленках ферритов-гранатов в переменном магнитном поле могут содержать блоховские линии разного типа, следует из многих экспериментальных и теоретических работ. Можно предположить, что СД формируются именно из жестких цилиндрических магнитных доменов (ЦМД) со сложной внутренней структурой доменных стенок и с большим значением вектора G . Такой домен находится в метастабильном состоянии и при снижении поля начинает переходить в полосовой домен раньше, чем обычные ЦМД. Возможно симметричное распределение блоховских линий и симметричное «растягивание» ЦМД в полосовой домен с образованием двухрукавного СД. Схема формирования подобных СД приведена на рис. 1, а, б, в. Но более вероятно (из-за различных неоднородностей) несимметричное искажение, вытягивание ЦМД и образование однорукавных СД. Возможный механизм образования СД такого типа показан на рис. 2, а, б, в. Здесь один конец растущего полосового домена закреплен на дефекте или другой магнитной неоднородности.

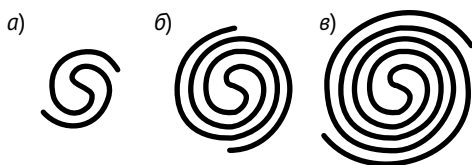


Рис. 1. Схема симметричного растягивания жесткого ЦМД в полосовой домен при уменьшении магнитного поля и образования двухрукавного СД

Рассмотрим теперь влияние скорости движения головки полосового домена v на F_g . Если частота f поля не слишком велика (рис. 2, а, б, в), то разумно предположить, что координата голов-

ки x меняется со временем так же, как и магнитное поле

$$\begin{aligned} H(t) &= H_0 \sin 2\pi f t, \\ x(t) &= x_0 \sin 2\pi f t. \end{aligned} \quad (19)$$

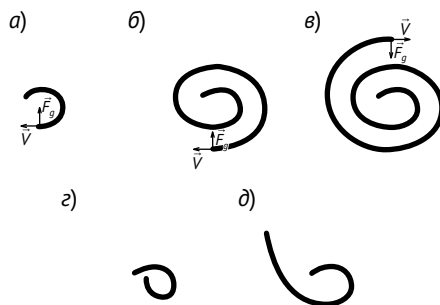


Рис. 2. Схема формирования СД (а, б, в) из жесткого ЦМД под действием гиротропной силы F_g , и случаи, не приводящие к образованию СД (г, д), в случае если F_g велика (г) или мала (д) при уменьшении магнитного поля

Отсюда скорость движения головки

$$\begin{aligned} v(t) &= dx/dt = 2\pi f x_0 \cos 2\pi f t = \\ &= v_0 \cos 2\pi f t, \end{aligned} \quad (20)$$

т.е. скорость $v(t)$ изменяется со временем так же, как dH/dt .

В моменты, когда поле H достигает амплитудного значения, скорость v становится равной нулю (а значит, и $F_g = 0$) и меняет знак. Максимальные скорости $v = v_0$, а значит, и максимальные гиротропные силы соответствуют моментам прохождения напряженности поля через нуль. Однако для формирования СД это самая неблагоприятная ситуация, т.к. в этот момент в образце находится плотный массив магнитных доменов. Таким образом, для формирования многовиткового СД необходимы достаточно большая скорость v и достаточно разреженное, «рыхлое» доменное окружение.

В [4] в качестве первого приближения для количественной характеристики разреженности динамической доменной структуры (ДС) мы взяли ее эффек-

тивный период P и предположили, что при изменении H_- от нуля до H_0 (на четверти периода поля $H_- = H_0 \sin 2\pi ft$) величина P динамической ДС изменяется так же, как при квазистатическом намагничивании, а кривая $P(H_-)$ совпадает с теоретической зависимостью $P(H)$, рассчитанной в [5]. Далее ввели в качестве параметра, благоприятствующего формированию СД, величину

$$\beta(H/H_0) = [P(H)/P_0] \cdot [v(H)/v_0], \quad (21)$$

где P_0 — период ДС при $H = 0$; v_0 — амплитудное значение скорости.

Изменения величины v/v_0 и суммарного поля $H = H_b + H_-$, отнесенного к H_s , со временем $\tau = t/T$ приведены на рис. 3, а, где H_b — постоянное поле подмагничивания, а H_s — поле насыщения. На рис. 3, б показана кривая $P_0(\tau)$, построенная в соответствии с зависимостью $P(H)$ из работы [6]. Максимальное значение $\beta_{\max} = 1,7$, указывающее на наиболее благоприятные условия для формирования СД, имеет место при относительной напряженности переменного поля $H_-/H_0 = 0,9$.

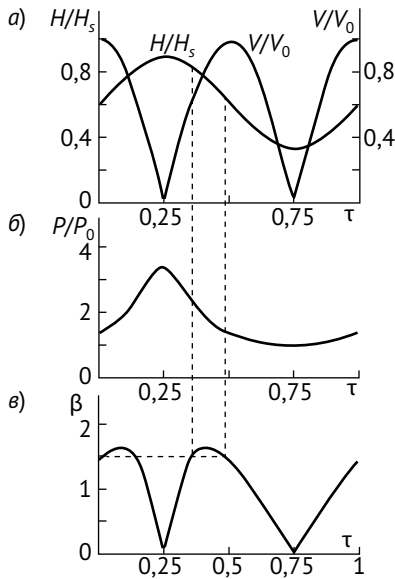


Рис. 3. Изменение относительных величин H/H_s , v/v_0 (а), P/P_0 (б) и параметра β (в) со временем τ за один период T переменного магнитного поля H_-

Считаем, что эти условия сохраняются и в окрестности β_{\max} , например, при $\beta = 1,5-1,7$ (рис. 3, в). Отсюда следует, что СД скорее всего образуются в моменты уменьшения величины переменного поля от $0,85H_s$ до $0,60H_s$ (рис. 3, а). При этом в интервале $\Delta H_- = (0,85-0,60)H_s$ период доменной структуры меняется от $2,5P_0$ до $1,5P_0$ (рис. 3, б). Если $P < 1,5P_0$, то в результате увеличения плотности доменного массива в образце условия для формирования СД становятся неблагоприятными. Примечательно, что нормированный на $4\pi J_s$ интервал полей, благоприятный для формирования СД, практически совпадает с теоретически вычисленным в [7] интервалом стабильности статических спиральных доменов.

На опыте мы определили интервал ΔH_b существования статических СД путем непосредственного наблюдения возникновения и роста таких доменов из сохранившихся в полях выше H_s «жестких» ЦМД (рис. 4). Оказалось, что $\Delta H_b = (0,77-0,62)H_s$. Верхняя граница в ΔH_b несколько ниже таковой в ΔH_- (вероятно, из-за гистерезисных эффектов), тогда как нижние границы в ΔH_b и ΔH_- почти совпадают. Эксперимент по наблюдению динамических СД в непрерывно действующем поле дает аналогичные данные по интервалу амплитуд поля, в которых реализуются процессы самоорганизации.

Указанные соответствия, по-видимому, свидетельствуют, что квазистатическое приближение при введении параметра β приемлемо до частот ~ 20 кГц. При больших частотах может проявляться отставание в изменении скорости движения доменных границ от изменения поля. Не исключено, что именно с этим связано наблюдаемое превышение максимальных амплитудных значений переменного поля над величиной H_s [5] при частоте 60 кГц.

Введение параметра β позволило обосновать ограниченность области существования СД по амплитуде переменного поля. Наличием гиротропной силы F_g , действующей на головку

движущегося полосового домена, можно качественно обосновать ограниченность области существования динамических СД по частоте.

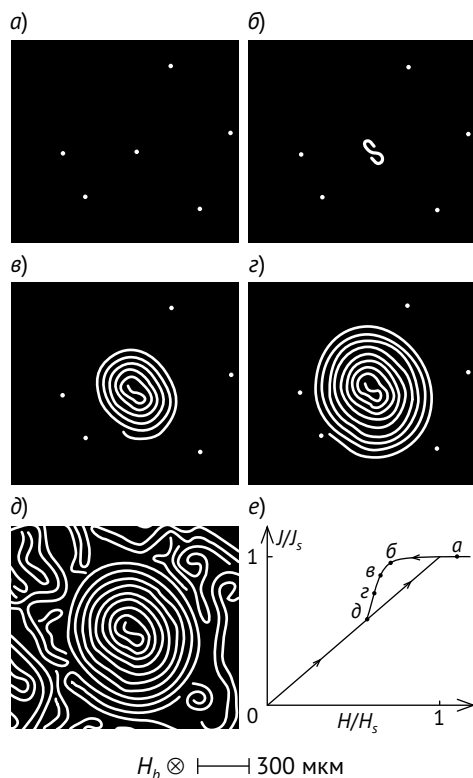


Рис. 4. Процесс образования спирального домена в пленке феррита-граната при уменьшении постоянного поля H_b
 $a - 55 \text{ Э}$; $b - 32 \text{ Э}$; $c - 31 \text{ Э}$; $d - 28 \text{ Э}$.
 Точки на схеме e соответствуют картинам доменной структуры на $a-d$

Из рис. 4 видно, что амплитудные значения скорости, а значит, и максимальные значения F_g зависят от частоты переменного поля. Например, если частота переменного поля f настолько высока (выше некоторого критического значения f_{\max}), а значит, велика скорость головки растущего домена, и сила F_g такова, что под действием этой силы головка СД будет двигаться по траектории слишком малой кривизны и упрется в свой собственный домен (рис. 2, z). Если же частота $f < f_{\min}$, то величина силы F_g уже недостаточна для того, чтобы заставить головку домена двигаться

по спиральной траектории (рис. 2, d), то в этом случае полосовой домен, испытывая изгибную неустойчивость при уменьшении поля, превратится в часть лабиринтной доменной структуры.

Механизмы образования динамических доменных структур типа «ведущий центр»

Динамические доменные структуры типа «ведущий центр» (ВЦ) образуются под действием переменного магнитного поля, по амплитуде превышающего величину статического поля насыщения, путем зарождения и разрастания ЦМД в области локального дефекта (рис. 5, a, b), далее за счет магнитостатики внутри этого ЦМД возникает новый, но имеющий противоположное направление намагненности (рис. 5, $в$) [2, 5]. Новый ЦМД, в свою очередь, также разрастается до появления внутри его следующего ЦМД (рис. 5, z). Этот процесс образования и разрастания концентрических кольцевых доменов повторяется (рис. 5, d, e) неограниченно долго, пока действует поле накачки.

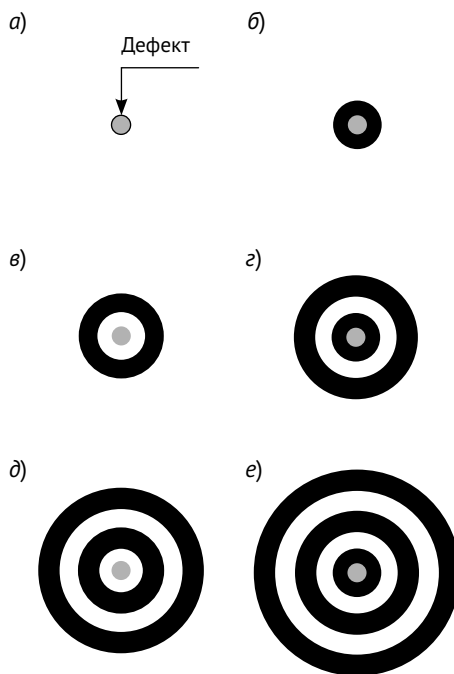


Рис. 5. Схема формирования на дефекте структуры типа ВЦ

В наших экспериментах, проведенных с использованием методики микровидео съемки, при исследовании динамического поведения доменных структур типа ВЦ предпринята попытка обнаружить процесс возникновения кольцевого домена на дефекте в динамической структуре ВЦ. Однако в отличие от СД время образования колец оказалось значительно меньше, чем время между последовательными кадрами микровидеофильма (40 мс). При подробном исследовании эволюции динамических доменных структур типа ВЦ нами было обнаружено, что в некоторых случаях вместо кольцевого домена на дефекте образуется и растет спиральный домен (рис. 6, *а-г*) [5].

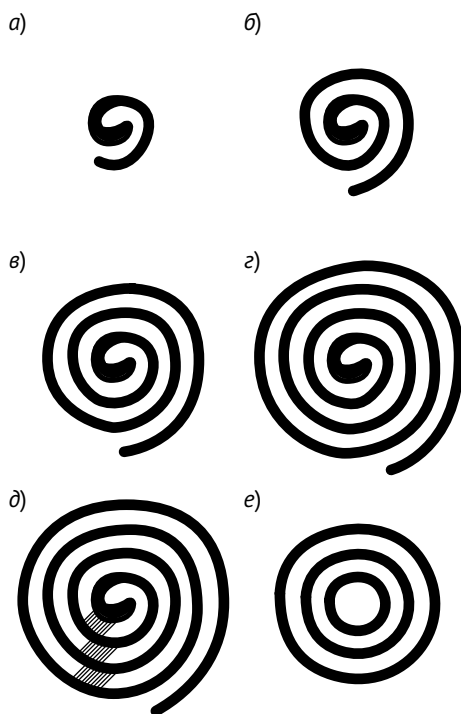


Рис. 6. Схема формирования на дефекте спиральной структуры (*а-г*) и превращение ее в структуру типа ВЦ (*д, е*)

При исследовании всей области существования ВЦ выяснилось, что спиральные структуры на дефекте могут образовываться при любых сочетаниях частоты и амплитуды поля. Об-

наруживаются они на кадрах микровидеофильма достаточно редко и «живут» не более двух-трех кадров, т.е. $\sim 0,1$ с. Но изредка наблюдаются спирали, живущие 1–1,5 с.

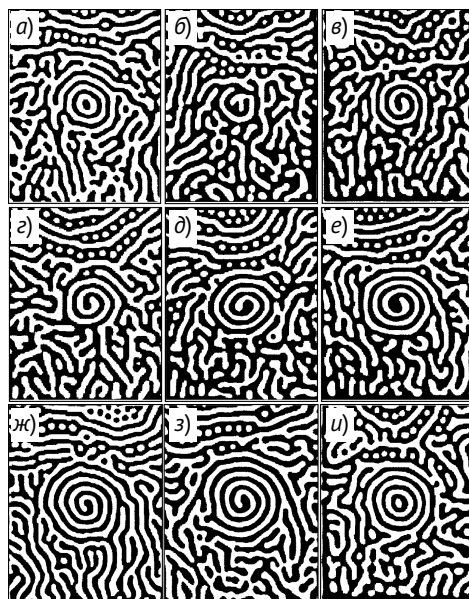


Рис. 7. Последовательные картины динамических доменных структур на естественном дефекте при $f = 120$ кГц и $H_0 = 57$ Э: предыдущий ВЦ (*а*); пауза, время ожидания (*б*); формирование из спирального домена (*в-з*) следующего ВЦ (*и*)

На рис. 7 приведены последовательные кадры микровидеофильма, на котором можно видеть процесс формирования на дефекте спирального домена, вырастающего до четырех витков. На рис. 7, *а* виден предыдущий ВЦ, который к следующему кадру (рис. 7, *б*) уже разрушился — здесь видна «заготовка» будущей спиральной структуры. Между кадрами *а* и *в* на рис. 7 нет ВЦ (время ожидания). Формирование первых двух витков у образовавшегося спирального домена можно видеть на рис. 7, *в*. Далее (рис. 7, *в-з*) наблюдается процесс эволюции этой спирали. На рис. 7, *е* СД имеет три, а на рис. 7, *ж* уже четыре витка. Между кадрами (рис. 7, *з*) и происходит процесс смыкания витков СД и образования ВЦ (рис. 7, *и*).

В ряде случаев на кадрах видеofilьма были хорошо различимы серые участки между витками СД, характеризующиеся быстрым смещением доменных границ за время экспозиции, на фоне относительно контрастной и, следовательно, более стабильной доменной структуры. После смыкания витков СД образуется ВЦ число колец которого меньше чем число витков спирали на единицу или две. Этот процесс изображен на схеме рис. 6, д, е.

Таким образом, можно предположить, что в некоторых образцах и на некоторых типах дефектов ВЦ может возникнуть путем образования спирального домена, имеющего два-четыре витка с последующим смыканием витков спирали в кольцевые домены. Этот процесс происходит за время менее 0,04 с.

Теории возникновения и дальнейшей эволюции динамических спиральных доменов, а тем более теории индуцированных спиральных доменов на сегодняшний день отсутствуют. В первой [8] и пока единственной попытке теоретически оправдать возникновение динамических спиральных доменов проведен расчет лишь для малых отклонений векторов намагниченности от однородного состояния, т.е. фактически показана возможность существования устойчивых спиральных малоамплитудных волн намагниченности (спиральных солитонов). На опыте же, судя по наблюдаемому сильному контрасту доменных структур, векторы намагниченности в соседних доменах антипараллельны и направлены перпендикулярно к плоскости пленки.

В реальной ситуации на формировании и «жизнь» СД может оказывать влияние множество факторов — скорость движения, внутренняя структура и коэрцитивность доменных границ; плотность динамического доменного массива и вид устойчивых динамических доменных структур; взаимодействие упорядоченных и хаотических структур; время релаксации магнитных момен-

тов к равновесному состоянию и т.д. Корректный учет этих факторов в теории спиральных динамических доменов представляется сложной задачей.

Все рассмотренные упорядоченные доменные структуры очень чувствительны к малейшим изменениям внешних условий энергетической накачки и могут, следовательно, являться чувствительными датчиками внешних воздействий. Однако для более полного понимания происходящих процессов необходимо создание теории самоорганизующихся систем магнитных доменов, которая бы объясняла и механизмы возникновения/разрушения упорядоченных структур и описывала поведение основных динамических и геометрических параметров и давала обоснование ограниченности амплитудно-частотной области существования упорядоченных динамических доменных структур. Возможно, что создание такой теории позволит распространить закономерности самоорганизующихся динамических доменных структур на более широкий круг природных явлений, в которых также происходят (или могут происходить) процессы самоорганизации.

В проделанной работе на качественном уровне рассмотрен механизм образования динамических спиральных доменов и доменных структур типа «ведущий центр» под действием гиротропной силы. В квазистатическом приближении введен и разумно оправдан количественный параметр для характеристики условий, благоприятных для возникновения этих упорядоченных структур. Этот параметр связан со скоростью движения доменных стенок и «рыхлостью» динамического массива магнитных доменов. Определена та часть периода переменного магнитного поля и соответствующий интервал напряженности поля, в которых могут формироваться упорядоченные доменные структуры. Полученные значения полей неплохо согласуются с проведенными нами экспериментами. ■

Литература

1. Кандаурова Г. С. Процессы самоорганизации в многодоменных магнитных средах и формирование устойчивых динамических структур / Г. С. Кандаурова, А. Э. Свидерский // ЖЭТФ. 1990. Т. 97. — Вып. 4. — С. 1218–1229.
2. Кандаурова Г. С. Фазовые диаграммы динамических систем магнитных доменов / Г. С. Кандаурова, А. А. Русинов // ДАН. 1995. Т. 340. № 5. — С. 610–613.
3. Кандаурова Г. С. Эволюция спиральных динамических магнитных доменов в ангерном состоянии пленок ферритов-гранатов / Г. С. Кандаурова, В. Х. Осадченко, А. А. Русинов, Е. А. Русинова // Письма в ЖЭТФ. 1996. Т. 63. Вып. 6. — С. 453–456.
4. Кандаурова Г. С. Спиральные динамические домены в пленках ферритов-гранатов, индуцированные полем смещения / Г. С. Кандаурова, А. А. Русинов // Письма в ЖЭТФ. 1997. Т. 65. — Вып. 1. — С. 60–64.
5. Кандаурова Г. С. Трехмерные диаграммы существования индуцированных ангерных состояний многодоменной магнитной среды / Г. С. Кандаурова, А. А. Русинов // ФТТ. 1998. Т. 40. — Вып. 10. — С. 1865–1870.
6. Кандаурова Г. С. Формирование и разрушение динамических спиральных доменов в ангерном состоянии пленки феррита-граната / Г. С. Кандаурова, А. А. Русинов, В. Х. Осадченко // ДАН. 2003. Т. 392. № 5. — С. 618–622. ISBN 0869–5652.
7. Малоземов А. Доменные стенки в материалах с цилиндрическими магнитными доменами / А. Малоземов, Дж. Слонзуски. М. : Мир, 1982.
8. Борисов А. Б. Спиральные солитоны в ферромагнетике / А. Б. Борисов, В. А. Фейгин, Б. Н. Филиппов // ФТТ. 1991. Т. 33. № 8. — С. 2316–2319.

References

1. Kandaurova G. S. Protsessy samoorganizatsii v mnogodomennykh magnitnykh sredakh i formirovanie ustoychivyykh dinamicheskikh struktur [Self-organization processes in multidomain magnetic medium and formation of stable dynamic structures] / G. S. Kandaurova, A. E. Sviderskiy // ZhETF. 1990. T. 97. — Issue 4. — P. 1218–1229.
2. Kandaurova G. S. Fazovye diagrammy dinamicheskikh sistem magnitnykh domenov [Phase diagrams of dynamic systems of magnetic domains] / G. S. Kandaurova, A. A. Rusinov // DAN. 1995. T. 340. № 5. — P. 610–613.
3. Kandaurova G. S. Evolyutsiya spiralnykh dinamicheskikh magnitnykh domenov v angernom sostoyanii plyonok ferritov-granatov [Evolution of spiral dynamic magnetic domains in anger state of iron garnet films] / G. S. Kandaurova, V. Kh. Osadchenko, A. A. Rusinov, E. A. Rusinova // Pisma v ZhETF. 1996. T. 63. Issue 6. — P. 453–456.
4. Kandaurova G. S. Spiralnye dinamicheskie domeny v plyonkakh ferritov-granatov, indutsirovannye polem smescheniya [Spiral dynamic domains in iron garnet films, induced by displacement field] / G. S. Kandaurova, A. A. Rusinov // Pis'ma v ZhETF. 1997. T. 65. — Issue 1. — P. 60–64.
5. Kandaurova G. S. Tryokhmernye diagrammy suschestvovaniya indutsirovannykh angernykh sostoyaniy mnogodomennoy magnitnoy sredy [Three-dimensional charts of existence of induced anger states of multidomain magnetic medium] / G. S. Kandaurova, A. A. Rusinov // FTT. 1998. T. 40. — Issue 10. — P. 1865–1870.
6. Kandaurova G. S. Formirovanie i razrushenie dinamicheskikh spiralnykh domenov v angernom sostoyanii plyonki ferrita-granata [Formation and destruction of dynamic spiral domains in anger state of iron garnet film] / G. S. Kandaurova, A. A. Rusinov, V. Kh. Osadchenko // DAN. 2003. T. 392. № 5. — P. 618–622. ISBN 0869–5652.
7. Malozemov A. Domennye stenki v materialakh s tsilindricheskimi magnitnymi domenami [Domain walls in materials with cylindrical magnetic domains] / A. Malozemov, Dzh. Slon-zuski. M. : Mir, 1982.
8. Borisov A. B. Spiralnye solitony v ferromagnetike [Spiral solitons in ferromagnetics] / A. B. Borisov, V. A. Feygin, B. N. Filippov // FTT. 1991. T. 33. № 8. — P. 2316–2319.

Статья сдана в редакцию 12 апреля 2014 года

УДК 620. 171.3

Н. И. Бойко, К. С. Фисенко

Расчет температуры металлопокрытия в зоне механической обработки при широкослойной наплавке деталей вращения

UDC 620. 171.3

N. I. Boyko, K. S. Fisenko

Calculation of metal coating temperature in machining zone during wide-layer surfacing of rotary parts

Аннотация

В статье представлена методика теоретического расчета величины температурных полей наплавленного металла, возникающих в зоне механической обработки при широкослойной наплавке колеблющимся электродом в зависимости от режимов наплавки и геометрических размеров детали. Изложенная методика расчета позволяет быстро и качественно получить информацию о величине температурного поля в зоне механической обработки. Достоверность полученных данных позволяет рекомендовать изложенную методику при решении практических задач при выборе режимов наплавки, что способствует повышению эффективности процесса восстановления цилиндрических деталей машин.

Ключевые слова: цилиндрическая деталь; широкослойная наплавка; температурное поле; механическая обработка; методика расчета.

Summary

The paper presents a methodology for calculation of theoretical values of temperature fields of weld metal, appearing in machining zone during wide-layer surfacing with oscillating electrode, depending on the mode of deposition and part geometry. The calculation method allows quickly and accurately obtaining information about magnitude of temperature field in the machining zone. Reliability of the data allows recommending the technique described for solving practical problems in choosing surfacing modes, thereby increasing recovery process efficiency of cylindrical parts of machines.

Keywords: cylindrical part; wide-layer surfacing; temperature field; machining; calculation method.

Николай Иванович Бойко, д-р техн. наук, профессор; зав. кафедрой «Эксплуатация и ремонт машин» Ростовского государственного университета путей сообщения; г. Ростов-на-Дону, Россия. E-mail: erm@kaf.rgups.ru.

Константин Сергеевич Фисенко, канд. техн. наук, ассистент; кафедр «Эксплуатация и ремонт машин» Ростовского государственного университета путей сообщения; г. Ростов-на-Дону, Россия.

Nikolay Ivanovich Boyko, DSc in Engineering, Professor; Head of the Department «Equipment Maintenance and Repair», Rostov State University of Railway Transport (GFBou VPO RGUPS); Rostov-on-Don, Russia. E-mail: erm@kaf.rgups.ru.

Konstantin Sergeevich Fisenko, PhD in Engineering; Department «Equipment Maintenance and Repair», Rostov State University of Railway Transport (GFBou VPO RGUPS); Rostov-on-Don, Russia. E-mail: pro100koss@mail.ru.

При восстановлении изношенных деталей ходовой части дорожно-строительных машин, коленчатых валов двигателей и других цилиндрических деталей все больше используется автоматическая широкоослойная наплавка колеблющимся электродом. Наплавка производится порошковой или обычной сварочной проволокой в различных защитных средах.

При наплавке деталей с большим диаметром по винтовой линии производительность ограничена силой тока, численное значение которого при не превышает 250–300 А. Увеличение силы тока приводит к снижению удержания жидкого металла на поверхности детали в результате увеличения длины сварочной ванны. При широкоослойной наплавке цилиндрических деталей колеблющимся электродом возможно увеличение силы тока и повышение производительности процесса наплавки без увеличения глубины проплавления металла детали. Ванна расплавленного металла становится шире и значительно короче по сравнению с наплавкой по винтовой линии [1].

Механическая обработка износостойкого наплавленного металла хуже по сравнению с обработкой обычной стали из-за неоднородности структуры и химического состава наплавленного металла, неравномерности поверхностной твердости, наличия пор, раковин, шлаковых включений. При этом наплавленный металл обладает высокой истирающей способностью и сопротивлением резанию, что затрудняет снятие стружки и уменьшает стойкость лезвийного и абразивного инструментов.

Для снижения трудоемкости механической обработки широкоослойных наплавов цилиндрических деталей, повышения стойкости режущего инструмента очень перспективна обработка горячего наплавленного металла в процессе его нанесения на деталь с использованием тепла сварочной дуги.

В данной статье представлен теоретический расчет температуры в зоне

механической обработки металла, нанесенного широкоослойной наплавкой колеблющимся электродом.

В автоматическом режиме наплавки детали 1 (рис. 1) мундштук наплавочного автомата 3 с наплавочной проволокой 2 колеблется с частотой f_k (кол/с) вдоль образующей поверхности детали, нанося на нее наплавленный металл 4 шириной b . По мере вращения детали с частотой n_d наплавленный металл освобождается от шлаковой корки (в случае наплавки под слоем флюса) и в точке А обрабатывается инструментом 5 (абразивным шлифовальным кругом, фрезой или накатным роликом). Деталь с наружным радиусом R_n и внутренним r за время наплавки совершает один оборот, амплитуда колебания мундштука с наплавочной проволокой (электрода) совпадает с половиной длины детали, то есть наплавка производится от левого до правого торца детали (например, беговые дорожки опорных и поддерживающих катков ходовой части гусеничных машин). Линейная скорость вращения в процессе наплавки точек поверхности детали определяется по формуле

$$v_d = \frac{2\pi \cdot R_n \cdot n_d}{60},$$

где R_n — наружный радиус детали, см;
 n_d — частота вращения детали, об/с.

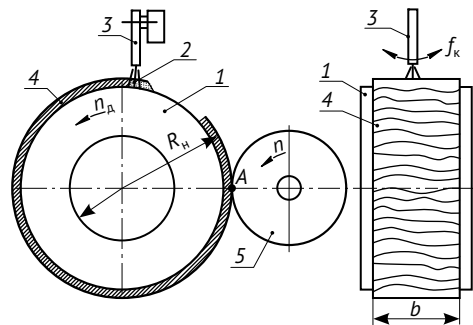


Рис. 1. Расчетная схема широкоослойной наплавки колеблющимся электродом и механической обработки металлопокрытия детали

Скорость вращения наплавляемой детали подбирается практическим путем таким образом, чтобы каждый последующий наплавленный вдоль образующей поверхности детали валик перекрывал предыдущий на одну треть его ширины.

Шаг наплавки (перемещение точек наплавляемой поверхности детали за одно колебание мундштука наплавочного автомата) может быть рассчитан по формуле

$$S_n = \frac{v_d}{f_k} = \frac{\pi \cdot R_n}{30} \cdot \frac{n_d}{f_k}.$$

В зависимости от силы сварочного тока I и напряжения сварочной дуги U , эффективная тепловая мощность сварочной дуги q определяется по формуле [2]

$$q = 0,24 \cdot \eta \cdot U \cdot I,$$

где 0,24 — коэффициент перевода из электротехнических единиц в тепловые, кал/вт·с; $\eta = 0,8$ — эффективный КПД процесса нагрева детали сварочной дугой; U — напряжение сварочной дуги, В; I — сила сварочного тока, А.

Для определения температуры наплавленного металла детали в зоне механической обработки из работы [3] используем выражение, характеризующее процесс распространения теплоты сварочной дуги в теле детали:

$$T(x, y, z, t) = -\frac{q}{\lambda \pi^2 R} \int_0^{+\infty} \exp \left[-u^2 - \left(\frac{vR}{4au} \right)^2 - \frac{vx}{4a} \right] dx, (1)$$

где q — эффективная тепловая мощность сварочной дуги, кал/с; λ — коэффициент теплопроводности, кал/см·с·°С;

$$a = \frac{\lambda}{c\gamma}$$

— коэффициент температуропроводности, см²/с; c — удельная теплоемкость, кал/г·°С; γ — удельный вес, г/см³;

переменная величина

$$u = \frac{R}{2\sqrt{at''}};$$

$t'' = t - t'$ — длительность процесса распространения тепла элементарного источника, введенного в промежуточную точку, с; t — время прошедшее с момента начала движения источника теплоты, с; t' — время окончания движения источника теплоты, с; x, y, z — координаты произвольной точки A полубесконечного тела в подвижной системе координат с началом в точке 0 (рис. 2);

$$R = \sqrt{x^2 + y^2 + z^2}$$

— радиус-вектор точки A температурного поля.

Пусть начало подвижной системы координат совпадает с точкой 0 (положением источника тепла в рассматриваемый момент времени t), ось x совпадает с направлением движения источника тепла (вдоль образующей детали), ось z направлена вглубь полубесконечного тела (рис. 2). По поверхности полубесконечного тела прямолинейно с постоянной скоростью v перемещается источник тепла с эффективной мощностью q .

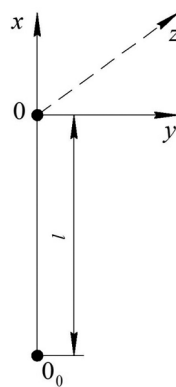


Рис. 2. Схема движения источника тепла

Расстояние l , пройденное источником тепла за время t , прошедшее с момента начала движения из точки 0_0 :

$$l = vt.$$

Если в качестве точки A в зоне механической обработки наплавленного металла (рис. 1) рассмотреть точку O_0 (рис. 2), то для нее $x = -l, y = z = 0, R = l$. Так как $l = vt, R = l = vt$, откуда

$$t = \frac{l}{v},$$

тогда:

$$\frac{R}{2\sqrt{at}} = \frac{l}{2\sqrt{\frac{al}{v}}} = \sqrt{\frac{vl}{4a}}.$$

Обозначим

$$\frac{vl}{4a} = m$$

и, учитывая, что $x = -l$, то формулу (1) для точки O_0 можно записать в виде выражения

$$\begin{aligned} T(l) &= T\left(-l, 0, 0, \frac{l}{v}\right) = \\ &= \frac{q}{\lambda \pi^2 l} \int_{\sqrt{m}}^{+\infty} \exp\left[-u^2 - \left(\frac{m}{u}\right)^2 + 2m\right] du. \end{aligned} \quad (2)$$

Для любого значения $m > 0$ интеграл из уравнения (2) будет иметь вид

$$\int_0^{+\infty} \exp\left[-u^2 - \left(\frac{m}{u}\right)^2 + 2m\right] du = \frac{\sqrt{\pi}}{2}.$$

Поэтому интеграл из выражения (2)

$$\int_{\sqrt{m}}^{+\infty} \exp\left[-u^2 - \left(\frac{m}{u}\right)^2 + 2m\right] du \quad (3)$$

можно представить в виде

$$\begin{aligned} \int_{\sqrt{m}}^{+\infty} \exp\left[-u^2 - \left(\frac{m}{u}\right)^2 + 2m\right] du &= \\ &= \frac{\sqrt{\pi}}{2} - \int_0^{\sqrt{m}} \exp\left[-u^2 - \left(\frac{m}{u}\right)^2 + 2m\right] du. \end{aligned}$$

В интеграле

$$\int_0^{\sqrt{m}} \exp\left[-u^2 - \left(\frac{m}{u}\right)^2 + 2m\right] du$$

выполним замену $\frac{m}{u} = t$, тогда он запишется:

$$m \int_{\sqrt{m}}^{+\infty} \frac{\exp\left[-u^2 - \left(\frac{m}{t}\right)^2 + 2m\right]}{t^2} dt. \quad (4)$$

Так как при $t > \sqrt{m}$ выполняется неравенство $\frac{1}{t^2} < \frac{1}{m}$, то выражение (4)

меньше интеграла (3).

Таким образом,

$$\int_{\sqrt{m}}^{+\infty} \exp\left[-u^2 - \left(\frac{m}{u}\right)^2 + 2m\right] du > \frac{\sqrt{\pi}}{4}.$$

Следовательно,

$$T(l) > \frac{q}{4\pi\lambda l}. \quad (5)$$

Неравенство (5) дает оценку снизу температуры $T(l)$ точки O_0 поверхности полубесконечного тела, из которой начал свое движение источник тепла мощностью q (рис. 2).

Цилиндрическую деталь с наружным радиусом R_n , внутренним r и длиной b (см. рис. 1) заменим в эквивалентную в тепловом отношении пластину бесконечной длины и ширины с толщиной δ_1 (рис. 3, а), определяемой по формуле

$$\delta_1 = \delta \left(1 - \frac{\delta}{2R_n}\right),$$

где $\delta = R_n - r$.

Из-за большой удаленности зоны механической обработки наплавленного металла от сварочной дуги в направлении движения (расстояние l на рис. 3, б)

по сравнению с амплитудой колебания источника тепла $b/2$ будем считать, что источник тепла движется прямолинейно с постоянной скоростью $v = v_4$ по середине поверхности плоской пластины (рис. 3, б).

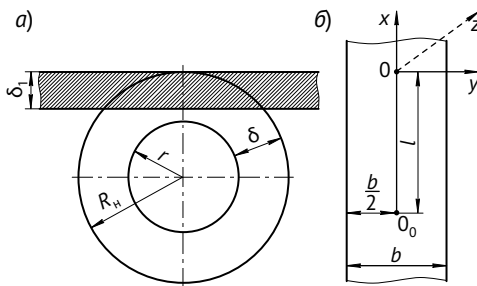


Рис. 3. Схема развертки цилиндрической детали в бесконечную пластины (а) и движения источника тепла (б)

R_n – наружный радиус детали; r – внутренний радиус детали; δ – толщина стенки цилиндра; δ_1 – толщина пластины; b – длина пластины; l – расстояние, пройденное источником тепла

Учет конечности толщины δ_1 пластины приводит к введению дополнительных (фиктивных) источников тепла. Фиктивные точки расположены вдоль оси z и являются отражениями реального источника тепла 0, а также последовательными отражениями друг друга в ограничивающих пластину плоскостях $z = 0$ и $z = \delta_1$.

С использованием выражения (18.1) из [2] получена формула для расчета добавочной температуры от фиктивных источников тепла [3]:

$$T_\Phi = 2 \sum_{n=1}^{\infty} \frac{2q}{c\gamma(4\pi a)^{\frac{3}{2}}} \exp\left(-\frac{vl}{2a}\right) \times \int_0^t \frac{\exp\left(-\frac{v^2 t''}{4a} - \frac{R_n^2}{4at''}\right)}{t''^{\frac{3}{2}}} dt'' \quad (6)$$

Преобразуя интеграл в правой части формулы (6) согласно методике, изложенной в работе [3], получим

$$\frac{2q}{c\gamma(4\pi 0)^{\frac{3}{2}}} \int_0^t \frac{\exp\left(-\frac{v^2 t''}{4a} - \frac{R_n^2}{4at''}\right)}{t''^{\frac{3}{2}}} dt'' = \frac{q}{\lambda \pi^{\frac{3}{2}} R_n} \int_{\frac{R_n}{2\sqrt{at}}}^{+\infty} \exp\left[-u^2 - \left(\frac{vR_n}{4au}\right)\right] du \quad (7)$$

Так как при небольших значениях индекса n предел интегрирования

$$\frac{R_n}{2\sqrt{at}}$$

находится недалеко от числа

$$\frac{1}{2} \sqrt{\frac{vR_n}{a}},$$

то интеграл

$$\int_{\frac{R_n}{2\sqrt{at}}}^{+\infty} \exp\left[-u^2 - \left(\frac{vR_n}{4au}\right)\right] du$$

можно заменить интегралом

$$\frac{1}{2} \sqrt{\frac{vR_n}{a}} \int_{\frac{R_n}{2\sqrt{at}}}^{+\infty} \exp\left[-u^2 - \left(\frac{vR_n}{4au}\right)^2\right] du \quad (8)$$

Для интеграла (8) можно провести такую же оценку снизу, как и для интеграла (3). В результате получим, что выражение (8) больше величины

$$\frac{\sqrt{\pi}}{4} \exp\left[-\frac{vR_n}{2a}\right].$$

Возвращаясь к выражению (6), будем иметь

$$T_\Phi > \frac{q}{2\pi\lambda} \sum_{n=1}^{\infty} \frac{\exp\left(-\frac{v}{2a}(R_n - l)\right)}{R_n} \quad (9)$$

Члены ряда в выражении (9) очень быстро убывают с ростом n . Выше было отмечено, что приближение величины (7) к величине (8) тем точнее, чем меньше значение n . Таким образом, для практических вычислений вместо

суммы бесконечного ряда (9) будет сумма нескольких его первых слагаемых.

Анализируя и соединяя формулы (5) и (9), получаем, что учет конечность цилиндрической детали по толщине приводит к следующей формуле для вычисления температуры в зоне механической обработки:

$$T_o = \frac{q}{2\pi\lambda} \left[\frac{1}{2l} + \frac{\exp\left[-A(\sqrt{l^2 + (2\delta_1)^2} - l)\right]}{\sqrt{l^2 + (2\delta_1)^2}} + \frac{\exp\left[-A(\sqrt{l^2 + (4\delta_1)^2} - l)\right]}{\sqrt{l^2 + (4\delta_1)^2}} + \dots \right], \quad (10)$$

где для краткости обозначим $\frac{v}{2a} = A$.

Конечность длины детали (конечность ширины b соответствующей ему пластины) достигается введением дополнительных (фиктивных) источников тепла, получаемых отражением реального источника тепла 0 относительно правой и левой ограничивающих плоскостей (рис. 4).

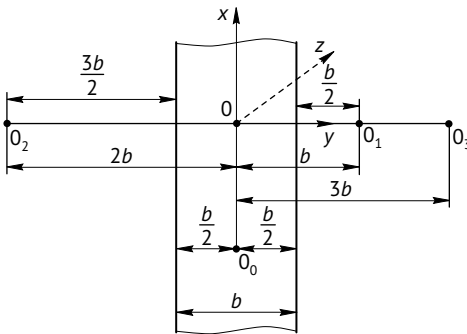


Рис. 4. Схема расположения дополнительных (фиктивных) источников тепла

Температуру от фиктивных источников тепла, получаемых отражением реального источника 0 (и его отражений) относительно ограничивающих пластину плоскостей

$$y = \frac{b}{2} \text{ и } y = -\frac{b}{2},$$

по аналогии с выражением (10) запишем:

$$T_\phi = \frac{q}{2\pi\lambda} \left[\frac{\exp\left[-A(\sqrt{l^2 + b^2} - l)\right]}{\sqrt{l^2 + b^2}} + \frac{\exp\left[-A(\sqrt{l^2 + (2b)^2} - l)\right]}{\sqrt{l^2 + (2b)^2}} + \frac{\exp\left[-A(\sqrt{l^2 + (3b)^2} - l)\right]}{\sqrt{l^2 + (3b)^2}} + \dots \right]. \quad (11)$$

Температура металлопокрытия в зоне механической обработки при широкослойной наплавке колеблющимся электродом, с учетом действия основного (сварочной дуги) и дополнительных (фиктивных) источников теплоты равна

$$T = T_o + T_\phi.$$

Изложенный теоретический расчет определения температуры наплавленного металла в зоне механической обработки широкослойной наплавки колеблющимся электродом в зависимости от режимов наплавки и геометрических размеров детали позволяет быстро получить экспресс-информацию температуры наплавленного металла в зоне механической обработки. При этом методика расчета температуры наплавленного металла достаточно точно отражает особенности процесса наплавки. Достоверность полученных расчетных данных подтверждается сходимостью с данными, полученными при экспериментальных исследованиях; это позволяет рекомендовать ее для практического применения при разработке технологических процессов восстановления изношенных цилиндрических деталей. ■

Литература

1. Наливкин В. А. Широкослойная наплавка деталей вращения / В. А. Наливкин, И. Л. Воронников, Б. К. Васильев // Международн. научн.-практич. конф. «Совершенствование технологии и организации обеспечения работоспособности машин с использованием восстановительно-упрочняющих процессов». 24–27.09.2003. Саратов : СГТУ, 2003. — С. 216–218.
2. Рыкалин Н. Н. Расчет тепловых процессов при сварке. — М. : Машгиз, 1951. — 297 с.
3. Бойко Н. И. Технология наплавки и температурные поля при комплексном восстановлении цилиндрических деталей / Н. И. Бойко, В. А. Богачев // Сварочное производство. 1984. № 8. С. 5–7.

References

1. Nalivkin V. A. Shirokosloynaya naplavka detaley vrascheniya [Wide-layer surfacing of rotary parts] / V. A. Nalivkin, I. L. Vorotnikov, B. K. Vasilev // Mezhdunarodn. nauchn.-praktich. konf. «Sovershenstvovanie tekhnologii i organizatsii obespecheniya rabotosposobnosti mashin s ispolzovaniem vosstanovitelno-uprochnyayuschikh protsessov». 24–27.09.2003. Saratov : SGTU, 2003. — P. 216–218.
2. Rykalin N. N. Raschet teplovykh protsessov pri svarke [Calculation of thermal processes in welding] M. : Mashgiz, 1951. — 297 p.
3. Boyko N. I. Tekhnologiya naplavki i temperaturnye polya pri kompleksnom vosstanovlenii tsilindricheskikh detaley [Surfacing technology and temperature fields in complex restoration of cylindrical parts] / N. I. Boyko, V. A. Bogachev // Svarochnoe proizvodstvo. 1984. № 8. P. 5–7.

Статья сдана в редакцию 19 мая 2014 года

Механика машин и роботов

УДК 621.316.718.5 (088.81)

Р. Я. Сулейманов

Очистка тоннелей метрополитена от пыли

UDC 621.316.718.5 (088.81)

R. Ya. Suleymanov

Cleaning metro tunnels from dust

Аннотация

В настоящей статье рассматривается вопрос регулирования скорости поезда-пылесоса для метрополитена. Процесс очистки при работе такого поезда происходит при малой скорости движения; скорость движения регламентируется через импульсный регулятор тягового привода регулятором скорости в интегральном исполнении. Регулятор сравнивает напряжение задания скорости с выходным напряжением датчика скорости. В качестве последнего используются сигналы, имеющиеся внутри блока управления, — ток якоря, ток возбуждения и выходное напряжение регулятора тока, пропорциональное напряжению двигателя. Сигнал по скорости движения получается путем математической обработки указанных напряжений.

Ключевые слова: очистка пыли в тоннелях; импульсный регулятор тягового привода; регулятор скорости; датчик скорости; алгоритм урегулирования скорости.

Summary

This paper addresses the issue of regulating the speed of cleaning train for metro. The cleaning process during operation of this train occurs at low speeds; the speed is regulated via traction drive switching regulator using integral speed controller. The controller compares speed setting voltage with speed sensor output voltage. The latter is represented by signals within the control unit-armature current, excitation current and output voltage of current controller proportional to the motor voltage. Speed signal is obtained by mathematical processing of these voltages.

Keywords: cleaning dust in tunnels; traction drive switching regulator; speed control; speed sensor; speed adjustment algorithm.

Во время работы метрополитена в тоннелях накапливается значительное количество пыли. Частично она засасывается поездами, как гигантскими поршнями, из станций, куда она заносится ногами пассажиров, частично образуется при износе тормозных колодок и другого оборудования. Эта пыль оседает на стенах тоннелей, где начинают развиваться микроорганизмы.

Пыль со стен смывают водой, что приводит к нежелательному повышению влажности.

Сдувание пыли сжатым воздухом и отсос взбаламученной пыли специальным вентилятором с последующей фильтрацией — более технологичный процесс очистки. Первые опыты по очистке тоннелей от пыли на Ленинградском метрополитене производились с помощью одного вагона, оборудованного компрессором и вентилятором с фильтром и тяговым приводом. Эти опыты показали, что очистка возможна. Однако тяговый привод не отвечал поставленным задачам.

Дело в том, что метрополитен имеет большие спуски и подъемы, доходящие порой до 60‰ (рис. 1). Для сплошной очистки необходимо двигаться со скоростью, не превышающей 5 км/ч на любом участке. Тяговый привод подвижного состава оборудован двигателями последовательного возбуждения, скорость

Рашит Яхьевич Сулейманов, канд. техн. наук, доцент; кафедра «Электрические машины» Уральского государственного университета путей сообщения, Россия. E-mail: rasul2@e1.ru.

Rashit Yakhevich Suleymanov, PhD in Engineering, Associate Professor; Department «Electrical Machinery», Ural State University of Railway Transport, Russia, E-mail: rasul2@e1.ru

вращения которых, во-первых, зависит от нагрузки, во-вторых, при номинальном напряжении она значительно больше, чем требуется. На первом опытном вагоне скорость регулировалась, т.е. поддерживалась на постоянном уровне с помощью пусковых реостатов. Однако пусковые реостаты не рассчитаны на длительное протекание больших тяговых токов — быстро перегреваются.

Была поставлена задача: оборудовать тяговый привод импульсными регуляторами, которые могут регулировать его экономично на любой скорости движения. Кроме того, было принято решение создать поезд-пылесос в составе трех вагонов (двух моторных и одного вентиляторного). В моторных вагонах кроме тягового привода с тиристорными преобразователями размещались мощные винтовые компрессоры с преобразователями для запуска двигателей компрессоров и вентиляторов.

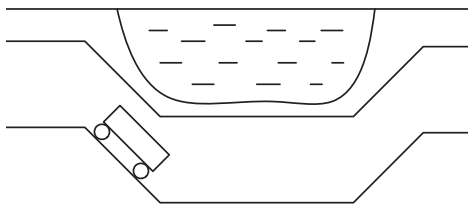


Рис. 1. Схема тоннеля метрополитена

Разработанные тиристорные преобразователи [1, 2] для тягового привода обеспечивают не только безреостатный пуск поезда, но и экономичное регулирование скорости движения в тяговом режиме и в режиме рекуперативного торможения. При рекуперативном торможении потребителями энергии служат двигатели привода вентиляторов и компрессоров.

Очистка тоннелей обычно осуществлялась в ночное время, в ночь с субботы на воскресенье. Управление поездом производилось по системе многих единиц из одной из двух кабин, расположенных в головах поезда.

Принцип работы тиристорного преобразователя и регулирования токов двигателей представлен в [3]. Скорость же

движения на уровне 5 км/ч на первом этапе осуществлялась машинистом с помощью контроллера по стрелочному speedometerу. Естественно, что точность поддержания необходимой скорости была недостаточной; значит, необходимо автоматизировать процесс поддержания заданной скорости очистки.

Принципиальных затруднений в стабилизации скорости как бы и нет, для этого нужен датчик скорости. В качестве таких датчиков могут быть использованы различного рода тахогенераторы и импульсные датчики скорости. Каждый из них имеет свои недостатки и требует своего способа установки на колесной паре.

В настоящее время в качестве датчика скорости на подвижном составе метрополитена применяют тахогенератор с трехфазной обмоткой переменного тока. Тахогенератор используют для стрелочного указателя скорости постоянного тока. Встроенный в тахогенератор мостовой выпрямитель обеспечивает работу указателя на всем диапазоне скоростей, и при скорости 80 км/ч выходное напряжение составляет 16 В. Поезд-пылесос же работает при низких скоростях (5 км/ч), и при этом выходное напряжение датчика остается небольшим и низким по частоте. Поэтому возникает проблема выпрямления напряжения на низких скоростях.

Первоначально для решения этой проблемы предполагалось использовать выпрямление с помощью операционных усилителей [4]. Процесс преобразования переменного напряжения в постоянное сводится к формированию однополярного напряжения и последующей его фильтрации с целью выделения постоянной составляющей, а также расширения линейного участка преобразования в сторону малых значений напряжения. Схема одного из таких преобразователей приведена на рис. 2.

При наличии интеллектуального блока управления возможно вычисление скорости движения и без установки специальных датчиков так же, как определяется срыв сцепления в противобоксо-

вочной защите [5]. В блоке управления имеется регулятор скорости, выходной сигнал которого является заданием для регулятора тока якоря. В тяговом приводе поезда-пылесоса регулирование тока якоря осуществляется по двухконтурной схеме (рис. 3).

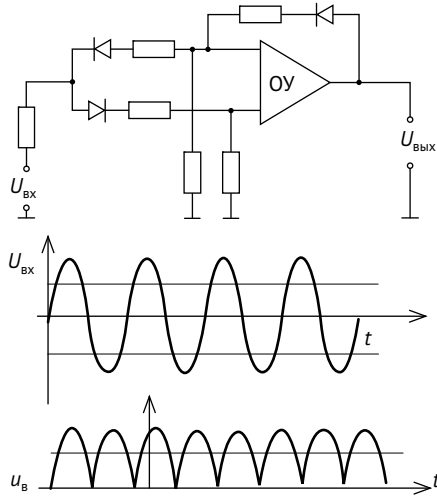


Рис. 2. Принципиальная схема двухполупериодного выпрямителя с операционным усилителем и диаграмма его работы

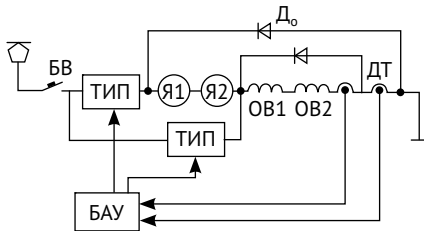


Рис. 3. Двухконтурная схема регулирования тока якоря

В соответствии с этой схемой, в цепи имеются сигналы по току якоря и по току возбуждения. Выходное напряжение регулятора по каналу тока якоря пропорционально напряжению на якоре. На основании этих сигналов может быть вычислена скорость вращения тяговых двигателей с учетом нелинейной магнитной характеристики тягового двигателя. ЭДС двигателя определяется по выражению

$$E = C \Phi n,$$

где Φ — магнитный поток; C — коэффициент, связывающий магнитный поток с ЭДС; n — скорость вращения якоря.

Напряжение, приложенное к двигателю (U_d), больше ЭДС на величину падения напряжения на сопротивлении обмотки якоря. Кроме того, магнитный поток создается током возбуждения. Ток возбуждения в тяговом режиме равен току якоря. Следовательно,

$$U_d = C_{\Phi} I_B n - R_{\text{я}} I_{\text{я}},$$

где $I_B, I_{\text{я}}$ — ток возбуждения и ток якоря.

Напряжение, приложенное к двигателю, регулируется тиристорным регулятором в зависимости от нагрузки с целью поддержания заданного значения тока якоря согласно передаточной функции

$$G_{\text{ОВ}}(p) = \frac{pT_{\text{Э}} + 1}{p\omega\sigma \frac{C_{\text{с}} K_{\Phi} V K_{\text{ДТЯ}} R_{\text{Т}}}{R_{\text{Э}} K_{\text{ДТВ}} R_{\text{З}}}}.$$

А напряжение тиристорного регулятора пропорционально выходному напряжению регулятора тока. Все эти напряжения — пропорциональное току якоря, току возбуждения и выходное напряжение регулятора тока — имеются внутри блока управления. Тогда скорость вращения якоря может быть вычислена по выражению

$$n = \frac{U_d - R_{\text{я}} I_{\text{я}}}{C_{\text{А}} I_{\text{Б}}}.$$

В таком случае напряжение, пропорциональное скорости вращения якоря, служит заданием для регулятора тока якоря, который будет поддерживать заданную скорость движения. Такой алгоритм вычисления скорости реализуется с помощью суммирующего устройства и нелинейного элемента, моделирующего кривую намагничивания тягового двигателя. Кроме того,

требуется устройство умножения переменных (рис. 4).

Особенностью регулирования скорости поезда-пылесоса является то, что регулятор скорости со своим датчиком должен быть один, а регуляторов тока — четыре (на каждый из преобразователей). При этом регулятор скорости располагается на одном из вагонов, на второй вагон посылается сигнал по межавгонным соединениям.

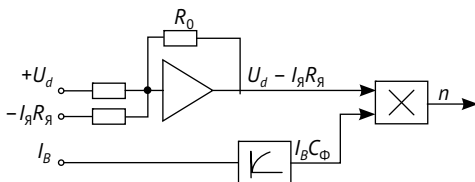


Рис. 4. Схема вычисления значения скорости

Регулятор скорости — общий на один блок управления, один блок управления является общим на два импульсных преобразователя, находящихся в одном вагоне. Регулятор скорости один на весь блок управления. Он представляет собой операционный усилитель с обратной связью, соответствующей ПИ-регулятору. На один вход подается напряжение задания скорости с одним знаком, на другой — с другим знаком с соответствующего датчика скорости.

Рассмотрим особенности регулирования скорости поезда-пылесоса с целью поддержания заданной постоянной скорости движения. Предположим, что поезд трогается с места. Напряжение датчика скорости равно нулю. Напряжение задания начинает расти по закону, определяемому задатчиком интенсивности разгона. Ток якоря также увеличивается, поезд начинает двигаться. При достижении заданной скорости, ток якоря понижается до необходимого для поддержания скорости уровня.

Если скорость движения превысит заданную при минимальном токе, то выходное напряжение регулятора скорости меняет свою полярность, как бы пытаясь изменить полярность тока якоря на противоположное, т.е. тормозное. Од-

нако тяговый привод последовательно возбуждения не имеет свойства автоматического перехода в режим торможения и обратно. Поэтому приходится принимать специальные меры для осуществления этих переходов. С этой целью в схему вводятся релейные элементы, называемые как реле выбега и торможения.

Устойчивая работа регулятора скорости определяется не только устойчивостью регулирования, но и качеством переходного процесса при первом включении режима регулирования скорости. Здесь могут быть две ситуации. Первая — поезд-пылесос стоит на месте, вторая — поезд уже движется со скоростью большей или меньшей, чем та, которая требуется.

В первой ситуации даже при нулевой скорости выходное напряжение датчика скорости из-за дрейфа усилителя датчика скорости не будет равно нулю. Поэтому и выходное напряжение регулятора скорости будет равно не нулю, а скорее, максимальному значению из-за интегрирующих свойств регулятора. Включение режима регулирования в такой ситуации вызовет толчок и силы тяги, так как на регулятор тока якоря проходит максимальная уставка. Для исключения такой ситуации интегрирующий конденсатор регулятора скорости шунтируется контактами реле до самого момента включения режима, удерживая на выходе регулятора скорости напряжение, близкое к нулю. Напряжение уставки скорости при запуске поднимается плавно, с постоянной времени, близкой к трем секундам. При этом происходит плавный пуск и выход на заданную скорость.

Во второй ситуации на выходе датчика скорости уже будет напряжение, а напряжение уставки равно нулю. Это будет воспринято регулятором как сигнал к торможению, и поезд будет сначала заторможен, а затем уже выведен на заданную скорость.

Если использовать один регулятор на весь поезд, то приходится передавать сигнал с выхода регулятора скорости

по межвагонным соединителям. Этот сигнал подвергается всякого рода помехам. Есть другой вариант, возникающий из принципа симметрии. На обоих моторных вагонах устанавливаются свои регуляторы скорости. Однако при этом создается, казалось бы, конфликтная ситуация: два регулятора регулируют одну и ту же скорость. Естественно, их невозможно отрегулировать на одну и ту же скорость движения. И здесь возникает непредвиденная полезная ситуация, направленная на снижение потерь в преобразователях.

Алгоритм действия такой системы следующий. При трогании поезда с нулевой скорости оба регулятора выставляют верхние пределы токов тяговых двигателей. Когда скорость движения достигает уставки скорости того из ре-

гуляторов, у которого она ниже, регулятор снижает ток своих преобразователей вплоть до их закрытия. Второй регулятор продолжает поддерживать скорость, если сила тяги для этого достаточна. Если нагрузка возрастает и максимальной силы тяги перестает хватать, скорость начинает падать. Тогда подключается первый регулятор и берет управление на себя, другой же преобразователь работает с полной нагрузкой [6].

В том случае, когда меняется профиль пути на уклон, а скорость движения начинает превышать заданный уровень, то регуляторы переводят свои преобразователи в режим торможения.

Описанный поезд пылесос был доведен до опытной эксплуатации и показал удовлетворительные результаты. ■

Литература

1. А.с. № 1372565 СССР. МКИ³ Н 02 Р 3/14. Электропривод / Р.Я. Сулейманов, Ю.А. Шевцов, М.Я. Волосов. Оpubл. 07.02. 88 — Бюл. № 5.
2. Сулейманов Р.Я., Пуговкин Е.В. Динамика управления тяговым приводом постоянного тока с электронно-импульсным регулированием в режиме стабилизации скорости / Вестник УрГУПС. 2010. № 1. С. 40–48. ISSN 2079–0392.
3. Сулейманов Р.Я. Аккумуляторный электровоз для метрополитена // Транспорт Урала. 2005. № 2 (5). ISSN 1815–9400.
4. Овласюк В.Я., Зимаков В.А. и др. Интегральные микросхемы в устройствах автоматики и защиты тяговых сетей / Транспорт. 1985. С. 62.
5. Сулейманов Р.Я., Пуговкин Е.В. Противобоксовочная защита при импульсном автоматическом регулировании тягового привода / Вестник УрГУПС. 2010. № 4. С. 23–29. ISSN 2079–0392.
6. А.с. № 989725 СССР. М. Кл³. Н 02 Р 5/06. Устройство для регулирования скорости тягового электродвигателя / Р.Я. Сулейманов, Ю.А. Шевцов. Оpubл. 15.01.83 — Бюл. № 2.

References

1. A.s. № 1372565 USSR. MKI³ N 02 R 3/14. Elektroprivod [Electric drive] / R. Ya. Suleymanov, Yu. A. Shevtsov, M. Ya. Volosov. Opubl. 07.02. 88 — Bul. № 5.
2. Suleymanov R. Ya., Pugovkin E. V. Dinamika upravleniya tyagovym privodom postoyannogo toka s elektronno-impulsnym regulirovaniem v rezhime stabilizatsii skorosti [Control dynamics of DC traction drive with electron pulse regulation in speed stabilization mode] // Herald of USURT. 2010. № 1. P. 40–48. ISSN 2079–0392.
3. Suleymanov R. Ya. Akkumulyatornyy elektrovoz dlya metropolitena [Battery locomotive for underground] // Transport of the Urals. 2005. № 2 (5). ISSN 1815–9400.
4. Ovlasjuk V. Ya., Zimakov V. A. et al. Integralnye mikroskemy v ustroystvakh avtomatiki i zashchity tyagovykh setey [Integrated circuits in automation and protection devices of traction networks] / Transport. 1985. P. 62.
5. Suleymanov R. Ya., Pugovkin E. V. Protivoboksovochnaya zashchita pri impulsnom avtomaticheskom regulirovanii tyagovogo privoda [Anti-skid protection with pulsed automatic control of traction drive] // Herald of USURT. 2010. № 4. P. 23–29. ISSN 2079–0392.
6. A.s. № 989725 USSR. M. Kl³. N 02 R 5/06. Ustroystvo dlya regulirovaniya skorosti tyagovogo elektrodvigatelya [An apparatus for controlling the speed of traction motor] / R. Ya. Suleymanov, Yu. A. Shevtsov. Opubl. 15.01.83. — Bul. № 2.

Статья сдана в редакцию 21 мая 2014 года

УДК 629.463.65

В. Ф. Лапшин, К. О. Долгих

Обоснование профиля обшивки подвижного состава

UDC 629.463.65

V. F. Lapshin, K. O. Dolgikh

Rationale for rolling stock lining profile

Аннотация

В статье рассмотрены варианты конструктивного исполнения обшивки подвижного состава с высотой кузова 2365 мм. Отмечены принципиальные отличия типовой обшивки из профилей с периодическими гофрами от обшивки из гладкого профиля и со сквозными гофрами.

Основная цель работы — обоснование возможности применения профилей со сквозными гофрами исходя из условия обеспечения сохранности при воздействии вибрационной нагрузки. В качестве критерия оценки принимается условие обеспечения сохранности обшивки кузова за межремонтный период при воздействии на конструкцию кузова полувагона вибрационной нагрузки.

Решение поставленной задачи выполнялось при помощи виртуальной модели «вибромашина — кузов полувагона — тележка». В основу построения модели положен метод гибридного моделирования, в рамках которого в модель динамики механических систем включаются не только абсолютно твердые тела, связанные посредством шарниров и силовых элементов, но и упругие тела. При формировании виртуальной модели механической системы использовалось контактное взаимодействие типа «точка — плоскость».

На основе многовариантного численного эксперимента показано, что замена обшивки с периодическими гофрами на профиль с продольными сквозными гофрами позволяет почти вдвое расширить зону, свободную от собственных частот колебаний. Наиболее предпочтительный вариант — конструкция, имеющая стойки, выполненные из швеллера № 20В-2.

Показано, что применение в конструкциях подвижного состава профилей со сквозными гофрами позволяет снизить уровень напряжений в углах гофров на 21 %, а в зонах приварки к стойкам — на 35%. Отказ от профилей с периодическими гофрами позволяет исключить зависание груза в гофрах и практически обеспечить возможность использования вибротехники при разгрузочных операциях в течение всего межремонтного периода. Для рассматриваемых вариантов численным экспериментом определено допустимое количество циклов нагружения за межремонтный период.

Ключевые слова: полувагон, обшивка кузова, вибромашина, виртуальная модель, численный эксперимент, усталостная прочность, цикл нагружения.

Summary

The article describes various lining options for rolling stock with body height 2365 mm. Fundamental differences between standard lining made of profiles with periodic corrugations and smooth profile lining with through corrugations are highlighted.

The main objective of the paper is to study the possibility of applying profiles with through corrugations to ensure safety when exposed to vibration loads. Evaluation criterion is the preservation of body lining integrity during overhaul period when gondola body is exposed to vibration loads.

The problem has been solved using the virtual model «Vibrator — gondola body — bogey». The model is built based on hybrid simulation method, in which the dynamic model of mechanical system includes not only rigid bodies connected by joints and bearing members, but also by elastic members. During construction of the virtual model of mechanical system, contact interaction of the type «point — plane» has been used.

On the basis of multivariate numerical experiment it is shown that the replacement of lining with periodic corrugations with profile with longitudinal through corrugations allows to twice extend the zone free of natural oscillation frequencies. The most preferred option is the structure with uprights made of channel № 20В-2.

It is shown that the use of profile with longitudinal through corrugations in rolling stock structures allows to reduce the stress level in the corners of corrugations by 21 %, and in the areas of welding to uprights — by 35 %. Abandonment of profiles with periodic corrugations eliminates cargo sticking in corrugations and practically allows the use of vibration machinery in unloading operations throughout the entire overhaul period. Using numerical experiment, the amount of allowable loading cycles for the overhaul period is determined for the options under consideration.

Keywords: gondola car, body lining, vibrator, virtual model, numerical experiment, fatigue strength, loading cycle.

Василий Федорович Лапшин, д-р техн. наук, профессор; кафедра «Вагоны» Уральского государственного университета путей сообщения; Екатеринбург, Россия. E-mail: VLapshin@usurt.ru.

Константин Олегович Долгих, ассистент; кафедра «Вагоны» Уральского государственного университета путей сообщения; Екатеринбург, Россия. E-mail: DolgikhKO@yandex.ru.

Vasilii Fedorovich Lapshin, DSc in Engineering, Professor, Department «Railway Cars», Ural State University of Railway Transport, Ekaterinburg E-mail: VLapshin@usurt.ru.

Konstantin Olegovich Dolgikh, assistant; Department «Railway Cars», Ural State University of Railway Transport, Ekaterinburg, Russia. E-mail: DolgikhKO@yandex.ru.

Современное состояние в сфере производства полувагонов — наиболее универсального и востребованного подвижного состава — характеризуется расширением номенклатуры, конструктивных исполнений их элементов, в том числе и профилей обшивки кузова.

Не претендуя на полноту изложения материала по возможным профилям обшивки, применяемых в конструкциях полувагонов, приведем краткий анализ наиболее распространенных вариантов их исполнения (рис. 1).

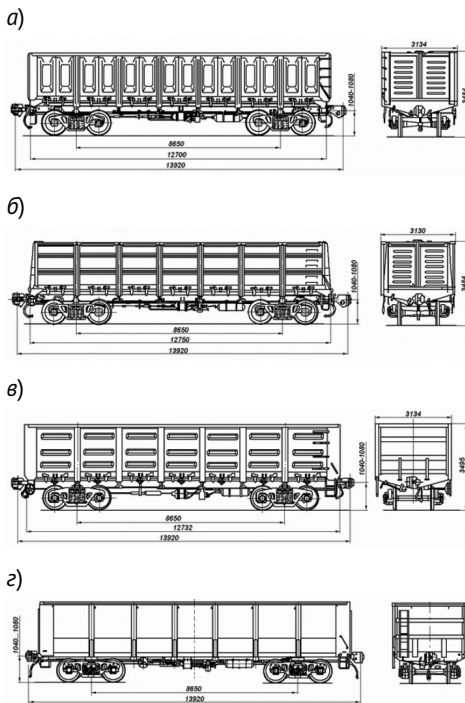


Рис. 1. Варианты исполнения обшивки полувагонов

а — вариант 1, с корытообразными выштамповками/стойки: Ω -профиль; б — вариант 2, с продольными сквозными гофрами/стойки: Ω -профиль; в — вариант 3, с продольными периодическими гофрами/стойки: Ω -профиль; г — вариант 4, гладкий лист/стойки: швеллер

Применение корытообразных выштамповок в обшивке первых цельнометаллических вагонов, наряду с увеличением жесткости боковой стены, преследовало цель увеличения объема кузова. Однако, как показала практика,

при перевозке сыпучих и навалочных грузов в выштамповках наблюдалось большое количество остатков грузов, требующих дополнительных затрат при очистке кузова. Варианты с продольными гофрами также обладают как положительными, так и негативными моментами. Кузов с продольными сквозными гофрами, направленными внутрь (рис. 1, б), обладает высокой изгибной и продольной жесткостью, а также технологичностью при изготовлении. Такое расположение гофров существенно уменьшает ширину вагона в свету.

Альтернативой данной конструкции служат полувагоны с периодическими продольными гофрами (рис. 1, в). Такой профиль обшивки имеет наиболее распространенная модель полувагона 12-132. Более 90 % таких полувагонов имеют отрывы листов обшивки от стоек боковой стены и трещины до 200 мм в углах верхнего и среднего гофров первой и второй панелей. Основная причина повреждений обшивки — увеличение интенсивности подачи вагонов в замкнутых маршрутах под разгрузку с применением вибромашин [1, 2]. Возникновению подобных повреждений также способствует наличие самих гофров глубиной 36 мм и являющихся концентраторами напряжений.

Одним из путей устранения подобных повреждений служит замена гофрированной обшивки на обшивку из гладкого листа (рис. 1, г). Несмотря на увеличение ресурса, такая обшивка имеет недостаточную изгибную жесткость, которая приводит к ее выпучиванию между стойками. Кроме того, за счет большей толщины листа обшивки увеличивается масса тары полувагона [3]. В настоящее время вагоностроительные заводы переходят на выпуск полувагонов с обшивкой из профиля со сквозными продольными гофрами глубиной 10 ± 2 мм. Так, согласно ТУ 14-101-789-2008 [4], верхние и нижние листы обшивки боковой стены полувагона модели 12-132 могут быть изготовлены с применением двух профилей — с периодически повторяющимися гофрами и сквозными гофрами.

Верхний лист обшивки изготавливается толщиной 3,6 мм из низколегированных марок сталей 09Г2 класса прочности 295 и 09Г2С класса прочности 345. Нижний лист — из листового профиля толщиной 4,5 (4,0) мм. В качестве стоек у отдельных моделей полувагонов наблюдается применение швеллеров № 20В, 20В-1, 20В-2 по ГОСТ 5267.1–90 взамен Ω -профиля.

Существует еще один аспект, влияющий на надежность обшивки кузова, — способ крепления листов обшивки к стойкам. Так, существующая технология производства в ОАО «НПК «Уралвагонзавод» предусматривает два варианта крепления: прерывистым швом и контактной точечной сваркой. В рамках данной работы рассматривается проблема выбора только профиля обшивки, не затрагивая способ ее крепления к стойкам.

Несмотря на существование проблемы выбора профиля обшивки и многообразие применяемых вариантов, практически нет публикаций по этой тематике. Исключение составляют немногочисленные работы ОАО «НПК «Уралвагонзавод», МГТУ, УрГУПС [1–3, 5].

В заключение краткого обзора формулируем цель настоящей работы, которая заключается не столько в конструктивной проработке подвижного состава с высотой кузова 2365 мм, сколько в обосновании возможности применения профилей с продольными сквозными гофрами и определении путей повышения эксплуатационной надежности при воздействии вибрационной нагрузки. В качестве критерия оценки принимается условие обеспечения сохранности обшивки кузова за межремонтный период при воздействии на конструкцию кузова полувагона вибрационной нагрузки.

Методика исследования нагруженности кузова полувагона

Решение задачи, поставленной в работе, выполнялось при помощи виртуальной модели механической системы «вибромашина — кузов полувагона — тележка» [6]. В основу построения мо-

дели положен метод гибридного моделирования, в рамках которого в модель динамики механических систем допускается включать не только абсолютно твердые тела, связанные посредством шарниров и силовых элементов, но и упругие тела. Модель рассматриваемой механической системы включает три подмодели:

«вибромашина», реализованная в аналитической программной среде УМ [7] в виде двух взаимосвязанных твердых тел. Одно из тел является рабочим органом — дебалансом, а другое — рамой вибромашин. Тела связаны между собой посредством вращательного шарнира, а угловая скорость вращения дебаланса задавалась как функция времени;

«кузов полувагона» — конечно-элементная модель (КЭМ), сформированная средствами программного комплекса ANSYS [8]. Для учета упругих свойств в комплексе УМ использовался модуль программирования упругих тел UMFEM;

«тележка», представляющая собой систему твердых тел, связанных силовыми элементами и шарнирами [9].

Полученная виртуальная модель механической системы «вибромашина — кузов полувагона — тележка», объединяющая описанные подмодели, представлена на рис. 2.

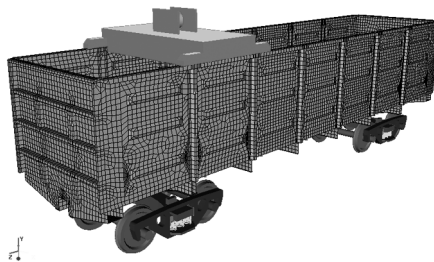


Рис. 2. Виртуальная модель механической системы «вибромашина — кузов — тележка»

При формировании виртуальной модели механической системы использовалось контактное взаимодействие типа «точка — плоскость», входящее

в стандартный набор программных процедур УМ. При этом контакт между моделями считался односторонним, а плоскость контакта неограниченной.

Представленная модель может быть использована при анализе режимов нагружения кузова вынуждающей силой и истечения груза, выборе параметров вибромашины, проверке требований сохранности вагонов [6].

Применительно к решаемой задаче алгоритм исследования включал следующие этапы:

- атрибуция собственных частот и форм колебаний для определения интервалов свободных от собственных частот колебаний для исключения явления резонанса;
- оценка степени силового воздействия вибромашины на кузов при разгрузке, получение значений вибронапряжений;
- нахождение допускаемого времени (до появления усталостного повреждения) нагружения кузова вагона вынуждающей силой вибромашины. Общее число циклов динамических напряжений N за межремонтный период определялось в соответствии с [10].

При формировании плана эксперимента по выбору профиля обшивки (таблица 1) исходили из следующих условий: существующая номенклатура профилей; минимальное сопротивление истечению груза.

В соответствии с планом эксперимента были разработаны КЭМ кузовов полувагона, отражающие конструктивные особенности боковых стен, — профиль обшивки, тип стоек. В расчетах принимались следующие параметры вибромашины: тип машины — накладная, амплитуда вынуждающей силы, кН — 88, масса, кг — 7500, частота нагружения, Гц — 24. Вибромашина устанавливалась над первой тележкой с перекрытием опорными поверхностями двух стоек (шкворневой и первой промежуточной).

Оценка ресурса рассматриваемых вариантов обшивки, выполнялась по [10] с последующим пересчетом на возможное количество циклов и допускаемое время нагружения полувагона вибрационной нагрузкой.

Результаты численного моделирования нагруженности обшивки кузова

На первом этапе в работе выполнен расчет собственных частот и форм колебаний рассматриваемых конструкций кузова (таблица 2). Наличие элементов жесткости в форме повторяющихся периодических гофров (вариант 1) существенно сужает зону свободную от собственных частот колебаний. Как показано в работе [11], при $S_v = 1,8$ Гц возможен переход в резонансный режим взаимодействия кузова и вибромашины. Это может быть обусловлено зависанием груза в гофрах, разбалансировкой

Таблица 1

План численного эксперимента по выбору профиля обшивки

| № варианта | Профиль стойки | Профиль листа обшивки | Толщина верхнего листа, мм | Толщина нижнего листа, мм |
|------------|-----------------------------|--|----------------------------|---------------------------|
| 1 | Ω-профиль по ГОСТ 5267.6–90 | Продольные периодические гофры по ТУ 14-101-789–2008 | 3,6 | 4,5 |
| 2 | Ω-профиль по ГОСТ 5267.6–90 | Гладкие листы | 3,6 | 4,5 |
| 3 | Ω-профиль по ГОСТ 5267.6–90 | Продольные сквозные гофры по ТУ 14-101-789–2008 | 3,6 | 4,5 |
| 4 | Швеллер № 20-B2 | Продольные сквозные гофры по ТУ 14-101-789–2008 | 3,6 | 4,5 |
| 5 | Швеллер № 20-B2 | Продольные сквозные гофры по ТУ 14-101-789–2008 | 3,6 | 4,0 |

вибромашины, изменением геометрии и массы элементов вследствие погрузо-разгрузочных и ремонтных работ.

Таблица 2

Собственные частоты на границах рабочего интервала вибромашины

| № варианта | 1 | 2 | 3 | 4 | 5 |
|----------------------------------|------|------|------|------|------|
| $\nu_{\text{лев}}, \text{Гц}$ | 22,7 | 19,1 | 23,1 | 23,2 | 23,2 |
| $\nu_{\text{прав}}, \text{Гц}$ | 24,5 | 26,5 | 25,8 | 26,8 | 26,4 |
| Ширина зоны $S_{\nu}, \text{Гц}$ | 1,8 | 7,6 | 2,7 | 3,6 | 3,2 |

Замена обшивки с периодическими гофрами на профиль с продольными сквозными гофрами позволяет до двух раз расширить зону, свободную от собственных частот колебаний. Причем наиболее предпочтительным вариантом является конструкция, имеющая стойки, выполненные из швеллера № 20В-2 (варианты 4, 5). На рис. 3 приведены формы колебаний кузова с гладкой обшивкой (вариант 3) на левой и правой границах интервала, свободного от собственных частот колебаний. Этот вариант конструкции, несмотря на отмеченные недостатки, имеет лучшие показатели и практически исключает вероятность работы кузова в резонансном режиме при разгрузке с применением вибромашин.

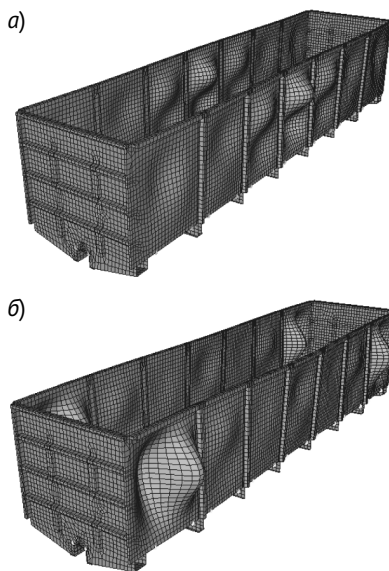


Рис. 3. Формы собственных колебаний кузова с гладкой обшивкой
а — частота $\nu = 19,1 \text{ Гц}$; б — частота $\nu = 26,5 \text{ Гц}$

При определении допускаемого количества циклов нагружения результат во многом зависит от принятого в расчетах допускаемого коэффициента запаса усталостной прочности $[n]$. Для элементов кузова значения коэффициента $[n]$ зависят от надежности исходных данных и типа элемента кузова [10]. Учитывая это, для обшивки кузова в работе допускаемое значение принималось равным $[n] = 1,5$. В таблице 3 приведены значения максимальных напряжений σ_{ai} .

Таблица 3

Расчетные значения времени до наступления усталостного повреждения в точках с максимальными напряжениями (вторая панель под вибромашиной, рис. 2)

| № вар-та | Элемент кузова | $\sigma_{ai}, \text{МПа}$ | $t, \text{мин}$ |
|----------|--|---------------------------|-----------------|
| 1 | Угол среднего гофра | 33 | 4066 |
| | Средний гофр в зоне приварки листа к шкворневой стойке | 69 | 213 |
| 2 | Лист в зоне приварки к верхней обвязке | 57 | 457 |
| | Лист в зоне приварки к нижней обвязке | 34 | 3608 |
| 3 | Лист в зоне приварки к нижней обвязке и шкворневой стойки | 55 | 527 |
| | Нижний гофр в зоне приварки листа к шкворневой стойке | 42 | 1550 |
| 4 | Нижний гофр в зоне приварки листа к шкворневой стойке | 36 | 2871 |
| | Лист в зоне приварки к шкворневой стойке под нижним гофром | 30 | 5953 |
| 5 | Нижний гофр в зоне приварки листа к шкворневой стойке | 38 | 2312 |
| | Лист в зоне приварки к шкворневой стойке под нижним гофром | 33 | 4066 |

и времени t до наступления усталостного повреждения в элементах обшивки кузова второй панели. Эпюра распределения напряжений по высоте листа, иллюстрирующая наиболее нагруженные зоны обшивки, приведена на рис. 4.

Как видно из таблицы 3, варианты обшивки 4 и 5 со сквозными гофрами более предпочтительны, поскольку такое техническое решение позволяет в среднем снизить уровень напряжений в зонах приварки обшивки к стойкам более чем на 35 % и на 21 % — для углов горизонтальных гофров. Для варианта 2 — с гладкой обшивкой — наиболее нагруженной является зона приварки листа к верхней обвязке, где время до наступления усталостного повреждения не превышает 500 мин, что составляет около 5–6 мес. эксплуатации вагонов в замкнутых маршрутах [11].

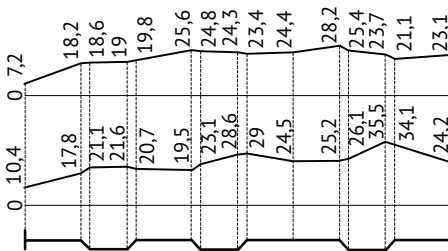


Рис. 4. Эпюра максимальных напряжений в листах обшивки, выполненной по варианту 5 (вторая панель, повернуто на 90° против часовой стрелки)

Основное преимущество профилей со сквозными гофрами — исключение зависания груза в выштамповках, что обычно для полувагонов с обшивкой из листов с периодическими горизонтальными гофрами. В работе выполнен расчет напряжений в обшивке, выполненной по 1 варианту таблицы 1, при зависании груза в гофрах. В этом случае в углах верхнего гофра максимальные напряжения достигают $\sigma_{ai} = 100$ МПа, а допускаемое время воздействия на полувагон вибрационной нагрузкой снижается до 46 мин, что подтверждается результатами эксплуатационных испытаний [1].

На основе выполненных в работе численных экспериментов показано, что применение в конструкции профилей со сквозными гофрами позволяет снизить в среднем уровень напряжений в углах гофров на 21 %, а в зонах приварки к стойкам — на 35 %. Отказ от профилей с периодическими гофрами позволяет исключить зависание груза в гофрах и практически обеспечить возможность использования вибротехники при разгрузочных операциях в течение всего межремонтного периода.

Полученные результаты позволяют рассматривать обшивку из профилей со сквозными гофрами и стойками из швеллера № 20В-2 как наиболее целесообразную для полувагонов с высотой кузова 2365 мм. ■

Литература

1. Лапшин В. Ф., Сендеров Г. К., Свердлов В. Б., Черепов О. В., Поздина Е. А., Глухих А. Н. Эксплуатационные испытания опытных полувагонов модели 12-132-03 на Свердловской железной дороге // Железнодорожный транспорт (Сер. : Вагоны и вагонное хозяйство. Ремонт вагонов). — ОИ/ЦНТИ ОАО «РЖД», 2006. — Вып. 3–4. — С. 30–39.
2. Долгих К. О., Лапшин В. Ф. Экспериментальное исследование вибронагруженности кузова полувагона // Вестник транспорта Поволжья. 2012. № 2. — С. 44–50. ISSN 1997–0722.
3. Демин К. П., Агинских М. В., Чирков А. В., Даниленко Д. В. Повышение ресурса обшивы боковой стены полувагона / В сб. : «Подвижной состав XXI века: идеи, требования, проекты». — СПб : ПГУПС, 2009. — С. 52–55.
4. ТУ 14-101-789–2008. Профили стальные высокой жесткости с периодическими повторяющимися и сквозными гофрами. Технические условия / Дата введ. : 01.07.2008. — ОАО «Магнитогорский металлургический завод», 2008. — 26 с.
5. Солодова Е. М., Шемшурова Н. Г., Локотунина Н. М. Пути улучшения потребительских свойств профиля обшивы грузового полувагона // Вестник МГТУ. 2008. № 3. С. 38–40. ISSN 1560–9278.

6. Долгих К. О., Лапшин В. Ф. Методика компьютерного моделирования нагруженности механической системы «вибромашина — кузов вагона — тележка» // Транспорт Урала. 2012. № 2. С. 53–57. ISSN 1815–9400.
7. Программный комплекс «Универсальный механизм» : руководство пользователя. В 4-х ч. — Брянск : Изд-во БГТУ, 2001.
8. Каплун А. Б., Морозов Е. М., Олферьева М. А. ANSYS в руках инженера : практическое руководство. Изд. 2-е, испр. М. : Едиториал УРСС, 2004. — 272 с.
9. Павлюков А. Э. Виртуальное моделирование нагруженности деталей тележек грузовых вагонов на этапах проектирования // Транспорт Урала. 2004. № 1. С. 27–33. ISSN 1815–9400.
10. Нормы для расчета и проектирования вагонов железных дорог МПС колеи 1520 мм (несамоходные). — М. : ГосНИИВ-ВНИИЖТ, 1996. — 319 с.
11. Лапшин В. Ф., Долгих К. О. Совершенствование конструкции кузова полувагона из условия обеспечения сохранности при виброразгрузке // Транспорт Урала. 2013. № 1. С. 54–59. ISSN 1815–9400.

References

1. Lapshin V. F., Senderov G. K., Sverdlov V. B., Cherepov O. V., Pozdina E. A., Glukhikh A. N. Ekspluatatsionnye ispytaniya opytnykh poluvagonov modeli 12-132-03 na Sverdlovskoy zheleznoy doroze [Operational testing of experimental railcars of the «12-132-03» model on Sverdlovsk railway] // Zheleznodorozhny transport (Series : Vagony i vagonnoe khozyaystvo. Remont vagonov). — OI/TsNTI OAO «RZhD», 2006. — Issue 3–4. — P. 30–39.
2. Dolgikh K. O., Lapshin V. F. Eksperimentalnoe issledovanie vibronagruzhenosti kuzova poluvagona [Experimental study of vibration load of gondola car] // Vestnik transporta Povolzhya. 2012. № 2. — P. 44–50. ISSN 1997–0722.
3. Demin K. P., Aginskikh M. V., Chirkov A. V., Danilenko D. V. Povyshenie resursa obshivy bokovoy steny poluvagona [Improving resource of gondola car side casing] / Collection of works : «Podvizhnoy sostav XXI veka: idei, trebovaniya, proekty». — SPb: PGUPS, 2009. — P. 52–55.
4. TU 14-101-789–2008. Profili stalnye vysokoy zhestkosti s periodicheskimi povtoryayushchimisya i skvoznymi goframami. Tekhnicheskie usloviya [High rigidity steel profiles with periodic repetitive and thorough corrugations. Specifications] / Implementation date : 01.07.2008. — OAO «Magnitogorskiy metallurgicheskiy zavod», 2008. — 26 p.
5. Solodova E. M., Shemshurova N. G., Lokotunina N. M. Puti uluchsheniya potrebitelskikh svoystv profilya obshivy gruzovogo poluvagona [Ways to improve consumer properties of gondola casing] // Vestnik MGTU. 2008. № 3. P. 38–40. ISSN 1560–9278.
6. Dolgikh K. O., Lapshin V. F. Metodika kompyuternogo modelirovaniya nagruzhenosti mekhanicheskoy sistemy «vibromashina — kuzov vagona — telezhka» [A computer simulation method to simulate load in the mechanical system «Vibrator-car body-bogey»] // Transport of the Urals. 2012. № 2. P. 53–57. ISSN 1815–9400.
7. Programmnyy kompleks «Universalny mekhanizm» : rukovodstvo polzovatelya [Software package «Universal Mechanism». User Manual]. In 4 volumes. — Bryansk : Publishing house BGUTU, 2001.
8. Kaplun A. B., Morozov E. M., Olfer'eva M. A. ANSYS v rukakh inzhenera : prakticheskoe rukovodstvo. Izd. 2-e, ispr. [ANSYS in the hands of an engineer : a practical guide. 2nd revised edition]. M. : Editorial URSS, 2004. — 272 p.
9. Pavlyukov A. E. Virtualnoe modelirovanie nagruzhenosti detaley telezhek gruzovykh vagonov na etapakh proektirovaniya [Virtual simulation of loading of freight car bogey parts during design stages] // Transport of the Urals. 2004. № 1. P. 27–33. ISSN 1815–9400.
10. Normy dlya rascheta i proektirovaniya vagonov zheleznykh dorog MPS kolei 1520 mm (nesamokhodnye) [Norms for calculation and design of railway cars of the Ministry of Railways with gauge 1520 mm (non-self propelled)]. M. : GosNIIV–VNIIZhT, 1996. — 319 p.
11. Lapshin V. F., Dolgikh K. O. Sovershenstvovanie konstruktssii kuzova poluvagona iz usloviya obespecheniya sokhrannosti pri vibrorazgruzke [Improving design of gondola car body with account to maintaining safety during vibration load] // Transport of the Urals. 2013. № 1. P. 54–59. ISSN 1815–9400.

Статья сдана в редакцию 28 февраля 2014 года

Управление в технических системах

УДК 625. 1

Г. Л. Аккерман, С. Г. Аккерман

Энергетика криволинейных участков железнодорожного пути

UDC 625. 1

G. L. Akkermann, S. G. Akkerman

Energy of railway curved sections

Аннотация

Для криволинейных участков железнодорожного пути на некоторых направлениях может достигать 45% и более от общей длины, хотя в среднем по сети дорог она занимает около 25%. Известны недостатки криволинейных участков, которые являются функцией кривизны или радиуса в данной точке кривой, возвышением наружного рельса и скорости поезда. Сила тяги локомотива при полном использовании его мощности обратно пропорциональна скорости поезда, примерно в таком же соотношении к скорости находится и удельная равнодействующая всех сил, действующих на поезд, параллельно его движению.

Отсюда возникает задача: найти такую последовательность значений кривизны (радиусов) вдоль криволинейного участка, при котором затраты энергии на тягу были бы минимальны.

Для решения этой задачи криволинейный участок заменяется виртуальным подъемом, конечная отметка которого определяется уклонами, эквивалентными удельному сопротивлению от кривой на разных частях этого участка.

Заменяв критерий «расход энергии» минимизацией эквивалентного ему критерия «шум ускорения» на основе теории вариационного исчисления было получено очертание «энергооптимального профиля», т.е. профиля, при движении по которому затраты энергии минимальны. Перейдя от уклонов к радиусам в каждой точке по формуле

$$R = \frac{700}{i}$$

рассматриваемого участка, получили его энергооптимальное очертание.

Анализ полученных результатов показал, что при равномерном движении поезда радиус кривой на всем участке должен быть постоянен и больше радиуса круговой кривой в

$$\left(1 + \frac{l_{\text{пк}}}{K}\right)$$

раз, где K — длина круговой кривой, а $l_{\text{пк}}$ — то же, но переходной кривой. Из этих кривых обычно состоит криволинейный участок железнодорожного пути.

Ключевые слова: круговая кривая; переходные кривые; криволинейный участок пути; виртуальный подъем; энергооптимальный профиль пути.

Геннадий Львович Аккерман, д-р техн. наук, профессор; зав. кафедрой «Путь и железнодорожное строительство» Уральского государственного университета путей сообщения; Екатеринбург, Россия. E-mail: GAkkerman@usurt.ru.

Сергей Геннадьевич Аккерман, канд. техн. наук, доцент; кафедра «Путь и железнодорожное строительство» Уральского государственного университета путей сообщения; Екатеринбург, Россия. E-mail: SAkkerman@usurt.ru.

Gennadiy Lvovich Akkerman, DSc in Engineering, Professor; Head of the Department «Railway Construction and Railway Track», Ural State University of Railway Transport, Ekaterinburg, Russia. E-mail: GAkkerman@usurt.ru.

Sergey Gennadevich Akkerman, PhD in Engineering, Associate Professor; Department «Railway Construction and Railway Track», Ural State University of Railway Transport, Ekaterinburg, Russia. E-mail: SAkkerman@usurt.ru.

Summary

The share of curved sections of the railway track on some routes can reach 45% or more of its total length, although the average for the road network is about 25%. Disadvantages of curved sections are well known, being a function of the curvature or radius at this point of the curve, cant and train speed. Locomotive traction force at full power is inversely proportional to the train speed; the ratio between the specific resultant of all forces acting on the train in parallel to its motion and its speed is roughly the same.

This raises the problem of finding a sequence of curvature values (radii) along the curved section at which traction energy consumption would be minimal.

To solve this problem, the curved portion is replaced by virtual rise, the final mark of which is determined by slopes, equivalent to specific resistivity from the curve on different parts of this section.

Replacing the criterion of «energy consumption» by minimization of equivalent criterion «acceleration noise», based on the theory of variational calculus an outline of «energy-optimal

profile» has been obtained, i.e. the movement profile for which energy consumption is the lowest. Switching from slopes to radii at every point using formula

$$R = \frac{700}{i}$$

of the area under consideration, its energy-optimal shape is obtained.

Analysis of the results showed that at uniform train motion the curve radius over the entire section must be constant and greater than the radius of circular curve by

$$\left(1 + \frac{l_{\text{пк}}}{K}\right)$$

times, where K — the length of the circular curve, and $l_{\text{пк}}$ is the same indicator for the transition curve. Usually, curved railway track section consists of these curves.

Keywords: circular curve; transition curves; curved track sections; virtual rise; energy-optimal track profile.

Криволинейные участки на сети железных дорог общего пользования в РФ занимают в среднем около 25%, однако между Екатеринбург и Пермью она близка к 45%.

Обычно (рис. 1, а) криволинейный участок состоит из круговой кривой радиуса R и двух переходных кривых, в пределах каждой из которых кривизна

изменяется от 0 на прямой до $\frac{1}{R}$ в кру-

говой кривой. В последнее время появились работы, например, [2, 3, 5, 6], где доказывается целесообразность проектирования криволинейного участка двумя переходными кривыми, без круговой кривой, так называемое биклотоидное проектирование (рис. 1, б).

Общая длина криволинейного участка в случае (а) равняется $S_k = K + l_{\text{пк}}$, в случае (б) $S_k = 2 l_{\text{пк}} = 2K$ [5]. Известно, что, чем больше переходная кривая, тем динамика взаимодействия колеса с рельсом более «спокойная».

Обозначим R — радиус круговой кривой, тогда при биклотоидном проектировании средний радиус криволинейного участка будет $2R$ [3, 5].

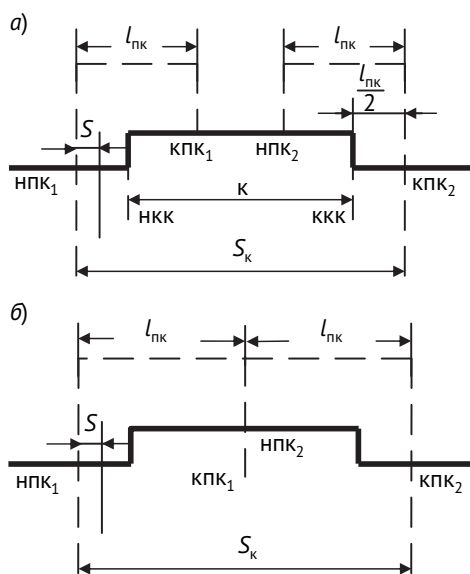


Рис. 1

Было бы интересно посмотреть, как должен изменяться радиус вдоль криволинейного участка с точки зрения минимальных затрат энергии на тягу поезда.

Согласно [1], удельное сопротивление от кривой можно приравнять эквивалентному уклону

$$i_{\text{экв}} = \frac{700}{R}, \quad (1)$$

если длина криволинейного участка $K + l_{\text{ПК}}$ (или при биклотовидном проектировании — $2K$) больше длины поезда $l_{\text{п}}$,

$$i_{\text{экв}} = \frac{700}{R},$$

в противном случае:

$$i_{\text{экв}} = \frac{700(K + l_{\text{ПК}})}{R \cdot l_{\text{п}}}$$

или

$$i_{\text{экв}} = \frac{700 \cdot 2K}{R \cdot l_{\text{п}}}.$$

В соответствии с применяемыми радиусами, $0,1 \leq i_{\text{экв}} \leq 4,6$ (‰). Для простоты анализа ограничимся случаем (1).

Будем считать, что двигаясь по подъему $i_{\text{экв}}$, поезд поднимается на виртуальную высоту $J_{\text{в}}$.

В пределах переходной кривой кривизна пропорциональна S (см. рис.1), тогда виртуальная высота при $S = l_{\text{ПК}}$ определится:

$$y_{\text{в.ПК}} = \int_0^{l_{\text{ПК}}} \frac{700}{R} \cdot \frac{S}{l_{\text{ПК}}} \cdot dS = \frac{700}{2R} \cdot l_{\text{ПК}}.$$

В пределах круговой кривой:

$$y_{\text{в.ПК}} = \frac{700}{R} (K - l_{\text{ПК}}).$$

Суммарная виртуальная высота:

$$y_{\text{в}} = 2y_{\text{в.ПК}} + y_{\text{в.ПК}}.$$

$$y_{\text{в}} = \frac{700}{R} K. \quad (2)$$

Средний эквивалентный уклон $i_{\text{экв.ср}}$ определится:

$$i_{\text{экв.ср}} = \frac{y_{\text{в}}}{S_{\text{к}}}; \quad i_{\text{экв.ср}} = \frac{700}{R(1 + \beta)}, \quad (3)$$

где $\beta = \frac{l_{\text{ПК}}}{K}$; $0 \leq \beta \leq 1$.

В случае биклотовидного проектирования, т.к. длина переходной кривой равна длине круговой кривой, эквивалентный уклон определяем по формуле

$$i_{\text{экв.ср}} = \frac{700}{2R}. \quad (4)$$

Назовем виртуальный продольный профиль энергооптимальным, если затраты энергии на тягу при преодолении высоты $y_{\text{в}}$ будут минимальны.

Критерий оптимальности — минимум расхода энергии на тягу поезда — имеет вид

$$A = \int_0^{S_{\text{к}}} q_s dS = \min, \quad (5)$$

где q_s — удельный расход энергии на тягу на участке, т.е. расход энергии, приходящийся на 1 т массы поезда, или на 1 т · км.

Расход энергии локомотива тесно связан с равномерностью движения поезда, которую можно охарактеризовать «шумом ускорения» [7, 8]. Коэффициент корреляции между этими величинами больше 0,8.

Шум ускорения (Ш) — это среднеквадратическое отклонение ускорения на участке.

С увеличением шума ускорения растет расход энергии.

Считается, что изменение ускорения во времени случайно. Тогда равномерность движения будет определяться отклонением мгновенных ускорений от среднего. Термин «шум» американский исследователь Дрю использовал по аналогии с шумами радиосигналов, вызывающих помехи при их приеме [10].

Шум ускорения зависит от траектории (геометрии дороги) и условий движения.

Шум ускорения при «свободном движении» поезда (движение «под зеленым на зеленый») назовем естественным шумом, свойственным данному участку дороги. Можно полагать, что такой шум ускорения равен естественному шуму на идеальной дороге с некоторым коэффициентом, введение

которого и характеризует геометрию дороги. Улучшение геометрии дороги приближает шум ускорения к «шуму» идеальной дороги.

Шум ускорения определяется:

$$\Pi^2 = \frac{1}{\tau} \int_0^{\tau} \left(\frac{dV}{dt} - a \right)^2 d\tau, \quad (6)$$

где τ — время движения поезда по участку; $\frac{dV}{d\tau}$ — мгновенное ускорение поезда; a — среднее ускорение поезда на участке.

Раскрыв скобки в (6) и сделав некоторые преобразования, получим:

$$\Pi^2 = \frac{1}{\tau} \int_0^{\tau} \left(\frac{dV}{dt} \right)^2 d\tau - a^2, \quad (7)$$

$$d\tau = \frac{dS}{V},$$

где V — скорость поезда в рассматриваемый момент времени.

При длине участка, по которому движется поезд — S_K , интеграл (7) можно переписать:

$$\Pi^2 = \frac{1}{\tau} \int_0^{S_K} \left(\frac{dV}{dt} \right)^2 \frac{dS}{V} - a^2. \quad (8)$$

Из уравнения движения поезда:

$$\frac{dV}{d\tau} = \xi(r(S) - i). \quad (9)$$

Здесь $r(S)$ — равнодействующая удельных сил, действующих на поезд кроме удельного сопротивления от уклона i ; ξ — коэффициент.

Уклон в данной точке профиля:

$$i = \frac{dy}{dS} = y'. \quad (10)$$

Здесь y — превышение в рассматриваемой точке относительно начала участка. Подставив (9) и (10) в (7), получим:

$$\Pi^2 = \frac{1}{\tau} \int_0^{S_K} \xi^2 [r(S) - y']^2 \frac{dS}{V(S)} - a^2 = \min. \quad (11)$$

Решим задачу при критерии (11) методами вариационного исчисления.

Уравнение Эйлера:

$$Fy - \frac{d}{dS} Fy' = 0.$$

Функциональная (11) от y не зависит, значит:

$$\frac{d}{dS} Fy'(S, y') = 0.$$

Найдя первый интеграл уравнения Эйлера и аппроксимировав $V(S)$ и $r(S)$ прямыми, получим ординаты энергооптимального профиля:

$$y = f(y_K; \alpha_s; r_n; \Delta r; V_n; \Delta V). \quad (12)$$

Взяв производную $\frac{dy}{dS}$ от (12), по-

лучим уклон виртуального энергооптимального профиля в данной точке.

$$i_{\text{экр.с}} = \frac{1}{V_{\text{ср}}} \left\{ i_{\text{экр.ср}} [tV_n + \Delta V \alpha_s] + \right. \\ \left. + 0,5(\Delta r V_n - r_n \Delta V)(2\alpha_s - 1) \right\}. \quad (13)$$

Здесь v_n и r_n — скорость и удельная равнодействующая сила в начале участка ($\alpha_s = 0$); ΔV и Δr — приращение скорости и удельной равнодействующей силы в конце участка, когда $\alpha_s = 1$;

$$\alpha_s = \frac{S}{S_K}.$$

Из формулы (1) получим радиус R_S в точке S :

$$R_S = \frac{700}{i_{\text{экр.с}}}. \quad (14)$$

Подставим в (14) значение $i_{\text{экр.с}}$ из (13) и $i_{\text{экр.ср}}$ из (3), получим

$$R_S = \frac{RV_{\text{ср}}(1 + \beta)}{(V_n + \Delta V \alpha_s) + 0,0007R(1 + \beta) \times} \cdot (15) \\ \times (\Delta r V_n - r_n \Delta V)(2\alpha_s - 1)$$

В начале участка $\alpha_s = 0$

$$R_s = \frac{RV_{cp}(1+\beta)}{V_n - 0,0007R(1+\beta)(\Delta r V_n - r_n \Delta V)}. \quad (16)$$

В середине участка $\alpha_s = 0,5$, т.к.

$$V_n + 0,5\Delta V = V_{cp}$$

$$R_s = R(1 + \beta). \quad (17)$$

В конце участка $\alpha_s = 1$.

$$R_s = \frac{RV_{cp}(1+\beta)}{(V_n + \Delta V) + 0,0007R(1+\beta) \times (\Delta r V_n - r_n \Delta V)}. \quad (18)$$

Если скорость поезда и удельная равнодействующая сила постоянны на участке S_k , то

$$R_s = R(1 + \beta),$$

т.е. радиус постоянен на всем участке.

При биклотовидном проектировании, когда $\beta = 1$, этот радиус равен среднему радиусу криволинейного участка:

$$R_s = 2R.$$

Таким образом, при движении поезда с постоянной скоростью и с неизменяющейся удельной равнодействующей сил, с точки зрения минимальных затрат энергии на тягу, радиус на всей длине криволинейного участка должен быть постоянен.

Однако, как показывают наши исследования, для поезда характерно неравномерное движение: вероятность движения поезда на участке всего 0,5 км равняется 0,19 [9].

Примем наиболее вероятные скорости грузового поезда на перегоне 40–80 км/ч, тогда изменение касательной

силы тяги, согласно тяговым характеристикам электровозов [1], соответствует 52000–16000 кг.

Если принять основное удельное сопротивление движению $\omega_0 = 2$ кг/т, тогда удельные равнодействующие сил для соответствующих весов поездов определяются (таблица).

| Вес поезда, т | Начальная скорость, км/ч | Конечная скорость, км/ч | ΔV , км/ч | r_n , кг/т | r_k , кг/т | Δr , кг/т |
|---------------|--------------------------|-------------------------|-------------------|--------------|--------------|-------------------|
| 4000 | 40 | 80 | 40 | 11 | 1 | -10 |
| 6000 | | | | 6,4 | 0 | -6,4 |

r_k — удельная равнодействующая в конце участка.

Тогда, согласно [8] и [10], при $\alpha = 0$ или 1:

$$\frac{R_s}{R} = 1 + \beta$$

от сил и от скорости поезда не зависит, а при биклотовидном проектировании — в два раза больше, чем радиус круговой кривой. При обычном проектировании — в $(1 + R)$ раза.

Экономия энергии при движении поезда по энергооптимальному профилю достигает 10–15% [7, 8].

Однако по условиям проектирования криволинейного участка, в начале и конце радиусы должны быть больше, чем радиус круговой кривой ($R_s > R$), что противоречит требованию энергооптимальности.

Таким образом, энергооптимальность криволинейного участка зависит от радиуса круговой кривой, изменения скорости и удельных равнодействующих сил.

При движении поезда с установившейся скоростью радиус должен быть постоянен по всей длине криволинейного участка $R(1 + \beta)$, а при биклотовидном проектировании равен среднему радиусу, т.е. $2R$. ■

Литература

1. Аккерман Г.Л. Правила тяговых расчетов для поездной работы. МПС. М. : Транспорт, 1985. 287 с.
2. Аккерман Г.Л. Кривые участки пути как подсистема инфраструктуры железной дороги // Транспорт Урала. 2004. № 2. С. 14–19. ISSN 1815–9400.
3. Аккерман Г.Л., Аккерман С.Г., Кравченко О.А. Биклотоидное проектирование криволинейных участков железной дороги // Путь и путевое хозяйство. 2010. № 10. С. 28–30. ISSN 0033–4715.
4. Аккерман Г.Л., Аккерман С.Г. Энергооптимальный профиль // Сб. : Транспорт, наука, техника, управление. Екатеринбург, 2006. С. 21–24.
5. Аккерман Г.Л., Аккерман С.Г., Кравченко О.А. Метод снижения затрат на содержание криволинейных участков пути // Железнодорожный транспорт. 2011. № 5. С. 41–42. ISSN 0044–4448.
6. Аккерман Г.Л., Кошелев Д.А. Оценка возможности применения биклотоидного проектирования смежных кривых для движения высокоскоростных и тяжеловесных поездов методом имитационного моделирования // Инновационный транспорт. 2012. № 5. С. 3–9.
7. Аккерман Г.Л. Проектирование оптимального профиля по критерию расхода топлива или энергии на тягу поездов // Сб. : «Вопросы проектирования, строительства и содержания железнодорожного пути в условиях Урала и Сибири». Свердловск : УЭМИИТ, 1979. Вып. 60. С. 66–81.
8. Аккерман Г.Л. Теория и практика проектирования железных дорог с учетом воздействия окружающей среды : дисс. ... на соиск. уч. ст. д-ра техн. наук. Екатеринбург, 1992.
9. Аккерман Г.Л., Мартыненко М.И. Учет реальных условий движения поезда при проектировании железных дорог // Техничко-экономическая эффективность проектных решений железных дорог : сб. науч. тр. М. : МИИТ, 1982. Вып. 715. С. 66–76.
10. Дрю Д. Теория транспортных потоков и управление ими / пер. англ. М. : Транспорт, 1972. 424 с.

References

1. Akkerman G.L. Pravila tyagovykh raschyotov dlya poezdnoy raboty. [Rules of traction calculations for train operation.] MPS. M. : Transport, 1985. 287 p.
2. Akkerman G.L. Krivye uchastki puti kak podsystema infrastruktury zheleznoy dorogi [Curves track sections as a railway infrastructure subsystem] // Transport of the Urals. 2004. № 2. P. 14–19. ISSN 1815–9400.
3. Akkerman G.L., Akkerman S.G., Kravchenko O.A. Biklotoidnoe proektirovanie krivolineynykh uchastkov zheleznoy dorogi [Biclothoid design of curved railway sections] // Put i putevoe khozyaystvo. 2010. № 10. P. 28–30. ISSN 0033–4715.
4. Akkerman G.L., Akkerman S.G. Energooptimalny profil [Energy-optimal profile] // Sb. : Transport, nauka, tekhnika, upravlenie. Ekaterinburg, 2006. P. 21–24.
5. Akkerman G.L., Akkerman S.G., Kravchenko O.A. Metod snizheniya zatrat na sodержanie krivolineynykh uchastkov puti [A method to reduce the cost of maintaining curved track sections] // Zheleznodorozhnyy transport. 2011. № 5. P. 41–42. ISSN 0044–4448.
6. Akkerman G.L., Koshelev D.A. Otsenka vozmozhnosti primeneniya biklotoidnogo proektirovaniya smezhnykh krivyykh dlya dvizheniya vysokoskorosnykh i tyazhelovesnykh poezdov metodom imitatsionnogo modelirovaniya [Feasibility assessment of biclothoid design of adjacent curves for high-speed and heavy train traffic using simulation modeling] // Innovatsionnyy transport. 2012. № 5. P. 3–9.
7. Akkerman G.L. Proektirovanie optimalnogo profilya po kriteriyu rashkoda topliva ili energii na tyagu poezdov [Designing optimal profile in terms of fuel or energy consumption for traction] // Sb. : «Voprosy proektirovaniya, stroitelstva i sodержaniya zheleznodorozhnogo puti v usloviyakh Urala i Sibiri». Sverdlovsk : UEMIIT, 1979. Issue 60. P. 66–81.
8. Akkerman G.L. Teoriya i praktika proektirovaniya zheleznykh dorog s uchyotom vozdeystviya okruzhayushey sredy : diss. ... na soisk. uch. st. d-ra tekhn. nauk. [Theory and practice of railways design with account to the impact of the environment : DSc in Engineering Thesis] Ekaterinburg, 1992.
9. Akkerman G.L., Martynenko M.I. Uchyot realnykh usloviy dvizheniya poezda pri proektirovani zheleznykh dorog [Account for actual train operation conditions in railways design] // Tekhniko-ekonomicheskaya effektivnost' proektnykh resheniy zheleznykh dorog : sb. nauch. tr. M. : MIIT, 1982. Issue 715. P. 66–76.
10. Drew D. Teoriya transportnykh potokov i upravlenie imi [Theory of traffic flow and traffic management] / translated from English. M. : Transport, 1972. 424 p.

Статья сдана в редакцию 30 апреля 2014 года

Организация и логистика

УДК.658.71 (043)

Д. И. Кочнева, Е. А. Гаганова

Моделирование потоковых процессов на контейнерном терминале

UDC.658.71 (043)

D. I. Kochneva, E. A. Gaganova

Simulation of flow processes at container terminal

Аннотация

В работе проведен анализ функционирования контейнерного терминала и представлена имитационная модель, позволяющая прогнозировать случайные входящие потоки груженных и порожних контейнеров. На основе метода статистических испытаний (метод Монте-Карло) определены законы распределения и статистические параметры потока, сформированы выражения для расчета объема контейнеропотока как случайной величины. Для учета сезонной неравномерности поступления контейнеров на терминал применяется метод индексов сезонности.

Сравнение полученных на основе моделирования данных с фактическими результатами работы контейнерного терминала позволяет сделать вывод о достоверности прогноза.

Предложенная методика позволяет прогнозировать суточную величину поступления контейнеров на терминал с учетом годовой, месячной и недельной неравномерности. Результаты прогнозирования могут быть использованы как для оперативного планирования процессов на терминале, так и выработки управленческих решений по его перспективному развитию.

Ключевые слова: контейнерная система; логистический процесс; контейнерные перевозки; имитационное моделирование; интеграция терминальных операторов; контейнеропоток терминала; принятие решений.

Summary

The paper analyzes operation of container terminal and presents a simulation model which allows predicting random inflows of loaded and empty containers. Using statistical testing method (Monte Carlo), the distribution laws and statistical parameters of the flow are determined; expressions are formed to calculate the volume of container flow as a random variable. To account for seasonal fluctuations in arrival of containers at the terminal, seasonality index method is applied.

Comparison of the simulation-based data with actual results of container terminal operation allows making a conclusion on reliability of the forecast.

The proposed technique allows predicting the daily rate of container arrival at the terminal based on annual, monthly and weekly non-uniformity. Prediction results can be used both for operational planning processes at the terminal, and for development of management decisions on its future development.

Keywords: container system; logistics process; container transport; simulation modeling; integration of terminal operators; container traffic of terminal; decision-making.

Дарья Ивановна Кочнева, канд. техн. наук, доцент; кафедра «Мировой экономики и логистики» Уральского государственного университета путей сообщения; Екатеринбург, Россия. E-mail: dana_rich@mail.ru.

Елена Алексеевна Гаганова, аспирант; Уральский государственный университет путей сообщения; Челябинск, Россия. E-mail: gaganovaea@mail.ru.

Darya Ivanovna Kochneva, PhD in Engineering, Associate Professor; Department «World Economy and Logistics», Ural State University of Railway Transport, Ekaterinburg, Russia. E-mail: dana_rich@mail.ru.

Elena Alekseevna Gaganova, postgraduate student; Ural State University of Railway Transport; Chelyabinsk, Russia. E-mail: gaganovaea@mail.ru

Контейнеризация позволяет унифицировать и оптимизировать сам процесс перевозки и прежде всего сократить время доставки грузов и обеспечить сохранность их в пути следования [1].

Среднегодовой темп роста объема мирового контейнерного рынка в 2013 г. составил 7,8 % (к 2001 г.), что превышает рост мирового ВВП более чем в два раза [2].

В Российской Федерации темп роста контейнерных перевозок также показывает положительную динамику и составляет 6 % в год [2].

Уральский регион обладает высоким потенциалом в развитии контейнерных перевозок. Во-первых, выгодное географическое транзитное положение региона: грузопоток идет с запада на восток. Во-вторых, поступательное развитие промышленного потенциала региона направлено на экспорт продукции как в другие регионы страны, так и за рубеж. В-третьих, увеличение добавочной стоимости в цене выпускаемой продукции увеличивает объемы перевозок малыми партиями в закрытом подвижном составе, в частности в контейнерах.

Рассмотрим динамику контейнеропотока на примере Южно-Уральской железной дороги. За последние три года расширяется номенклатура грузов перевозимых в контейнерах, растет контейнеропоток. Это подтверждается ростом переработки контейнеров на терминалах региона (рис. 1–3).

Анализ подтвердил рост объемов контейнерных перевозок на Южно-Уральской железной дороге. Аналогичные выводы о развитии контейнерных перевозок на Свердловской железной дороге сделаны в работах [3–9].

Перспективному развитию контейнерных перевозок препятствуют: нехватка подвижного состава, вызванная существенными порожними пробегами; недостаточный выпуск специализированных контейнеров; неразвитая терминально-складская инфраструктура; слабая техническая оснащенность погрузочно-разгрузочных фронтов, обу-

словленная недостаточными государственными инвестициями; низкий процент предоставления грузовладельцу комплексных услуг мультимодальных перевозок грузов «от двери до двери».

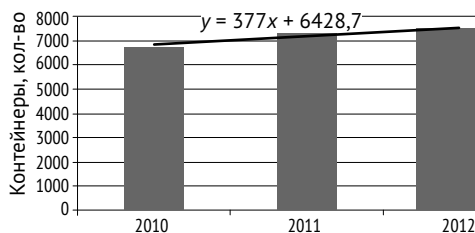


Рис. 1. Переработка крупнотоннажных контейнеров на терминале Челябинск-Грузовой

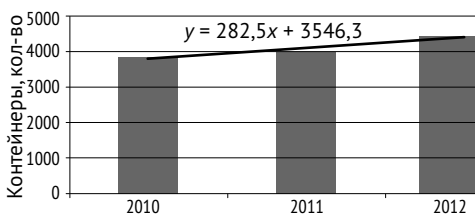


Рис. 2. Переработка крупнотоннажных контейнеров на терминале Магнитогорск-Грузовой

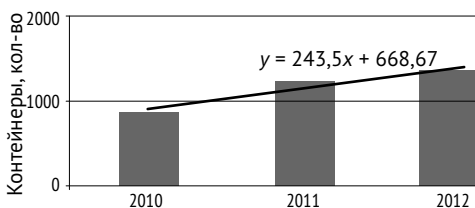


Рис. 3. Переработка крупнотоннажных контейнеров на терминале Курган-Грузовой

Проблему усугубляет отсутствие интеграционных связей между контейнерными терминалами разных собственников; взаимодействие филиалов ОАО «Трансконтейнер» на Свердловской и Южно-Уральской железной дорогах также ограничено. В результате загрузка мощностей географически близких контейнерных терминалов не пропорциональна: на отдельных площадках — избыток мощностей, другие же работают с перегрузкой.

Для организации движения контейнеропотоков необходима матема-

тическая формализация терминальной сети региона.

В данном случае целесообразно применить модель контейнерной системы транспортного узла, разработанную в [3–9] и адаптировать ее для условий крупного региона, охватывающего несколько смежных областей (Свердловскую, Пермскую, Тюменскую, Курганскую и Челябинскую).

Рассмотрим логистический процесс работы контейнерного терминала на примере терминала ОАО «Трансконтейнер» на станции Челябинск-Грузовой [10, 11] (рис. 4).

Процесс переработки контейнеров включает следующие операции:

1) прибытие фиттинговых платформ с 20- и 40-футовыми контейнерами в составе грузового поезда на ст. Челябинск-Грузовой для последующей передачи их в ОАО «Трансконтейнер»;

2) расформирование состава на станции;

3) технический и коммерческий осмотры (ТО и КО) вагонов с контейнерами;

4) проверка перевозочных документов;

5) накопление группы вагонов с груженными и порожними контейнерами для последующей подачи на терминал;

6) подача вагонов с контейнерами на терминал;

7) расстановка вагонов с контейнерами по типоразмерам на соответствующие контейнерные площадки;

8) проверка документов на соответствие приемосдатчиками площадок по книге ГУ-48;

9) выгрузка контейнеров с грузами, следующими под таможенным контролем, в зону таможенного контроля (ЗТК) либо их перестановка на склад временного хранения (СВХ);

10) проверка наличия договора и денежных средств на счету у грузополучателя агентами сервисного центра ОАО «Трансконтейнер»;

11) уведомление грузополучателя о прибытии контейнеров в его адрес агентами сервисного центра ОАО «Трансконтейнер»;

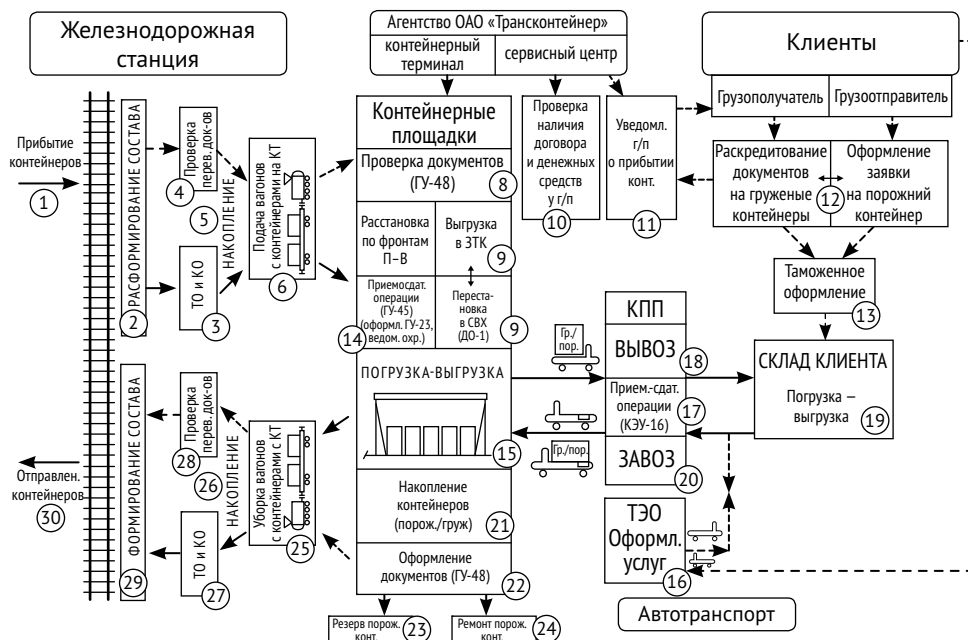


Рис. 4. Схема логистического процесса на контейнерном терминале
 — — контейнеропоток; --- — информационный поток

12) проследование грузополучателя в сервисный центр ОАО «Трансконтейнер» для раскредитования документов на груз (по прибытии груженых контейнеров под выгрузку) либо проверки правильности оформления перевозочных документов — после предварительной заявки (по прибытии порожних контейнеров под погрузку);

13) выполнение таможенных операций с грузами, следующими под таможенным контролем;

14) выполнение приемосдаточных операций, оформляемых памяткой приемосдатчика формы ГУ-45 (при необходимости составление актов общей формы ГУ-23 на несохранные перевозки, а также прием или сдача грузов под ведомственную охрану);

15) погрузочно-выгрузочные операции с контейнерами на площадках с применением кранового оборудования;

16) заключение договора между грузополучателем и транспортно-экспедиционной компанией на транспортно-экспедиционное обслуживание (ТЭО) с предоставлением автотранспорта;

17) приемосдаточные операции на контрольно-пропускном пункте (КПП) терминала, оформляемые рядом на ввоз-вывоз формы КЭУ-16;

18) вывоз контейнеров с терминала в склад грузоотправителя (получателя);

19) погрузка или выгрузка груза из контейнеров на складе получателя;

20) завоз контейнеров (груженых или порожних) на терминал;

21) накопление контейнеров попутного следования на площадках;

22) оформление документов, регистрируемых в книге ГУ-48, для передачи вагонов с контейнерами на станцию;

23) формирование резерва порожних контейнеров после выгрузки на терминале;

24) перестановка контейнеров, имеющих технические неисправности в пункт ремонта;

25) уборка вагонов с контейнерами с терминала на станцию;

26) накопление вагонов на состав поезда на станции;

27) технический и коммерческий осмотры (ТО и КО) вагонов с контейнерами;

28) проверка перевозочных документов;

29) формирование состава;

30) отправление фитинговых платформ с 20- и 40-футовыми контейнерами в составе грузового поезда со станции по маршруту.

Входящий на контейнерный терминал груженный поток формируется под влиянием спроса на контейнерные перевозки в адрес региона и задает суточный объем поступления контейнеров под выгрузку. Выходящий груженный поток отражает спрос на контейнерные перевозки грузов, генерируемых в регионе, и задает суточный объем поступления контейнеров на терминал под погрузку от клиентов. Данные потоки являются случайными, но их можно прогнозировать с заданной вероятностью надежности вывода.

Для моделирования случайных контейнеропотоков необходимо разработать имитационную модель терминала с использованием метода статистических испытаний (метод Монте-Карло); после выполнения статистического анализа это позволит оценить рассеяния выходных параметров относительно номинальных значений [12].

Процесс моделирования включает: определение законов распределения и статистических параметров потока как случайной величины; обоснование коэффициентов сезонной неравномерности потоков; математическую формализацию потоков как случайной величины; статистические испытания модели и ее верификация.

Для моделирования потоков на терминале ОАО «Трансконтейнер» на станции Челябинск-Грузовой применим метод статистических испытаний.

В процессе обработки статистических данных работы терминала установлены законы распределения величины суточного контейнеропотока (рис. 5–7).

В таблице 1 представлены статистические характеристики и выражения

для расчета суточного контейнеропотока терминала как случайной величины, где χ^2 — значение критерия Пирсона, μ — математическое ожидание величины потока, σ — среднее квадратическое отклонение, z — случайное равномерно распределенное число.

Для учета сезонной неравномерности потоков воспользовались коэффициентами, приведенными в работе [3].

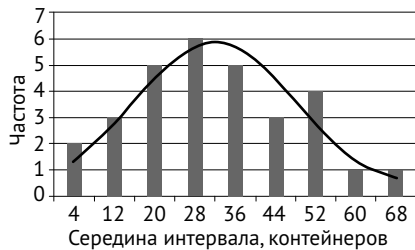


Рис. 5. Гистограмма распределения грузопотока 20-футовых контейнеров и выравнивающая ее нормальная кривая
■ — фактические частоты ряда распределения;
— — теоретические частоты ряда распределения

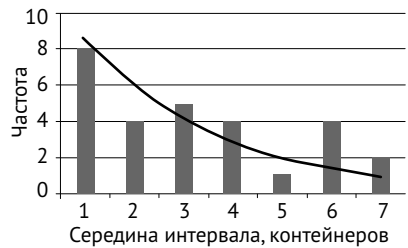


Рис. 6. Гистограмма распределения грузопотока 40-футовых контейнеров и выравнивающая ее показательная кривая
■ — фактические частоты ряда распределения;
— — теоретические частоты ряда распределения

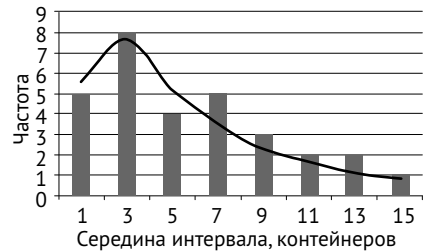


Рис. 7. Гистограмма распределения порожнего потока 20-футовых контейнеров и выравнивающая ее показательная кривая
■ — фактические частоты ряда распределения;
— — теоретические частоты ряда распределения

Таблица 1

Статистические характеристики и выражения для расчета суточного контейнеропотока терминала

| Поток | Закон распределения | χ^2 | | Статистические характеристики потока | Величина суточного потока, конт. |
|---|---------------------|-----------|-------------|--------------------------------------|----------------------------------|
| | | расчетное | критическое | | |
| Входящий (груженный) 20-футовые контейнеры | Нормальный | 8,342 | 19,675 | $\mu = 32,129;$ $\sigma = 16,863$ | $q^1 = 32,1 + 16,9Z$ |
| Входящий (порожний) 20-футовые контейнеры | Нормальный | 5,886 | 19,675 | $\mu = 5,967;$ $\sigma = 3,830$ | $q^2 = 5,9 + 3,8Z$ |
| Входящий (груженный) 40-футовые контейнеры | Нормальный | 8,564 | 19,675 | $\mu = 8,870;$ $\sigma = 4,870$ | $q^3 = 8,8 + 4,8Z$ |
| Входящий (порожний) 40-футовые контейнеры | Показательный | 4,692 | 15,507 | $\mu = 1,064;$ $\lambda = 0,939$ | $q^4 = 1,06\ln Z $ |
| Выходящий (груженный) 20-футовые контейнеры | Нормальный | 12,51 | 19,675 | $\mu = 18,2;$ $\sigma = 14,2$ | $q^5 = 18,2 + 14,2Z$ |
| Выходящий (порожний) 20-футовые контейнеры | Показательный | 11,83 | 15,507 | $\mu = 7,45;$ $\lambda = 0,13$ | $q^6 = 7,45\ln Z $ |
| Выходящий (груженный) 40-футовые контейнеры | Показательный | 10,202 | 15,507 | $\mu = 5,322$ $\lambda = 0,187$ | $q^7 = 5,3\ln Z $ |
| Выходящий (порожний) 40-футовые контейнеры | Показательный | 11,146 | 15,507 | $\mu = 3,064;$ $\lambda = 0,326$ | $q^8 = 3,06\ln Z $ |

Приняв коэффициент сезонности для августа 2013 г. равным единице, рассчитали значения коэффициентов для других месяцев по формуле

$$m_j^u = \frac{m_j^{uu}}{m_8^{uu}},$$

где u — тип потока, $u = \overline{1, 8}$; j — номер месяца, $j = \overline{1, 12}$; m_j^{uu} — коэффициент месячной неравномерности u -го типа потока j -го месяца согласно [3]; m_j^u — приведенный коэффициент месячной неравномерности u -го типа потока j -го месяца.

Результаты расчета коэффициентов месячной неравномерности приведены в таблице 2.

С учетом внутригодовой сезонности переработки контейнеров, а также при условии неотрицательности величины получено следующее обобщенное выражение для расчета суточной величины потока:

$$q_{ij}^u = \begin{cases} m_j f(\mu, \sigma, Z) & \text{при } f(\mu, \sigma, Z) \geq 0; \\ 0, & \end{cases}$$

где q_{ij}^u — контейнеропоток u -го типа для i -х суток j -го месяца;

m_j — коэффициент сезонной неравномерности потока для j -го месяца;

$f(\mu, \sigma, Z)$ — выражение расчета случайной величины потока с учетом закона распределения и статистических параметров.

Для оценки адекватности математической модели реальным процессам проведем ее верификацию, сравнив теоретические уровни потока со статистическими данными. Проведены испытания с изменением каждый раз случайных чисел, по результатам которых для прогнозируемого уровня контейнеропотока с заданной вероятностью надежности вывода (95 %) найден доверительный интервал. Результаты сравнения реальных и модельных уровней выходящего 20-футового контейнеропотока представлены на рис. 8. Аналогично проведена верификация модели для других типов потока.

Таким образом, с вероятностью 95 % можно утверждать, что прогнозируемый объем выбытия контейнеров не превысит верхней границы доверительного интервала и не будет

Таблица 2

Коэффициенты месячной неравномерности

| u/j | 1 | 2 | 3 | 4 | 5 | 6 | 7 | 8 | 9 | 10 | 11 | 12 |
|--------------------------------------|------|------|------|------|------|------|------|---|------|------|------|------|
| Входящий (груже- ный) 20-футовые | 0,83 | 0,81 | 0,93 | 0,99 | 0,93 | 0,89 | 0,90 | 1 | 0,99 | 1,00 | 0,90 | 0,89 |
| Входящий (порож- ный) 20-футовые | 0,83 | 0,81 | 0,93 | 0,99 | 0,93 | 0,89 | 0,90 | 1 | 0,99 | 1,00 | 0,90 | 0,89 |
| Входящий (груже- ный) 40-футовые | 0,83 | 0,81 | 0,93 | 0,99 | 0,93 | 0,89 | 0,90 | 1 | 0,99 | 1,00 | 0,90 | 0,89 |
| Входящий (порож- ный) 40-футовые | 0,83 | 0,81 | 0,93 | 0,99 | 0,93 | 0,89 | 0,90 | 1 | 0,99 | 1,00 | 0,90 | 0,89 |
| Выходящий (груже- ный) 20-футовые | 0,68 | 0,79 | 1,01 | 1,09 | 1,02 | 1,08 | 0,98 | 1 | 0,97 | 0,95 | 0,94 | 0,91 |
| Выходящий (порож- ный) 20-футовые | 0,68 | 0,79 | 1,01 | 1,09 | 1,02 | 1,08 | 0,98 | 1 | 0,97 | 0,95 | 0,94 | 0,91 |
| Выходящий (груже- ный) 40-футовые | 0,68 | 0,79 | 1,01 | 1,09 | 1,02 | 1,08 | 0,98 | 1 | 0,97 | 0,95 | 0,94 | 0,91 |
| Выходящий (порож- ный) 40-футовые | 0,68 | 0,79 | 1,01 | 1,09 | 1,02 | 1,08 | 0,98 | 1 | 0,97 | 0,95 | 0,94 | 0,91 |

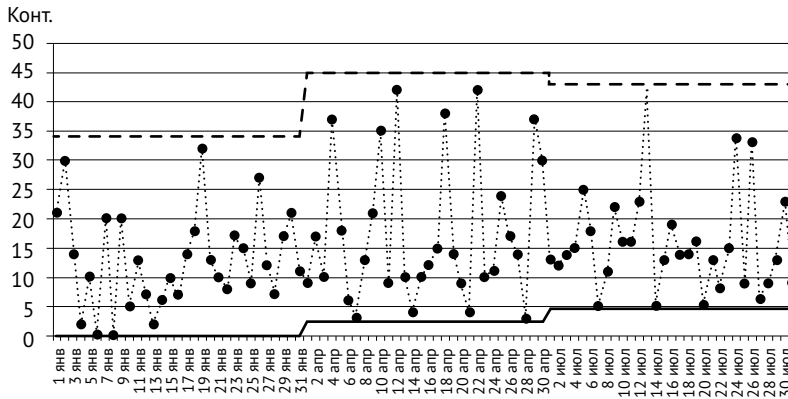


Рис. 8. Сравнение модельного и фактического уровней выбытия грузевых 20-футовых контейнеров

— — нижняя граница доверительного интервала; - - - — верхняя граница доверительного интервала;
●..... — фактический объем выбытия контейнеров

меньше нижней; результаты верификации наглядно подтверждают адекватность модели.

Таким образом, на основе предложенной методики возможно прогнозировать суточную величину входящих и исходящих грузевых контейнеропотоков с учетом годовой, месячной и суточной неравномерности. При этом на основе полученных выше выражений и алгоритма, предложенного в [4, 5], можем прогнозировать внутренние операции на терминале.

Результаты прогнозирования могут быть использованы как для оперативного планирования процессов на терминале, так и выработки управленческих решений по его перспективному развитию.

Если рассматривать Уральский регион как некоторое организационно-правовое и организационно-экономическое пространство, то возникает вопрос о необходимости создания в этом пространстве организационно-экономической сети контейнерного обслуживания экономики региона. При этом интеграционную деятельность терминалов региона направить на создания синергетического эффекта контейнерных перевозок.

Решение этой задачи возможно при создании адекватной имитационной модели контейнерных перевозок в регионе. Такая модель позволит оптимизировать контейнеропотоки в грузевом и порожнем состоянии, что, безусловно, повысит качество транспортного обслуживания региона. ■

Литература

1. Николашин В.М. Логистические принципы контейнерных перевозок и оптимизация цепей поставок товаров // ВИНТИ РАН : Транспорт: наука, техника, управление. 2009. № 1. С. 28–31. ISSN 0236–1914.
2. ОАО «Трансконтейнер». URL: <http://www.trcont.ru/> (дата обращения: 15.11.2013).
3. Кочнева Д.И. Повышение эффективности функционирования региональной контейнерной транспортно-логистической системы : дисс... на соиск. уч. ст. канд. техн. наук. Екатеринбург : УрГУПС. 2012. — 138 с.
4. Кочнева Д.И., Сизый С.В., Сай В.М. Имитационная модель контейнерного терминала — элемента региональной транспортно-логистической сети // Транспорт Урала. 2011. № 2 (29). С. 31–38. ISSN 1815–9400.
5. Кочнева Д.И. Имитационная модель региональной контейнерной транспортно-логистической системы // Вестник РГУПС. 2012. № 1. С. 143–152. ISSN 0201–727X.
6. Кочнева Д.И. Организация движения порожнего контейнеропотока в региональной контейнерной транспортно-логистической системе // Вестник УрГУПС. 2012. № 1. С. 46–53. ISSN 2079–0392.

7. Кочнева Д. И. Моделирование продолжительности нахождения контейнера в региональной контейнерной транспортно-логистической системе // Вестник УрГУПС. 2012. № 3. С. 54–61. ISSN 2079–0392.
8. Кочнева Д. И., Сай В. М. Повышение эффективности организации работ на контейнерном терминале // Вестник УрГУПС. 2011. № 4. С. 52–57. ISSN 2079–0392.
9. Югова Д. И. Моделирование продолжительности логистических цепей при организации контейнерных перевозок // Вестник УрГУПС. 2010. № 4. С. 72–81. ISSN 2079–0392.
10. Технологический процесс работы станции Челябинск-Грузовой филиала ОАО «РЖД» на Южно-Уральской железной дороге. Челябинск, 2011.
11. Технологический процесс работы агентства на станции Челябинск-Грузовой филиала ОАО «Трансконтейнер» на Южно-Уральской железной дороге. Челябинск, 2011.
12. Орлов А. И. Эконометрика : учебник. М. : Изд-во «Экзамен». 2002. 576 с. ISBN 5–472–00035–1.

References

1. Nikolashin V. M. Logisticheskie printsipy konteynernykh perevozok i optimizatsiya tsepey postavok tovarov [Logistical principles of container transportation and optimization of goods supply chain] // VINITI RAN : Transport: nauka, tekhnika, upravlenie. 2009. № 1. P. 28–31. ISSN 0236–1914.
2. OJSC Transkonteiner. URL: <http://www.trcont.ru/> (date accessed: 15.11.2013).
3. Kochneva D. I. Povyshenie effektivnosti funktsionirovaniya regionalnoy konteynernoy transportno-logisticheskoy sistemy : diss... na soisk. uch. st. kand. tekhn. nauk [Improving the efficiency of operation of regional container transport and logistics system : PhD in Engineering Thesis] Ekaterinburg : USURT. 2012. — 138 c.
4. Kochneva D. I., Sizy S. V., Say V. M. Imitatsionnaya model konteynernogo terminala — elementa regionalnoy transportno-logisticheskoy seti [Simulation model of a container terminal-an element of regional transport and logistics network] // Transport of the Urals. 2011. № 2 (29). P. 31–38. ISSN 1815–9400.
5. Kochneva D. I. Imitatsionnaya model regionalnoy konteynernoy transportno-logisticheskoy sistemy [Simulation model of regional container transport and logistics system] // Vestnik RGUPP. 2012. № 1. P. 143–152. ISSN 0201–727X.
6. Kochneva D. I. Organizatsiya dvizheniya porozhnego konteyneropotoka v regionalnoy konteynernoy transportno-logisticheskoy sisteme [Organization of empty container traffic in regional container transport and logistics system] // Herald of USURT. 2012. № 1. P. 46–53. ISSN 2079–0392.
7. Kochneva D. I. Modelirovanie prodolzhitelnosti nakhozhdeniya konteynera v regionalnoy konteynernoy transportno-logisticheskoy sisteme [Modeling duration of container stay in the regional container transport and logistics system] // Herald of USURT. 2012. № 3. P. 54–61. ISSN 2079–0392.
8. Kochneva D. I., Say V. M. Povyshenie effektivnosti organizatsii rabot na konteynernom terminala [Improving the efficiency of organization of work at a container terminal] // Herald of USURT. 2011. № 4. P. 52–57. ISSN 2079–0392.
9. Yugova D. I. Modelirovanie prodolzhitelnosti logisticheskikh tsepey pri organizatsii konteynernykh perevozok [Modeling duration of logistic chains in organization of container shipments] // Herald of USURT. 2010. № 4. P. 72–81. ISSN 2079–0392.
10. Tekhnologicheskii protsess raboty stantsii Chelyabinsk-Gruzovoy filiala ОАО «RZhD» na Yuzhno-Uralskoy zheleznoy doroge. [Operation process of Chelyabinsk- Gruzovoy Station of the branch of JSC Russian Railways at South Ural Railway] Chelyabinsk, 2011.
11. Tekhnologicheskii protsess raboty agentstva na stantsii Chelyabinsk-Gruzovoy filiala ОАО «Trankonteyner» na Yuzhno-Uralskoy zheleznoy doroge [Agency operation process of Chelyabinsk- Gruzovoy Station of the branch of JSC Transcontainer at South Ural Railway] Chelyabinsk, 2011.
12. Orlov A. I. Ekonometrika : uchebnik [Econometrics textbook] M. : Publishing house «Ekzamen». 2002. 576 p. ISBN 5–472–00035–1.

Статья сдана в редакцию 14 апреля 2014 года

Философские параллели

УДК 167.2: 167.7

О. В. Коркунова, В. О. Коротков

Предназначение человека в философско-религиозной системе ордена иезуитов

UDC 167.2: 167.7

O. V. Korkunova, V. O. Korotkov

Human predestination in philosophical-religious system of the society of Jesus

Аннотация

Данная статья посвящена проблеме предназначения человека в системе философско-религиозной догматики ордена иезуитов — сильнейшего церковного ордена когда-либо существовавшего. Человек для церкви играет одну из решающих ролей в структуре церкви, поэтому определение места человека в рамках церкви — одна из задач, поставленных в этой работе. На основе изучения материалов ордена иезуитов была выделена социальная стратификация, которая содержит в себе идею предназначения человека в соответствии с его положением в этой иерархии — предназначение «воин бога», «спонсор бога» или «безвольный индивид». Были проанализированы методика и процесс становления и изменения личности человека, вступавшего в орден иезуитов; определены основные критерии разделения второй категории на группы в соответствии с их благосостоянием и возможностью оказывать церкви и ордену иезуитов те или иные услуги; обозначена идея предназначения человека в рамках этой системы. Данная искусственная система имеет сугубо практическое назначение, поскольку создавалась в качестве инструкции для представителей церковных структур, которые исходя из предназначения человека выбирали определенную модель поведения по отношению к объекту своей деятельности.

Ключевые слова: орден иезуитов; предназначение человека; Игнатий Лойола; «Духовные упражнения»; «Monita secreta»; социум; стратификация; категории общества; воин бога.

Summary

This article is dedicated to the problem of human predestination in the system of philosophical and religious dogma of Jesuits — the strongest religious order ever existed. Man plays one of crucial roles in church structure, so the definition of man's place within the church is one of the tasks set out in this work. On the basis of studying the materials of the Jesuits Order a social stratification has been delineated, which contains the idea of predestination of man in accordance with man's position in the hierarchy — his destiny as a «God's soldier», «God's sponsor» or «weak-willed individual». The method and process of achievement and change of personhood of a man who entered the Jesuit order have been analyzed: the key criteria for dividing the second category into groups according to their well-being and the ability to provide some or other services to the Church and Society of Jesus have been identified; the idea of predestination of man within the system has been denoted. This artificial system has purely practical purpose, as it was created as a guide for members of church entities, which on the basis of human predestination chose a certain pattern of behavior in relation to the object of their activity.

Keywords: Society of Jesus; human predestination; Ignatius of Loyola; «Spiritual Exercises»; «Monita secreta»; society; stratification; categories of society; God's soldier.

Ольга Владимировна Коркунова, д-р философ. наук; кафедра «Философия и история» Уральского государственного университета путей сообщения; Екатеринбург, Россия. E-mail: OKorkunova@usurt.ru.

Владислав Олегович Коротков, аспирант; кафедра «Философия и история» Уральского государственного университета путей сообщения; Екатеринбург, Россия. E-mail: vlado.kor.1509@yandex.ru.

Olga Vladimirovna Korkunova, Dsc in philosophy sciences; Department «Philosophy and History», Ural State University of Railway Transport, Ekaterinburg, Russia. E-mail: OKorkunova@usurt.ru.

Vladislav Olegovich Korotkov, postgraduate student; Department «Philosophy and History», Ural State University of Railway Transport, Ekaterinburg, Russia. E-mail: vlado.kor.1509@yandex.ru

XVI век стал переломным в истории католической церкви. Именно в этом столетии христианство пережило вторую великую схизму — раскол западной церкви на католицизм и протестантизм. Это было связано с обмирщением Ватикана и утратой им основной функции как религиозного института — спасение душ своей паствы, что, в свою очередь, стало основной причиной Реформации — процесса за реформирование церкви в соответствии с библейскими канонами, который охватил всю Европу. Реформация отразилась не только на религиозной стороне жизни общества, но и оказала огромное влияние на общее состояние духовности европейского общества. Возник вопрос о необходимости существования института церкви как посредника между человеком и богом, что не могло остаться без внимания святого престола.

Ответом на появление движения Реформации стало появление ордена иезуитов — мощнейшего и наиболее влиятельного инструмента церкви, который использовался для защиты авторитета Ватикана и распространения его власти по всему миру. Именно орден иезуитов стал выразителем идей и взглядов католической церкви на человека и общество XVI столетия, на место человека в социуме, на соотношение человека и церкви и на функции, которые должен исполнять истинный христианин. Религиозные институты определяли бытие человека — как ему жить, как ему думать, как молиться и как умирать. Социальная направленность церкви прослеживается довольно четко, но в гипертрофированной форме воззрения церкви на общество отразились в философско-религиозной системе общества Иисуса. Иезуитам требовалось полное доминирование над любым обществом — христианским или языческим; они не признавали границ между жизнью индивидуальной и общественной, в их сознании индивидуальное и общественное было тесно переплетено между собой, что и позволяло иезуитам развивать свои концепции относительно личности [4].

Основной функцией ордена стала борьба с Реформацией, ее проявлениями и последствиями. Это означало, что иезуитам предстояло охватить не какую-либо отдельную категорию населения или определенное сословие, а работать с обществом в целом.

Пространство, охватываемое деятельностью ордена, определяется всей территорией известного мира, а период деятельности — временем существования организованной религии как неотъемлемой части жизни любого социума. Это связано с тем, что орден должен был проникнуть во все сферы общественной жизни, действовать на всех уровнях социального бытия индивидов, служить организатором и контролером всего социального процесса и управлять всеми социальными связями как отдельных людей, так и всего общества [11, с. 165–166].

Чтобы осуществлять контроль над обществом, иезуитам необходимо было определить основные категории, на которые условно разделится социум. Можно рассматривать следующую социальную классификацию значимых для церкви людей, которая определяет предназначение человека в зависимости от его принадлежности к той или иной категории.

1. Человек как воин бога — категория людей, находящихся на службе у христианской церкви, формирующая слой духовенства. Особой группой, которая рассматривалась как элита христианской духовной армии, здесь являются представители самого ордена иезуитов.

2. Филантроп, дающий деньги на распространение христианской религии. К данной категории относятся власть имущие и обеспеченные люди, не имеющие духовного сана, либо вступившие в церковную структуру и пожертвовавшие церкви свои богатства.

3. Большая часть христианской паствы, не играющая особой роли в жизни церкви и слепо подчиняющаяся церковной догматике. Это представители низших сословий, крестьянства, ремесленников, мелких торговцев, которые

не имели возможности поддержать церковь материально или противостоять ей. Самая крупная категория, но в то же время наиболее аморфная и бездеятельная в плане усиления авторитета церкви.

Интерес для ордена иезуитов с точки зрения их практической философско-религиозной системы представляли первая и вторая категории — с их помощью можно было пополнять ряды духовной армии католической церкви и финансировать политику Ватикана. Орден, хоть и входил в рамки церкви и считался организацией религиозной, по своей природе был светской и достаточно милитаризованной структурой, что отразилось на их концепции отношения к человеку и обществу — должны быть солдаты, которые ведут «войну», и должны быть люди, которые выделяют на нее средства.

Первым типом в классификации социума можно выделить категорию людей, являющихся частью церкви: духовенство, монахи, члены религиозных орденов. Субъекты данной группы целью своего существования ставят защиту интересов католической церкви, распространение ее влияния, борьбу с инакомыслием и ересью. В XVI веке ядром этой категории и стал орден иезуитов. Целью существования ордена и его монахов было служение не церкви, а напрямую богу, через папу римского — он был призван совершать «либо те мирские подвиги, которые он (Игнатий Лойола, основатель ордена — *Авт.*) желал совершить, либо иные, [призванные угодить] Богу» [7, с. 19]. Официально вся философско-религиозная система ордена не противоречила христианской догматике, основу учения которой составляло учение о добре и зле, представители религии говорили о себе, что мы рассуждаем «то об одной добродетели, то о другой, и хвалим ее; то об одном пороке, то о другом, и порицаем его» [7, с. 102], навязывая пастве свое видение системы ценностей.

Становление иезуита как воина господина проходило под четким руковод-

ством руководителей ордена. Для того чтобы стать частью этого элитного общества, ядра христианской армии, человек вынужден был отказаться от своего «Я», подавить свою волю и стать послушным инструментом в руках церкви. Для обращения простого человека в иезуита основатель общества Иисуса, Игнатий Лойола, разработал «Духовные упражнения», которые содержат плоды его личного опыта, его размышлений и переживаний, его страданий и видений: «Упражнения он составил не все разом: кое какие вещи, которые он наблюдал в своей душе и находил полезными, смогут, как ему казалось, принести пользу и другим, и тогда он их записывал...» [7, с. 147]. «Упражнения» направлены на создание абсолютно нового типа личности. С помощью системы, содержащейся в этом трактате и включающей в себя религиозные догматы, философские выкладки и приемы психологического давления, орден повторял путь бога — он создавал человека, наделяя его теми чертами, навыками, умениями, которые угодны святому престолу. «Адамом» нового ордена, первым истинным иезуитом стал сам Лойола. Испытав на себе собственную методику, пережив физическое и психологическое уничтожение, он радикально изменил свою личность [14, с. 16]. Стремление воплотить свои идеи по созданию идеального воина господина на практике привело к разработке системы подготовки иезуитов, и личный опыт Лойолы, состоявший из разрозненных записей, рассуждений и наблюдений, превратился в систематизированную комплексную методику, получившую свою реализацию в «Духовных упражнениях» [5, с. 56–63].

Что же из себя представлял человек, который испытал на себе процесс перерождения в воина господина? Человек подчиняется воле бога, становится его послушным инструментом в руках церкви. При этом он должен постоянно совершенствовать свою связь с всевышним, прибегая к молитвам, проповедям, исповедям и т.д., дабы

углубить и укрепить благодать, полученную от бога [10, с. 12]. Для человека, решившего стать воином бога, уже нет необходимости в сохранении собственной воли и способности к мышлению. Эфемерный догмат христианской церкви о свободе воли для такого человека не имеет смысла, ибо перед ним теперь предстает воля высшего существа, воля бога, выражаемая понтификом и генералом ордена, в служении которым и состоит цель жизни иезуита. Однако за этим стоят куда более прозаичные стремления — укрепление веры и религиозных убеждений члена ордена, привитие им слепой фанатичной веры и уничтожение любых предпосылок самостоятельного мышления человека [2, с. 8]. Воин бога лишается своей индивидуальности, «принося ему (богу — *Авт.*) в жертву все свое волнение и свободу, чтобы Его Божественное Величие по Своей святейшей воле как им самим, так и всем, что он имеет» [6, с. 17].

Главной чертой иезуита как воина бога стал отказ от мирских благ (по крайней мере, номинально), от имущества, семьи и своего прошлого. Чтобы защищать религиозные догматы, основанные на духовности и благочестии, человек должен отречься от всего того, что может стать искушением для него, что собьет его с истинного пути. Отсюда возникает формула, которая являет собой отношение иезуитов к мирозданию в целом: «Будь спокоен и бесстрастен. Пусть земные блага никогда не будут для тебя целью твоих желаний, пусть они будут лишь средством для достижения истинной цели твоей жизни. Поэтому пусть они никогда не будут для тебя предметом страстного вожделения, а просто предметом холодной оценки, которая заставит тебя искать их только в том случае, если разум признает их полезными для осуществления высшей цели и прикажет тебе воспользоваться ими в этих целях» [6, с. 23–24]. Целью такого человека является противостояние земным благам, наслаждениям и удовольствиям, являющимися

злоупотреблениями творениями господ, однако в умеренных количествах ими можно пользоваться как средством. Цель — истинное служение богу, для которого характерно безразличие ко всему мирскому [12, с. 132].

Эта цель характерна не только категории «воинов бога», но и мирянам. Разница заключается в том, какими методами происходит служение богу. Главным же является ответ на вопрос: каково место человека в мироздании? Ответить на него могут все, но единственный правильный ответ — «служение Богу, его восхваление и превознесение для спасения собственной души» [1, с. 131–132]. Иезуит прилагает все усилия для того, «чтобы стремиться главным образом к защите и распространению веры, к преуспеянию душ в христианской жизни и вероучении посредством публичных проповедей, чтений и всякого иного служения Слова Божия, а также Духовных упражнений, обучения христианской вере детей и людей непросвещенных, духовного утешения верных Христу... Всем, кто принесет обеты в этом Обществе, следует понимать и помнить (причем не только сразу после принесения обетов, но и все время, пока они живы), что все сие Общество в целом и каждый из тех, кто приносит в нем обеты, сражается за Бога, проявляя верное послушание Святейшему Господину нашему Папе Павлу III и другим Римским Понтификам, его преемникам» [13].

Таким образом, служение богу становится жизненным кредо иезуита, который создавался именно как воин господ и защитник его интересов на Земле. Он должен был посвящать свою жизнь постоянному служению Христу и папе, исполнять военную службу под знаменем креста, служить только Христу и римскому первосвященнику как его земному наместнику; таким образом, только настоящий папа и его преемники будут повелевать орденом в делах спасения душ и распространения веры [8, с. 331].

Второй категорией социума по классификации ордена иезуитов стали

люди, которых можно назвать филантропами, спонсорами; это представители высших слоев общества, имеющие деньги и власть, которые они направляют на развитие и поддержание католической церкви и ордена. Эта категория подразделялась на несколько более мелких групп. Основу для разделения на социальные слои являет собой документ, созданный орденом в начале XVII века — «*Monita secreta Societas Jesu*» — «Тайные наставления Общества Иисуса». Здесь находятся указания, как приобрести расположение людей, принадлежащих к тому или иному кластеру социума [2, с. 8]. На основе этого документа можно выделить достаточно большое количество представителей общества, которые рассматривались как представители слоя «материальной поддержки» церкви. Тайные наставления являлись результатом той роли, которую иезуиты играли в высших слоях общества, необходимости находить дарителей, чтобы поддерживать бесплатные (для обучающихся — *Авт.*) школы и миссионерские предприятия, строительство храмов и монастырей, а также результатом тех советов благоразумия и ловкости, которые давал Игнатий Лойола в своих философско-религиозных трудах [1, с. 76–77]. Иезуиты же представлялись как благочестивые монахи, действующие во славу божию, пользующиеся огромным влиянием у власть имущих, благодаря чему были вхожи в политику и обладали огромными богатствами. Всего этого они достигли благодаря исполнению инструкций из «Тайных наставлений», которые были превосходным инструментом порабощения сознания и воли людей, не входящих в орден иезуитов [17].

Разделение второй категории на слои происходит на основании критерия полезности того или иного человека для церкви и ордена. Полезность же определяется уровнем его благосостояния, количеством богатств, которыми располагает интересующее орден лицо, его принадлежностью к властным струк-

турам и политическим влиянием. Данное деление было сугубо практическим, и члены ордена постоянно прибегали к помощи этой стратификации. «На нас лежит обязанность ревностно служить на пользу человеческого рода» [15, с. 466]. При этом весь человеческий род должен не менее ревностно служить на благо церкви и ордена. Поэтому исходя из положения индивидов в системе социальных страт определялось и его положение в лоне церкви — насколько он достоин спасения. Каждый человек достоин спасения только в том случае, если он согласен на посредническую функцию клира, ведь только с помощью духовенства, по версии католичества, душа может быть спасена. Поэтому «общество обязано заботиться о спасении ближнего наравне со своим собственным,... чтобы самые могущественные и влиятельные прихожане прониклись чувством любви и удивления к нашему необычному милосердию ко всем» [16, с. 271], после чего проявили бы столь же великое милосердие к ордену, пожертвовав ему часть своего состояния или кусок земли.

Исходя из *Monita secreta* общество Иисуса разделяло данную категорию на следующие страты: государи и влиятельные сановники, власть имущие лица, имеющие политический вес, представители других монашеских орденов, богатые вдовы и их наследники.

Главным слоем в категории филантропов, на который было нацелено основное внимание ордена, был слой правящей элиты — короли и их семьи, приближенные ко двору чиновники. Члены ордена при этом должны «ловко добиваться с помощью влиятельных особ должностей, особенно при посольстве у папы и других сильных государей... Всем, могущим доставить нам выгоду, объяснять высокое значение нашего общества и его достоинство» [16, с. 274]. За счет этого орден добивался для церкви привилегий в виде денежных и земельных пожалований, расширяя тем самым свою сферу влияния. Кроме того, отдельное внимание уделялось людям,

которые могут помочь не только материально, но и в качестве определенного вида услуг: «... для приобретения обществу выгод, для получения разных должностей нужно прибегать к содействию, советам и авторитету этих лиц, и если на них можно вполне положиться, пользоваться их именем для приобретения собственности» [16, с. 275–276]. «Если это лица светские, то надо пользоваться их расположением для содействия против наших противников, снисходительностью их в делах тяжёбных, влиянием их и властью для покупки полей, домов, садов и пустырей, для постройки помещений нашего Общества, преимущественно в тех городах, которые не желают иметь нас у себя» [15, с. 461–462].

Но общество делилось не только по принципу материального благосостояния или объёму властных полномочий. Немаловажной частью обогащения католической церкви были сами религиозные ордена. Духовенство других орденов было ещё одним источником материального обогащения иезуитов, что укрепляло позиции общества и ослабляло его религиозных оппонентов. Епископы, прелаты своим влиянием доставляли ордену все привилегии, доступные им. Кроме того, «Необходимо оказывать им особенное почтение, дабы монастыри, приходские и настоятельские церкви, отправление треб — все это с их помощью перешло в наши руки». Идея в этом была такова, чтобы даже священники-неиезуиты действовали сообразно намерениям ордена, публично восхваляли и прославляли его [16, с. 276].

Как особую категорию представители ордена иезуитов выделяли богатых вдов и наследников, не вступивших в права наследования. Иезуиты забирали под свою власть богатых женщин, оставшихся без мужей, и тщательно берегли их до самой смерти. Кроме того, иезуиты брали под свою опеку и наследников богатых мирян, стараясь ещё более укрепить свое положение в высших слоях общества [3, с. 269–270]. Когда вдова, по-

павшая под влияние иезуитов, решится на монашество, необходимо «... убедить ее, чтобы она отослала из своего дома юношей... Управляющие именным, казначей и другие служащие должны быть взяты по нашему желанию или полностью от нас зависеть» [15, с. 468–469]. При этом вдова или наследник предоставляет все свои доходы в пользу общества, духовенство же представляет им превосходство положения человека, который обратился к богу, отрекся от мира, родных и земных привязанностей.

Необходимо отметить, что церковь и орден иезуитов выделяли эти два слоя в обществе как основные и самые важные.

Третий слой — наиболее массовый и наименее полезный с точки зрения ордена — все остальные, безмолвная паства. Поэтому философские выкладки ордена, пропитанные религией, были рассчитаны в первую очередь на представителей власти и высшие слои. Этот постулат есть уже в формулах об утверждении ордена пап римских Павла III от 27.09.1540 г. и Юлия III от 21.06.1550: «Посему для удобства занятий Общество профессоров может иметь коллегии схоластиков везде, где благочестие подвигнет кого-либо [светских лиц] на их сооружение и снабжение средствами. Мы уже теперь умоляем, чтобы, как только эти коллегии будут построены и снабжены средствами (но не из того имущества, право жаловать которое принадлежит Апостольскому Престолу)» [13]. Пользу для себя церковь находила абсолютно во всем: «Иезуиты пользовались различными источниками обогащения: здесь они выделяют сахарный рафинад, там увеличивают доходы со своих домов, отдавая их в наём дамам легкого поведения и сомнительной нравственности» [9].

Орден иезуитов создавал искусственную стратификацию общества, выделяя в качестве критериев степень полезности индивида для церкви. Первая категория — «воинов господа» — защищала интересы церкви изнутри, ставя

во главу своей миссии поддержание авторитета Ватикана любыми методами исходя из лозунга «Цель оправдывает средства». Вторая категория — «спонсоры бога» — являли собой материальную базу общества иезуитов и католической церкви, оказывая им всяческую поддержку. Третий же тип в этой стратификации — безгласное и безволь-

ное большинство, которое слепо следует за сильными мира сего, поработоченными церковью и иезуитами.

Предназначение человека отделялось от его воли. Теперь место индивида определялось его близостью к церковным структурам, он должен был служить христианскому богу — либо духовно, либо материально. ■

Литература

1. Бемер Г. Иезуиты; Ли Г. Ч. Инквизиция. — СПб : ООО «Изд-во Полигон», 1999. 1248 с. ISBN 5–89173–044–8.
2. Великович Л. Н. Иезуиты вчера и сегодня. — М. : «Знание», 1972. 64 с.
3. Гризингер Т. Иезуиты. Полная история их явных и тайных деяний от основания ордена до настоящего времени. Т. I : пер. со 2-го нем. изд. / Т. Гризингер / Изд. М. О. Вольфа. — СПб : В тип. М. О. Вольфа, 1869. 351 с.
4. Кемеров В. Е. Введение в социальную философию : учебник для вузов. URL: http://modernlib.ru/books/kemerov_vyacheslav_evgenevich/ (дата обращения: 12.03.2014).
5. Коротков В. О. «Духовные упражнения «Игнатия Лойолы как методика создания нового типа личности // «Эврика!» : м-лы семинара аспирантов УрГУПС : сб. научн. тр. / [сост. и научн. ред. Б. С. Сергеев, д-р техн. наук]. Екатеринбург : Изд-во УрГУПС, 2013. — Вып. 15 (198). С. 56–63.
6. Лойола И. Духовные упражнения // Символ. Вып. 26. 1991. С. 15–123
7. Лойола И. Рассказ паломника о своей жизни. — М. : ИФТИ св. Фомы, 2002. ISBN 5–94242–001–7.
8. Павленков Ф. Ф. Будда. Конфуций. Савонарола. Торквемада. Лойола. — СПб : «ЛИО Редактор», 1993. 368 с. ISBN : 5–7058–0199–8
9. Переписка Лаврентия Ганганелли (Папы Климента XIV) и Карла Бертинаци. Письмо 27 от 27 ноября 1764 г. URL: <http://www.vostlit.info> (дата обращения: 14.03.2014).
10. Пуссе Э. Введение к Духовным упражнениям // Символ. Вып. 26. 1991. С. 9–15
11. Современный философский словарь / Под общей ред. д-ра философ. наук В. Е. Кемерова. — 2-е изд., испр. и доп. — Лондон, Франкфурт-на-Майне, Париж, Люксембург, М., Минск : «Панпринт», 1998. 1064 с. ISBN 3–932173–35–X.
12. Тонди А. Иезуиты. М. : Изд-во иностр. лит., 1955. 332 с.
13. Формулы института Общества Иисуса, одобренные и утвержденные Верховными Понтификами Павлом III и Юлием III. URL: <http://www.jesuit.ru> (дата обращения: 12.03.2014).
14. Paris E. The secret history of the Jesuits. Publisher : Chino, Calif. : Chick Publications, 1975. 198 P.
15. Monita secreta // Самарин Ю. Ф. Иезуиты и их отношение к России: Письма к иезуиту Мартынову / Ю. Ф. Самарин. — Изд. 3-е. — М. : Тип. Грачева и К°, 1870. С. 425–456.
16. Monita secreta // Гризингер Т. Иезуиты. Полная история их явных и тайных деяний от основания ордена до настоящего времени, Т. 2 1869. С. 271–307.
17. Campbell Th. J. The Jesuits, 1534–1921. A History of the Society of Jesus from Its Foundation to the Present Time. URL: www.gutenberg.org (дата обращения: 13.03.2014).

References

1. Boehmer H. Iezuity; Lee G. C. Inkvizitsiya. [Boehmer H. Jesuits; Lee G. C. Inquisition.] — SPb : ООО «Izdatelstvo Poligon», 1999. 1248 p. ISBN 5–89173–044–8.
2. Velikovich L. N. Iezuity vchera i segodnya [Jesuits yesterday and today] — М. : «Znanie», 1972. 64 p.
3. Griesinger T. Iezuity. Polnaya istoriya ikh yavnykh i taynykh deyanii ot osnovaniya ordena do nastoyashego vremeni [Complete history of their open and secret activities from the foundation of the Order to the present time] T. I : translated from 2nd German edition /T. Griesinger/ Izd. M. O. Volfa. — SPb : V tip. M. O. Volfa, 1869. 351 p.
4. Kemerov V. E. Vvedenie v sotsialnyu filosofiyu : uchebnyk dlya vuzov. [Kemerov

- V. Introduction to social philosophy : textbook for universities.] URL: http://modernlib.ru/books/kemerov_vyacheslav_evgenevich/ (date accessed: 12.03.2014).
5. Korotkov V. O. «Dukhovnye uprazhneniya « Ignatiya Loyoly kak metodika sozdaniya novogo tipa lichnosti [«Spiritual Exercises' of Ignatius of Loyola as a method of creating a new type of personality] // «Evrika»: m-ly seminar aspirantov USURT : sb. nauchn. tr./ [sost. i nauchn. red. B. S. Sergeev, d-r tekhn. nauk]. Ekaterinburg : USURT Publishing, 2013. — Issue15 (198). P. 56–63.
 6. Loyola I. Dukhovnye uprazhneniya [Spiritual Exercises] // Simvol. Issue 26. 1991. P. 15–123.
 7. Loyola I. Rasskaz palomnika o svoey zhizni. [A pilgrim story about his life] — M. : IFTI sv. Fomy, 2002. ISBN 5–94242–001–7.
 8. Pavlenkov F. F. Budda. Konfutsiy. Savonarola. Torkvemada. Loyola. [Buddha. Confucius. Savonarola. Torquemada. Loyola.] — SPb : «LIO Redaktor», 1993. 368 p. ISBN 5–7058–0199–8.
 9. Perepiska Lavrentiya Ganganelli (Papy Klimenta XIV) i Karla Bertinatsi. Pismo 27 ot 27 noyabrya 1764 g. [Correspondence of Lawrence Ganganelli (Pope Clement XIV) and Carl Bertinazzi. Letter 27th of November 27, 1764] URL: <http://www.vostlit.info>. (date accessed: 14.03.2014).
 10. Pusse E. Vvedenie k Dukhovnym uprazhneniyam [Introduction to the Spiritual Exercises] // Simvol. Issue 26. 1991. P. 9–15.
 11. Sovremenny filosofskiy slovar [Modern philosophical dictionary] / General editor: DSc in Philosophy, V. E. Kemerova. — 2nd edition, revised and enlarged — London, Frankfurt am Main, Paris, Luxembourg, M., Minsk : «Panprint», 1998. 1064 p. ISBN : 3–932173–35–X.
 12. Tondi A. Iezuity. [Jesuits] M. : Publishing house inostr. lit., 1955. 332 p.
 13. Formuly instituta Obschestva Iisusa, odobrennye i utverzhdyonnye Verkhovnymi Pontifikami Pavlom III i Yuliem III. [Formules of the Institute of Society of Jesus, approved and endorsed by the Supreme Pontiff Paul III and Julius III.] URL: <http://www.jesuit.ru>. (date accessed: 12.03.2014).
 14. Paris E. The secret history of the Jesuits. Publisher : Chino, Calif. : Chick Publications, 1975. 198 P.
 15. Monita secreta // Samarin Yu. F. Iezuity i ikh otnoshenie k Rossii: Pisma k iezuitu Martynovu [Jesuits and their attitude to Russia: Letters to the Jesuit Martynov] / Yu.F. Samarin. — Izd. 3-e. — M. : Tip. Gracheva i K°, 1870. P. 425–456.
 16. Monita secreta // Griesinger T. Iezuity. Polnaya istoriya ikh yavnykh i taynykh deyanii ot osnovaniya ordena do nastoyaschego vremeni, [Complete history of their open and secret activities from the foundation of the Order to the present time.] T. 2 1869. P. 271–307.
 17. Campbell Th. J. The Jesuits, 1534–1921. A History of the Society of Jesus from Its Foundation to the Present Time. URL: www.gutenberg.org. (date accessed: 13.03.2014).

Статья сдана в редакцию 20 апреля 2014 года

УДК 93: 261.8

*В. С. Блохин***Деятельность армянской церкви в России в 1717–1828 гг.**

UDC 93: 281.6

*V. S. Blokhin***Activities of Armenian church in Russia in 1717–1828****Аннотация**

Проанализированы условия, повлиявшие на возникновение и развитие двух армянских епархий на территории России в 1717–1828 гг. — Ново-Нахичеванской (первое название — Астраханская) и Бессарабской, укрепление армяно-русских конфессиональных связей, право свободной деятельности армянской церкви на территории Российской империи. Существенное значение придается окончательному закреплению высшего управления армянскими церковными общинами в России за эчмиадзинским католикос-патриархом, несмотря на то, что его резиденция — исторический центр армянской церкви — находилась пока вне границ империи.

Согласно предлагаемой автором периодизации, рассматриваемый этап является вторым в истории тысячелетних армяно-русских конфессиональных связей.

Новизна статьи заключается в том, что аспекты деятельности армянской церкви в России в указанный период проанализированы с опорой на имеющиеся в настоящее время опубликованные источники и работы историков. Использованы новейшие результаты архивных исследований, касающиеся численности армянских общин в российских городах, количества построенных армянских храмов и монастырей.

Ключевые слова: христианство; конфессиональные связи; межцерковный диалог; армянская церковь; русская православная церковь; армянская община; армянская епархия.

Summary

The conditions that influenced the emergence and development of the two Armenian dioceses in Russia in 1717–1828 — New Nakhichevanskaya (former name — Astrakhanskaya) and Bessarabskaya Diocese, the strengthening of the Armenian-Russian confessional relations, the right of the Armenian Church to carry out its activities freely in the Russian Empire are analyzed. Significant importance is attached to the eventual concentration of high-level control over Armenian Church communities in Russia in the hands of Echmiadzin Catholicos-Patriarch, despite the fact that his residence — the historic center of the Armenian Church — was yet beyond the borders of the Empire.

According to the periodization proposed by the author, this stage, as being considered, is the second one in the history of the Armenian-Russian millennial confessional ties.

The novelty of the paper is that aspects of activities of the Armenian Church in Russia during the period are analyzed relying on currently available published sources and historians' work. The latest archival research results are used, concerning the number of Armenian communities in Russian cities, the number of Armenian churches and monasteries built.

Keywords: Christianity; confessional communications; interchurch dialogue; Armenian Church; Russian Orthodox Church; Armenian community; Armenian diocese.

Актуальность изучения армяно-русских конфессиональных связей обусловлена рядом причин. Во-первых, в процессе укрепления современных религиозных связей России и Армении значимую роль играет межхристианский богословский диалог. Во-вторых, взаимоотношения армянской и русской православной церкви исторически приобрели братский характер, что проявляется в настоящее время в многообразии форм межцерковного сотрудничества и социального служения. В-третьих, из-за значительного роста армянских общин в течение последних 10–15 лет в России появились новые армянские приходы и храмы. Ярким примером служит Екатеринбург. 12 октября 2013 г. уральскую землю впервые посетил глава армянской апостольской церкви католикос-патриарх Гарегин II (Нерсисян), возглавивший освящение екатеринбургского армянского храма во имя святого Иоанна Крестителя (Сурб Карапет). Возведение таких храмов в российских регионах осуществляется при активной поддержке православных священнослужителей.

Возникновение связей между двумя церквями — армянской апостольской и русской православной — относится к эпохе Древней Руси [1]. Более тесное их взаимодействие началось в XVIII в., когда поселившимся на русских землях армянам были предоставлены привилегии от правительства России. Речь идет об этапе армяно-русских церковных связей, охватившим период 1717–1828 гг., — от создания первой армянской епархии на русских землях до присоединения Восточной Армении к России [2].

К началу XVIII в. крупная армянская община сложилась на юге России — в Астрахани. Исследователь Э. В. Кургышева приводит данные, что к 1724–1725 гг. общая численность мужского населения армянской общины Астрахани превышала 500 человек [3]. Свидетельством постоянного проживания армян в Астрахани и сплоченности общины

выступает тот факт, что еще в документах начала XVII в. имеются упоминания о местных армянских священниках, а к 1640 г. был построен деревянный армянский храм [4]. В 1706 г. по прошению купца Б. К. Богданова и последующему указу царя Петра I в Астрахани началось строительство каменного армянского собора во имя успения пресвятой богородицы (Сурб Аствацацин), имевшего два придела — во имя святого Иоанна Крестителя и святителя Григория Просветителя.

Активная деятельность армянской общины привела к тому, что в 1717 г. в Астрахани была образована первая российская епархия армянской апостольской церкви. Произошло это при эчмиадзинском католикосе Аствацатуре I (Амаданци, 1715–1725), назначившим епархиальным начальником архиепископа Степаноса (Галатацци). Образование епархии мы считаем важнейшим рубежом в армяно-русских церковных связях. Во-первых, на протяжении XVIII–начала XIX в. она будет включать все армянские церкви на территории Российской империи. Во-вторых, — астраханская епархия станет основой для формирования отдельной церковной структуры армянской церкви на территории России.

Петровская эпоха отличалась проведением покровительственной политики по отношению к армянскому населению. В указе царя сенату от 13 апреля 1711 г. говорилось: «Армян как возможно приласкать и облегчить, в чем пристойно, дабы тем подать охоту для большего их приезда» [5]. С увеличением численности армянского населения в русских городах значение конфессионального фактора в отношениях Армении и России заметно возросло, о чем свидетельствуют следующие события.

Прежде всего, согласно грамоте Константинопольского патриарха Иеремии III (1716–1726) от 31 августа 1718 г., адресованной Петру I, официально признавалась близость армян православному вероисповеданию [6]. Последовавший 5 июля 1719 г. сенатский указ пред-

писывал православным священникам соблюдать церковные правила при совершении крещения и брака армян [7]. Следовательно, мы можем констатировать конструктивный характер эволюции вопроса о догматическом тождестве православия и армянской веры в русском церковном сознании.

Затем, в 1722 г., на соборе высшего духовенства в Эчмиадзине под председательством католикоса Аствацатура I принято историческое решение о направлении императору Петру I посольства с просьбой содействовать армянской церкви в сплочении армянского народа вокруг патриаршего престола. В марте 1723 г. послы прибыли в Петербург, где получили грамоту, закрепившую именно за эчмиадзинским католикосом преимущество в управлении церковными делами всех проживающих в России армян. В 1726 г. грамота была подтверждена императрицей Екатериной I [8]. Данное обстоятельство является значимым, т.к. право управления российскими армянами оспаривалось в то время другими армянскими церковными иерархами (в частности, Гандзасарским).

Далее в привилегии г. Оренбургу от 7 июля 1734 г. сообщалось о предоставлении всем иноверцам (именно к этой социально-религиозной группе принадлежало тогда армянское население) свободного отправления их вер и права строительства церквей [9]. Наконец, в манифесте 22 февраля 1735 г. подтверждалось «дозволение свободного богослужения всем христианским вероисповеданиям в России» [10].

К 1736 г. в Астрахани был построен второй — деревянный — храм во имя святого великомученика Георгия с часовней. Однако это произошло без согласия с российским правительством и святейшим синодом [11].

Императрица Елизавета Петровна придерживалась двойственного курса в отношении армянских религиозных дел. С одной стороны, указом 16 января 1742 г. было решено, чтобы «церкви армянские, кроме одной каменной

в Астрахани, все недавно построенные упразднить» [12]. Вследствие этого российские власти закрыли Георгиевский деревянный храм в Астрахани и приостановили строительство каменной церкви в Петербурге [13], которая должна была объединить первый армянский приход столицы, созданный стараниями священника Ивана Шеристанова и купца Луки Ширванова [14]. С другой стороны, сенатский указ 13 апреля 1744 г. дал возможность армянам «отправлять богослужение беспрепятственно» [15].

Укрепление покровительственной политики к армянскому населению и армянской церкви в России нашло отражение в деятельности императрицы Екатерины II.

9 июня 1763 г. вышел указ сенату о позволении иностранцам, поселяющимся в России, строить и содержать свои церкви «в тех местах, где они селиться пожелают» [16]. Тогда же в Астрахани, где к этому времени насчитывалось до 500 армянских дворов, включавших почти 4 тыс. человек [17], началось строительство третьего армянского храма во имя апостолов Петра и Павла (Сурб Погос-Петрос). А в 1770 г. последовал именной указ императрицы о «дозволении построить армянские церкви в Москве и в Санкт-Петербурге» [18].

1760-е гг. ознаменовались установлением официальных отношений армянской церкви с Россией. Главную роль в этом процессе сыграл католикос-патриарх всех армян Симеон I (Ереванци, 1763–1780), отправивший в Петербург своего представителя, архимандрита Давида, с грамотой от 1 августа 1766 г., в которой говорилось, «чтобы обитающие в империи люди, исповедания святого Григория Просветителя Великой Армении, как доньше были и впредь остаться могли по духовным обстоятельствам в ведомстве и в распоряжениях церковных во власти его патриаршего престола» и «чтобы определяемый над ними архиепископ был по избранию сего престола, неизвестных же ему патриарху и самовольным

из других краев въезд архиепископам запретить» [19]. Прибыв в российскую столицу, Давид привез Екатерине II ценные дары: частицы мощей святого Иоанна Крестителя, святой Рипсимэ, великомученика Георгия Победоносца и частицы Ноева ковчега.

Католикос Симеон заручился также помощью главы астраханской епархии русской православной церкви епископа Мефодия (1758–1776) и некоторых проживающих в Москве и Петербурге армян, прося их оказать содействие благоприятному исходу посольства архимандрита Давида.

Миссия Давида имела успех. Указом Екатерины II от 30 июня 1768 г. окончательно подтверждено право юрисдикции эчмиадзинского католикоса над всеми армянами России. В состав единственной тогда астраханской армянской епархии входили все общины от Моздока и Кизляра до Санкт-Петербурга и Москвы. В ознаменование установления официальных связей между Эчмиадзином и Петербургом и в целях повышения епархиального статуса католикос Симеон в 1773 г. закрепил за астраханской епархией название российской.

Таким образом, плодотворные усилия архимандрита Давида заключались в том, что отныне армянские общины и армянская церковь могли всегда рассчитывать на покровительство и защиту российского правительства [20].

Отношение русского православного духовенства к армянским храмам носило неоднозначный характер. Предстоятель астраханской епархии русской православной церкви епископ Мефодий в 1760 г. отправил в святейший синод письмо, в котором сообщал о том, что колокола армянского Успенского собора весят 35 и 20 пудов. Поскольку «армянская церковь в Астрахани построена в близком расстоянии от православных церквей и во время службы по армянскому закону в те колокола благовестят и звонят, что приезжающие в Астрахань из верховых (городов) разного звания люди, российские подданные, идут в ту церковь, почитая ее

за православную» [21]. Владыка Мефодий просил заменить мощные колокола армянского собора на двухпудовые, однако его просьба осталась не удовлетворенной [22]. На наш взгляд, данное обстоятельство можно рассматривать как косвенный аргумент в защиту тезиса об адекватном отношении рядового русского люда к армянской вере; православное население Астрахани видело в армянском храме выражение религиозной идентичности и никак не «ересь», которую усматривали в средневековые представители греческого православия.

В последней трети XVIII в. армянская община Санкт-Петербурга была представлена промышленниками и купцами, среди которых особо выделялись Моисей Бунятов, Григорий Кампанов, Моисей Сафаров, Артемий Мануилов, Богдан Ахвердов, Петрос Ширванов, Маргар Манучарян. Среди армян были широко образованные люди, занимавшиеся просвещением своих соотечественников и представителей русского общества. Так, большую роль в культурной жизни общины сыграл Григорий Халдарян, который в 1783 г. в доме № 40 по Невскому проспекту основал первую в городе армянскую типографию, где были напечатаны богословские («Догмат покаяния Шнорали», «Египше») и богослужебные («Часослов», «Богомолье: молитвенник католикоса Лазаря», «Евангелие обедни») книги, а также первый армяно-русский словарь.

На рубеже XVIII–XIX столетий в разное время в столице проживали офицеры-армяне — участники Отечественной войны 1812 г.: генерал от инфантерии, кавалер ордена Святого Андрея Первозванного В. О. Бебутов и генерал-лейтенант кавалерии В. Г. Мадатов, похороненный в некрополе Александро-Невской лавры, генерал-майор артиллерии, начальник арсеналов в Киеве и в Петербурге И. С. Абамелек, генерал-майор, командир лейб-гвардии гусарского полка Д. С. Абамелек, генерал-лейтенант Д. И. Ашхарумов, генерал-майор Д. А. Делянов.

Главой российской армянской епархии в 1773 г. стал энергичный деятель армянской церкви архиепископ Иосиф Аргутинский (Овсеп Аргутян), сыгравший выдающуюся роль в становлении армяно-русских религиозных связей [23]. Владыка Иосиф пользовался высоким авторитетом в кругах высших чинов российского правительства, ему благоволили известные иерархи русской церкви — московский митрополит Платон (Левшин) и Петербургский митрополит Гавриил (Петров). Иосиф Аргутинский оказал большое содействие успешному переселению крымских армян из Крыма в Таганрогскую губернию, в результате чего сформировались армянские поселения и храмы в Азове, Ново-Нахичевани и Григориополе и в селах вокруг них, а российская армянская епархия в 1780 г. была переименована в Ново-Нахичеванскую.

В 1783 г. владыка Иосиф составил проект освобождения Армении, предусматривавшим восстановление Армянского царства под протекторатом России и принцип независимости армянской церкви от светской власти [24]. Иначе говоря, армянская церковь реально мыслилась как возможный инициатор освобождения Армении и носитель армянского политического суверенитета.

При Иосифе Аргутинском был сделан очередной шаг в закреплении юридических прав армянской церкви в России: в 1785 г. была учреждена консистория для армянских священнослужителей — орган высшего церковного суда, — находившаяся в подчинении третьему департаменту сената [25]. В Петербурге, Москве, Астрахани, Кизляре, Моздоке и др. городах появились духовные правления.

Управляя ново-нахичеванской епархией, Иосиф написал «Исповедание христианской веры Армянской Церкви», изданное на русском языке в 1799 г. [26]. Цель данной публикации заключалась в том, чтобы показать российским властям и представителям русской церкви особенности армянского вероучения, которое идентично православному.

Значимость «Исповедания» проявилась еще и в том, что оно стало первым богословским сочинением армянской церкви, опубликованным на русском языке.

Отмечая церковные и гражданские заслуги Иосифа Аргутинского, император Павел I высочайшей грамотой от 28 октября 1799 г. даровал российским армянам вечное право на исповедание своей веры, подтвердил разрешение строить армянам церкви, монастыри, колокольни и другие церковные здания [27]. В свою очередь, русская церковь указом синода от 24 августа 1797 г. разрешала православным священникам совершать погребение «умерших других христианских религий людей в случае небытности их священников и пасторов» [28], в том числе армян.

Итак, очевиден тот факт, что сотрудничество владыки Иосифа с российскими правительственными и церковными кругами существенно повлияло на стабильность правового статуса армянской церкви в империи.

Увеличение численности представителей армянской общины в Петербурге при Иосифе Аргутинском привело к появлению двух армянских храмов: во имя святой великомученицы Екатерины (Сурб Катаринэ) на Невском проспекте — образец русского раннего классицизма, архитектор Ю.М. Фельтен (по разным данным она была построена в 1780–1789 гг. [29]); воскресения Христова (Сурб Арутюн) на реке Смоленке, возведенный в 1791–1794 гг.

В то же самое время функционировали две армянские церкви в Москве: храм успения пресвятой богородицы (Сурб Аствацацин), ведущий свою историю еще с XVI в., первоначально располагавшийся на посольском дворе в Китай-городе, а к 1731 г. перенесенный в Грузинскую слободу; храм Воздвижения животворящего креста господня (Сурб Хач) в Столповом (ныне Армянском) переулке, построенный в 1779–1780 гг. в лучших традициях классицизма; предположительно, автором этого храма, как и Екатерининского в Петербурге, был Ю.М. Фельтен [30].

Строительство московских армянских храмов связано с родом богатого купца и ювелира Лазаря Назаровича Лазарева (Егиазара Лазаряна, 1700–1782). Лазаревы поселились в Москве в конце 1750-х гг., а Столпов переулок был тем самым районом, в котором стали проживать армяне. В конце XVIII в. появилось армянское кладбище на Ваганькове, где хоронили главным образом купцов и ремесленников-армян.

Летом 1800 г. Иосиф Аргутинский был избран католикосом и патриархом всех армян, однако скорая кончина прервала земной путь первосвященителя. Преемниками архиепископа Иосифа на Ново-Нахичеванской кафедре стали архиепископы Епрем (Дзорагехци, 1800–1809) и Ованнес (Акопян, 1809–1829).

В 1809 г. на территориях, завоеванных Россией во время русско-турецкой войны (1806–1812) указом императора Александра I была основана вторая армянская епархия — Бессарабская — с центром в Яссах. Однако по Бухарестскому мирному договору 1812 г., когда территория между Прутом и Днестром вошла в состав России, а г. Яссы вновь отошел к Османской империи, центром епархии в том же году стал Кишинев. Епархия объединила армянские общины Бессарабии, насчитывавшие 400 приходов и 5 храмов [31]. Первым главой епархии был архиепископ Григор (Захарян). О его судьбе известно, что он был посвящен в сан епископа в Эчмиадзине Католикосом Даниилом вскоре после смерти Иосифа Аргутинского. Назначен епархиальным начальником Бессарабии в 1806 г. Современные исследователи В. Г. Вартанян и С. С. Казаров сообщают, что в 1827 г., отправившись в г. Суэву в Буковине, Григор скончался там и был погребен в монастыре богоматери, называемом Хаджакадар [32].

После его смерти в 1828 г. временное заведование Бессарабской епархией принадлежало архиепископу Иоаннесу Нерсисяну (Гарнакеряну), начальнику астраханской епархии, которого в мае 1828 г. сменил архиепископ Нерсес Аштаракеци [33].

В. Г. Вартанян и С. С. Казаров сообщают, что управление обоими армянскими епархиями в России осуществлялось с помощью духовного административного органа — консистории, состоявшей из трех членов и одного письмоводителя. Большой территориальный охват епархий и рассредоточенность паствы привели к необходимости создания духовных правлений. Они располагались в обеих столицах (Петербурге и Москве) и городах Григориополе, Карасубазаре, Нахичевани-на-Дону. Каждое состояло из двух священников (либо священника и архимандрита), лишь в Нахичеванском было три священника [34].

В начале XIX столетия в связи с проведением активного внешнеполитического курса российского правительства в Закавказье, интерес русского общества к Армении, ее историческому, культурному и церковному наследию еще более возрос. В Петербургском университете с 1818 г. началось преподавание армянского языка, а в 1849 г. была создана кафедра армянского языка и литературы. В разные годы здесь работали такие крупные арменоведы, как Н. Бероев, К. П. Патканян, С. И. Назарянц, Н. Я. Марр, И. А. Джавахишвили, И. А. Орбели, Н. Г. Адонц, Б. Б. Пиотровский.

На протяжении 1810–1817 дела армянской церкви в России находились в ведении Главного управления духовных дел разных (иностранных) исповеданий, с 1817 по 1824 гг. — департамента духовных дел министерства духовных дел и народного просвещения, с 1824 по 1832 гг. дела армянской церкви в России вновь находились в ведении воссозданного Главного управления духовных дел иностранных исповеданий. В 1832 г. Главное управление было преобразовано в департамент духовных дел и включено в структуру Министерства внутренних дел. 6 августа 1880 г. департамент выделен из состава министерства в качестве отдельного ведомства, а 16 марта 1881 г. департамент вновь восстановлен в структуре министерства внутренних дел, где пребывал до 1917 г.

Важнейшие события, связанные с деятельностью Армянской церкви
на территории России в 1717–1828 гг.

| Даты | События |
|------------------------|--|
| 1717 г. | В Астрахани образована первая на территории России епархия армянской апостольской церкви |
| Рубеж 1724–1725 гг. | Армянская община Астрахани насчитывала более 500 человек мужского пола. Построен первый каменный армянский храм во имя успения пресвятой богородицы (Сурб Аствацацин) |
| 31 августа 1718 г. | Согласно грамоте Константинопольского патриарха Иеремии III (1716–1726), адресованной Петру I, официально признавалась близость армян православному вероисповеданию |
| 5 июля 1719 г. | Указ российского сената предписывал православным священникам соблюдать церковные правила при совершении крещения и брака армян |
| 1723 г. | Император Петр I закрепил за эчмиадзинским католикосом преимущество в управлении церковными делами всех проживающих в России армян |
| 1731 г. | Существовавший в Москве с XVI в. армянский храм успения пресвятой богородицы (Сурб Аствацацин), первоначально располагавшийся на посольском дворе в Китай-городе, был перенесен в Грузинскую слободу |
| 1734–1735 гг. | Всем христианским вероисповеданиям (включая армян) предоставлялось право свободно совершать богослужения и строить свои храмы |
| 1736 г. | Строительство в Астрахани второго — деревянного — храма во имя святого великомученика Георгия (Сурб Геворк) |
| 1763 г. | В Астрахани положено начало строительству третьего армянского храма во имя апостолов Петра и Павла (Сурб Погос-Петрос) |
| 1770 г. | Указ императрицы Екатерины II о разрешении строительства армянских храмов в Москве и Санкт-Петербурге |
| 1773 г. | Астраханская епархия армянской церкви переименована в российскую |
| 1779–1780 гг. | Строительство храма воздвижения креста господня (Сурб Хач) в Столповом (ныне Армянском) переулке Москвы |
| 1780 г. | Российская епархия армянской церкви переименована в ново-нахичеванскую |
| 1780–1789 гг. | Строительство армянского храма во имя святой великомученицы Екатерины (Сурб Катаринэ) на Невском проспекте в Петербурге |
| 1791–1794 гг. | Строительство армянского храма воскресения Христова (Сурб Арутюн) на реке Смоленке в Петербурге |
| 1799 г. | В России впервые на русском языке выходит «Исповедание христианской веры Армянской церкви», написанное архиепископом Иосифом Аргутинским |
| 1809 г. | Основана вторая в России армянская епархия — бессарабская |
| 1828 г. | Вхождение Восточной Армении (включая Эчмиадзин и все армянские приходы Закавказья) в состав Российской империи |

Таким образом, в рассматриваемый нами период (1717–1828 гг.) на территории Российской империи сформировались две армянские епархии (ново-нахичеванская и бессарабская), насчитывавшие в общей сложности 48 армянских церковных общин: три монастыря (Сурб Хач в г. Старый Крым Таврической губернии (ныне г. Старый Крым), Сурб Аменапркич в с. Карасубазар Таврической области (ныне г. Белогорск, Крым) и Сурб Хач в Ново-

Нахичевани области войска донского (ныне г. Ростов-на-Дону) [35]; две часовни: в Екатеринодаре Кубанской области (ныне Краснодар, Россия) и в с. Парбуж Кавказской области (ныне входит в г. Буйнакск, Республика Дагестан) [36], — 43 храма, 17 из которых были освящены в честь успения пресвятой богородицы [37].

На укрепление армяно-русских церковных отношений повлияла ярко выраженная покровительственная политика

Российской империи в отношении. В XVIII в. армянская церковь получила право свободной деятельности на территории России. Благодаря Екатерине II высшее управление армянскими церковными общинами в России было окончательно закреплено за католикосом-патриархом всех армян, несмотря на то, что территория Восточной Армении с Эчмиадзином находилась пока вне границ империи.

После 1828 г. армянские общины и епархии получили еще больший импульс к распространению на российских землях. Армянская тематика начала входить в круг научных интересов русских историков, богословов, общественных деятелей и публицистов XIX в. [38]. В первую очередь исследователи того времени особое внимание уделяют публикации источников, связанных с историей Армении. ■

Литература

1. Об условиях возникновения армяно-русских церковных отношений в Киевской Руси и их последующей динамике см. : Айвазян К. В. История отношений русской и армянской церквей в средние века / Ред. С. С. Аревшатян. Ереван : Изд-во АН АрмССР, 1989; Армянские церкви Российской империи (1717–1917) / Ред. колл. Вирабян А. С., Мирзоян С. С., Крбежян В. Г., Авакян Г. Г. Ереван : Тигран Мец, 2009. ISBN 978–99941–0–341–6; Бозоян А. А., Юзбашян К. Н. и др. Армянская Апостольская Церковь // Православная Энциклопедия / Под ред. патриарха Московского и всея Руси Алексия II. Т. III: Анфимий–Афанасий. М. : Церковно-научный центр «Православная Энциклопедия», 2001. С. 329–355; Лебедев А. Вероисповедное положение армян в России до времен Екатерины II (включительно). М. : Издание Имп. об-ва истории и древностей российских при Моск. ун-те, 1909; Тер-Саркисянц А. Е. История и культура армянского народа с древнейших времен до начала XIX в. / А. Е. Тер-Саркисянц; Ин-т этнологии и антропологии им. Н. Н. Миклухо-Маклая. 2-е изд. М. : Вост. лит., 2008. С. 370–394. ISBN 978–5–02–036341–0.
2. Блохин В. С. Армяно-русский конфессиональный диалог: исторический аспект // Церковь. Богословие. История : материалы II Всероссийской научно-богословской конференции (Екатеринбург, 12 февраля, 2014 г.). Екатеринбург : Информ.-изд. отдел ЕДС, 2014. С. 35–37. ISBN 978–5–8295–0249–2.
3. Собрание актов, относящихся к обозрению истории армянского народа. М., 1833. Ч. 1. С. 6; Кутрышева Э. В. История армян в Астрахани. Астрахань : ГП АО «Издательско-полиграфический комплекс «Волга», 2007. С. 134.
4. Кутрышева Э. В. История армян в Астрахани. Астрахань : ГП АО «Издательско-полиграфический комплекс «Волга», 2007. С. 132–133; Хачатурян В. А. Из истории армянских колоний. Поселение в Астрахани // Литературная Армения. 1972. № 4. С. 92.
5. Собрание актов, относящихся к обозрению истории армянского народа. М., 1833. Ч. 1. С. 7.
6. Доктусов Н. П. Армянская Церковь (история ее взаимоотношений с церковью Вселенской; ее вероучение и обряды сравнительно с православными). Загорск : Свято-Троицкая Сергиева Лавра, 1950. Рукопись. С. 276.
7. Там же.
8. Умнов А. Исторический юбилей (К 150-летию вхождения Армении в состав России) // Журнал Московской Патриархии. 1979. № 3. С. 64.
9. Собрание актов, относящихся к обозрению истории армянского народа. М., 1833. Ч. 1. С. 14.
10. Там же. С. 95–96.
11. Кутрышева Э. В. История армян в Астрахани. Астрахань : ГП АО «Издательско-полиграфический комплекс «Волга», 2007. С. 135.
12. Цит. по : Лебедев А. Вероисповедное положение армян в России до времен Екатерины II (включительно). М. : Издание Имп. Об-ва истории и древностей российских при Моск. ун-те, 1909. С. 25.
13. Бозоян А. А., Юзбашян К. Н. и др. Армянская Апостольская Церковь // Православная Энциклопедия / Под ред. патриарха Московского и всея Руси Алексия II. Т. III : Анфимий–Афанасий. М. : Церковно-научный центр «Православная Энциклопедия», 2001. С. 352.

14. Собрание актов, относящихся к обозрению истории армянского народа. М., 1833. Ч. 1. С. 15; Базиянц А. П. Над архивом Лазаревых (Очерки) / Отв. ред. акад. Б. Б. Пиотровский. М. : Главная редакция восточной литературы издательства «Наука», 1982. С. 16–17.
15. Собрание актов, относящихся к обозрению истории армянского народа. М., 1833. Ч. 1. С. 17.
16. Там же. С. 24.
17. Армянские церкви Российской империи (1717–1917) / Ред. колл. Виранян А. С., Мирзоян С. С., Крбемян В. Г., Авакян Г. Г. Ереван : Тигран Мец, 2009. С. 30. ISBN 978–99941–0–341–6; Кутрышева Э. В. История армян в Астрахани. Астрахань : ГП АО «Издательско-полиграфический комплекс «Волга», 2007. С. 134.
18. Собрание актов, относящихся к обозрению истории армянского народа. М., 1833. Ч. 1. С. 27.
19. Цит. по : Эзов Г. А. Начало сношений Эчмиадзинского патриаршего престола с русским правительством. Историческое исследование по неизданным документам. Тифлис : Скоропечатня М. Мартиросянца, 1901. С. 5.
20. Там же. С. 8.
21. Цит. по : Кутрышева Э. В. История армян в Астрахани. Астрахань : ГП АО «Издательско-полиграфический комплекс «Волга», 2007. С. 137.
22. Там же.
23. Триста лет служения на русской земле // Армянская Церковь. 2006. № 4. С. 60; Иосиф Аргутинский (биографическая справка) // Армянская Церковь. 2006. № 4. С. 65; Эзов Г. А. Начало сношений Эчмиадзинского патриаршего престола с русским правительством. Историческое исследование по неизданным документам. Тифлис : Скоропечатня М. Мартиросянца, 1901. С. 38–43.
24. Киняпина Н. С., Блиев М. М., Дегоев В. В. Кавказ и Средняя Азия во внешней политике России (вторая половина XVIII–80-е годы XIX в.). М. : Изд-во Московского ун-та, 1984. С. 46.
25. Собрание актов, относящихся к обозрению истории армянского народа. М., 1833. Ч. 1. С. 205.
26. Исповедание христианская веры Армянская Церкви / Переведенное с армянского на русский язык и изданное тцанием преосв. Иосифа, архиеп. всего армянского народа, обитающего в России, и кавалера кн. Аргутинского-Долгорукаго. СПб., 1799.
27. Собрание актов, относящихся к обозрению истории армянского народа. М., 1833. Ч. 1. С. 204.
28. Там же. С. 32.
29. Базиянц А. П. Над архивом Лазаревых (Очерки) / Отв. ред. акад. Б. Б. Пиотровский. М. : Главная редакция восточной литературы издательства «Наука», 1982. С. 19; Бозоян А. А., Юзбашян К. Н. и др. Армянская Апостольская Церковь // Православная Энциклопедия / Под ред. патриарха Московского и всея Руси Алексия II. Т. III : Анфимий–Афанасий. М. : Церковно-научный центр «Православная Энциклопедия», 2001. С. 352.
30. Айвазян К. В. История отношений русской и армянской церквей в средние века / Ред. С. С. Аревшатян. Ереван : Изд-во АН АрмССР, 1989. С. 133; Армянские церкви Российской империи (1717–1917) / Ред. колл. Виранян А. С., Мирзоян С. С., Крбемян В. Г., Авакян Г. Г. Ереван : Тигран Мец, 2009. С. 177. ISBN 978–99941–0–341–6.
31. Бозоян А. А., Юзбашян К. Н. и др. Армянская Апостольская Церковь // Православная Энциклопедия / Под ред. патриарха Московского и всея Руси Алексия II. Т. III : Анфимий–Афанасий. М. : Церковно-научный центр «Православная Энциклопедия», 2001. С. 349.
32. Вартамян В. Г., Казаров С. С. Армянская Апостольская Церковь на Дону : 2-е изд., перераб. и доп. Таганрог : Изд-во ТИУиЭ, 2008. С. 18.
33. Собрание актов, относящихся к обозрению истории армянского народа. М., 1833. Ч. 1. С. 55.
34. Вартамян В. Г., Казаров С. С. Армянская Апостольская Церковь на Дону : 2-е изд., перераб. и доп. Таганрог : Изд-во ТИУиЭ, 2008. С. 18.
35. Армянские церкви Российской империи (1717–1917) / Ред. колл. А. С. Виранян, С. С. Мирзоян, В. Г. Крбемян, Г. Г. Авакян. Ереван : Тигран Мец, 2009. С. 103–105, 207, 272. ISBN 978–99941–0–341–6.
36. Там же. С. 87, 229.

37. Данные приводятся с опорой на материалы, опубликованные в энциклопедическом издании: Армянские церкви Российской империи (1717–1917) / Ред. колл. А. С. Вирабян, С. С. Мирзоян, В. Г. Крбемян, Г. Г. Авакян. Ереван : Тигран Мец, 2009. С. 15–16, 18–29, 47–48, 62–66, 67–70, 93, 100, 103–105, 113–120, 128, 153, 164–168, 171, 178, 185, 189–190, 193–207, 214, 256, 266, 289, 302–303, 311, 321. ISBN 978–99941–0–341–6.
38. Блохин В. С. Армянская церковь в русской публицистической и научной литературе XIX–начала XX в. // ՀՀ անկախության 20-ամյակին նվիրված «Ազգ, պետության, հայրենիք. Պետականության գաղափարը» երիտասարդ գիտնականների միջազգային գիտաժողովի (2011 թ. Նոյեմբեր 6–8, Ծաղկաձոր) հոդվածների ժողովածու (К 20-летию независимости Республики Армения «Народ, государство, родина. Идея государственности» : Международная конференция молодых ученых (2011 г., 6–8 ноября, Цахкадзор) : Сборник статей). Ереван, 10. Արվյանի անվան ՀՊՄՀ, 2012. էջ 18–25. ISBN 978–99941–69–29–0; Բյուրին Վ. Հայ եկեղեցու վերաբերյալ աստվածաբանական կարծրատիպերը ռուսաստանյալ հասարակական գիտակցության մեջ XIX դարում եւ XX դարասկզբին // Բանբեր Երեւանի համալսարանի. Հասարակական գիտություններ : Հայագիտություն. 141.1. Երեւան, 2013. էջ. 45–51 (Блохин В. С. Преодоление богословских стереотипов об Армянской Церкви в российском общественном сознании XIX–начала XX в. // Вестник Ереванского университета. Серия : Общественные науки. Арменоведение. 141.1. Ереван, 2013. С. 45–51). ISSN 0321–0405.

References

1. Ob usloviyakh vozniknoveniya armyano-russkikh tserkovnykh otnosheniy v Kievskoy Rusi i ikh posleduyushey dinamike sm. [Regarding the context of origination of Armenian-Russian Church relations in Kievan Rus' and their subsequent dynamics see] Ayvazyan K. V. Istoriya otnosheniy russkoy i armyanskoy tserkvey v srednie veka [The history of relations between the Russian Church and Armenian Church in the Middle Ages] / Edited by S. S. Arevshatyan. Erevan : Izd-vo AN ArmSSR, 1989; Armyskie tserkvi Rossiyskoy imperii (1717–1917) [Armenian churches of the Russian Empire (1717–1917)] / Editorial panel Virabyan A. S., Mirzoyan S. S., Krbekyan V. G., Avakyan G. G. Erevan : Tigran Mets, 2009. ISBN 978–99941–0–341–6; Bozoyan A. A., Yuzbashyan K. N. et al. Armyskaya Apostolskaya Tserkov [Armenian Apostolic Church] // Pravoslavna Entsiklopediya [Orthodox Encyclopedia] / Edited by Patriarch of Moscow and all Russia Aleksiy II. Vol. III : Anfimiy–Afanasiy. M. : Tserkovno-nauchny tsentr «Pravoslavna Entsiklopediya», 2001. P. 329–355; Lebedev A. Verospovednoe polozhenie armyan v Rossii do vremen Ekateriny II (vkluyuchitelno). [Religious status of Armenians in Russia up to the time of Catherine II (inclusive)] M. : Izdanie Imp. ob-va istorii i drevnostey rossiyskikh pri Mosk. un-te, 1909; Ter-Sarkisyants A. E. Istoriya i kultura armyanskogo naroda s drevneyshikh vremen do nachala XIX v. [History and culture of Armenian people from ancient times to the beginning of the XIX century.] / A. E. Ter-Sarkisyants; In-t etnologii i antropologii im. N. N. Miklukho-Maklaya. 2-e izd. M. : Vost. lit., 2008. P. 370–394. ISBN 978–5–02–036341–0.
2. Blokhin V. S. Armyano-russkiy konfessionalny dialog: istoricheskiy aspekt [Armenian-Russian confessional dialogue: a historical perspective] // Tserkov. Bogoslovie. Istoriya : materialy II Vserossiyskoy nauchno-bogoslovskoy konferentsii (Ekaterinburg, 12 February, 2014). Ekaterinburg : Inform.-izd. otdel EDS, 2014. P. 35–37. ISBN 978–5–8295–0249–2.
3. Sobranie aktov, otnosyashchikhsya k obozreniyu istorii armyanskogo naroda. [Collection of acts relating to overview of the history of Armenian people.] M., 1833. Part 1. P. 6; Kugrysheva E. V. Istoriya armyan v Astrakhani. [History of Armenians in Astrakhan] Astrakhan : GP AO «Izdatelsko-poligraficheskiy kompleks «Volga», 2007. P. 134.
4. Kugrysheva E. V. Istoriya armyan v Astrakhani. Astrakhan [History of Armenians in Astrakhan.] GP AO «Izdatelsko-poligraficheskiy kompleks «Volga», 2007. P. 132–133; Khachatryan V. A. Iz istorii armyanskikh koloniy. Poselenie v Astrakhani [From the history of Armenian settlements. Astrakhan settlement] // Literaturnaya Armeniya. 1972. № 4. P. 92.
5. Sobranie aktov, otnosyashchikhsya k obozreniyu istorii armyanskogo naroda. [Collection of acts relating to overview of the history of Armenian people.] M., 1833. Part 1. P. 7.
6. Doktusov N. P. Armyskaya Tserkov (istoriya ee vzaimootnosheniy s tserkovyu Vselenskoy; ee verouchenie i obryady sravnitelno s pravoslavnyimi). [Armenian Church (the story of its relationships with the Universal Church, its teachings and rituals compared with the Orthodox)] Zagorsk : Svyato-Troitskaya Sergieva Lavra, 1950. Rukopis. P. 276.

7. Ibid.
8. Umnov A. Istoricheskiy yubiley (K 150-letiyu vkhozhdeniya Armenii v sostav Rossii) [Historical anniversary (Dedicated to the 150th anniversary of inclusion of Armenia into Russia)] // Zhurnal Moskovskoy Patriarkhii. 1979. № 3. P. 64.
9. Sobranie aktov, odnosyashchikhsya k obozreniyu istorii armyanskogo naroda. [Collection of acts relating to overview of the history of Armenian people.] M., 1833. Part 1. P. 14.
10. Ibid. P. 95–96.
11. Kugrysheva E. V. Istoriya armyan v Astrakhani. [History of Armenians in Astrakhan] Astrakhan : GP AO «Izdatelsko-poligraficheskiy kompleks «Volga», 2007. P. 135.
12. Quoted from : Lebedev A. Veroispovednoe polozhenie armyan v Rossii do vremen Ekateriny II (vklyuchitelno). [Religious status of Armenians in Russia until the time of Catherine II (inclusive).] M. : Izdanie Imp. Ob-va istorii i drevnostey rossiyskikh pri Mosk. unte, 1909. P. 25.
13. Bozoyan A. A., Yuzbashyan K. N. et al. Armyanskaya Apostolskaya Tserkov [Armenian Apostolic Church] // Pravoslavnaya Entsiklopediya [Orthodox Encyclopedia] / Edited by Patriarch of Moscow and all Russia Aleksey II. T. III : Anfimiy–Afanasiy. M. : Tserkovno-nauchny tsentr «Pravoslavnaya Entsiklopediya», 2001. P. 352.
14. Sobranie aktov, odnosyashchikhsya k obozreniyu istorii armyanskogo naroda. [Collection of acts relating to overview of the history of Armenian people.] M., 1833. Part 1. P. 15; Baziyants A. P. Nad arkhivom Lazarevykh (Ocherki) [Above Lazarev's archive (Essays)] / Executive editor Acad. B. B. Piotrovskiy. M. : Glavnaya redaktsiya vostochnoy literatury izdatelstva «Nauka», 1982. P. 16–17.
15. Sobranie aktov, odnosyashchikhsya k obozreniyu istorii armyanskogo naroda. [Collection of acts relating to overview of the history of Armenian people.] M., 1833. Part 1. P. 17.
16. Ibid. P. 24.
17. Armyanskie tserkvi Rossiyskoy imperii (1717–1917) [Armenian churches of the Russian Empire (1717–1917)] / Editorial panel Virabyan A. S., Mirzoyan S. S., Krbekyan V. G., Avakyan G. G. Yerevan : Tigran Mets, 2009. P. 30. ISBN 978–99941–0–341–6; Kugrysheva E. V. Istoriya armyan v Astrakhani. [History of Armenians in Astrakhan] Astrakhan : GP AO «Izdatelsko-poligraficheskiy kompleks «Volga», 2007. P. 134.
18. Sobranie aktov, odnosyashchikhsya k obozreniyu istorii armyanskogo naroda [Collection of acts relating to overview of the history of Armenian people] M., 1833. Part 1. P. 27.
19. Quoted from : Ezov G. A. Nachalo snosheniy Echmiadzinskogo patriarshego prestola s russkim pravitelstvom. Istoricheskoe issledovanie po neizdannym dokumentam [Origination of relations of Echmiadzin Patriarchal throne with the Russian government. Historical research on unpublished documents] Tiflis : Skoropechatnya M. Martirosyantsa, 1901. P. 5.
20. Ibid. P. 8.
21. Quoted from : Kugrysheva E. V. Istoriya armyan v Astrakhani [History of Armenians in Astrakhan] Astrakhan : GP AO «Izdatelsko-poligraficheskiy kompleks «Volga», 2007. P. 137.
22. Ibid.
23. Trista let sluzheniya na russkoy zemle [Three hundred years of service in the Russian land] // Armyanskaya Tserkov. 2006. № 4. P. 60; Iosif Argutinskiy (biograficheskaya spravka) [Joseph Argutinsky (biography)] // Armyanskaya Tserkov. 2006. № 4. P. 65; Ezov G. A. Nachalo snosheniy Echmiadzinskogo patriarshego prestola s russkim pravitelstvom. Istoricheskoe issledovanie po neizdannym dokumentam [Origination of relations of Echmiadzin Patriarchal throne with the Russian government. Historical research on unpublished documents] Tiflis : Skoropechatnya M. Martirosyantsa, 1901. P. 38–43.
24. Kinyapina N. S., Bliev M. M., Degoev V. V. Kavkaz i Srednyaya Aziya vo vneshney politike Rossii (vtoraya polovina XVIII–80-e gody XIX v.) [Caucasus and Central Asia in Russian foreign policy (second half of the XVIII century-80-ies of the XIX century)] M. : Izdatelstvo Moskovskogo un-ta, 1984. P. 46.
25. Sobranie aktov, odnosyashchikhsya k obozreniyu istorii armyanskogo naroda [Collection of acts relating to overview of the history of Armenian people] M., 1833. Part 1. P. 205.
26. Ispovedanie khristianskiya very Armyanskiya Tserkvi [Confession of the Christian faith by Armenian Church] / Perevedennoe s armyanskago na rossiyskiy yazyk i izdannoe tschaniem preosv. Iosifa, arkhiep. vsego armyanskago naroda, obitayuschago v Rossii, i kavalera kn. Argutinskago-Dolgorukago. SPb., 1799.
27. Sobranie aktov, odnosyashchikhsya k obozreniyu istorii armyanskogo naroda [Collection of acts relating to overview of the history of Armenian people] M., 1833. Part 1. P. 204.

28. Ibid. P. 32.
29. Baziants A. P. Nad arkhivom Lazarevykh (Ocherki) [Above Lazarev's archive (Essays)] / Executive editor Acad. B. B. Piotrovskiy. M. : Glavnaya redaktsiya vostochnoy literatury izdatelstva «Nauka», 1982. P. 19; Bozoyan A. A., Yuzbashyan K. N. et al. Armyanskaya Apostolskaya Tserkov // Pravoslavnaya Entsiklopediya [Orthodox Encyclopedia] / Edited by Patriarch of Moscow and all Russia Aleksey II. T. III : Anfimiy–Afanasiy. M. : Tserkovno-nauchny tsentr «Pravoslavnaya Entsiklopediya», 2001. P. 352.
30. Ayvazyan K. V. Istoriya otnosheniy russkoy i armyanskoy tserkvey v srednie veka [The history of relations between the Russian Church and Armenian Church in the Middle Ages] / Edited by S. S. Arevshatyan. Erevan : Izd-vo AN ArmSSR, 1989. P. 133; Armyanskie tserkvi Rossiyskoy imperii (1717–1917) [Armenian churches of the Russian Empire (1717–1917)] / Editorial panel Virabyan A. S., Mirzoyan S. S., Krbekyan V. G., Avakyan G. G. Erevan : Tigran Mets, 2009. P. 177. ISBN 978–99941–0–341–6.
31. Bozoyan A. A., Yuzbashyan K. N. et al. Armyanskaya Apostolskaya Tserkov [Armenian Apostolic Church] // Pravoslavnaya Entsiklopediya [Orthodox Encyclopedia] / Edited by Patriarch of Moscow and all Russia Aleksey II. T. III : Anfimiy–Afanasiy. M. : Tserkovno-nauchny tsentr «Pravoslavnaya Entsiklopediya», 2001. P. 349.
32. Vartanyan V. G., Kazarov S. S. Armyanskaya Apostolskaya Tserkov na Donu : 2-e izd., pererab. i dop. [Armenian Apostolic Church on Don : 2nd edition, revised and enlarged] Taganrog : Publishing house TIUIE, 2008. P. 18.
33. Sobranie aktov, otnosyashchikhsya k obozreniyu istorii armyanskogo naroda [Collection of acts relating to overview of the history of Armenian people] M., 1833. Part 1. P. 55.
34. Vartanyan V. G., Kazarov S. S. Armyanskaya Apostolskaya Tserkov na Donu : 2-e izd., pererab. i dop. [Armenian Apostolic Church on Don : 2nd edition, revised and enlarged] Taganrog : Publishing house TIUIE, 2008. P. 18.
35. Armyanskie tserkvi Rossiyskoy imperii (1717–1917) Armenian churches of the Russian Empire (1717–1917) / Editorial panel Virabyan A. S., Mirzoyan S. S., Krbekyan V. G., Avakyan G. G. Erevan : Tigran Mets, 2009. P. 103–105, 207, 272. ISBN 978–99941–0–341–6.
36. Ibid. P. 87, 229.
37. Dannye privodyatsya s oporoy na materialy, opublikovannyye v entsiklopedicheskom izdani: Armyanskie tserkvi Rossiyskoy imperii (1717–1917) / [The data are presented relying on the materials published in encyclopedic edition: Armenian churches of the Russian Empire (1717–1917)] Editorial panel Virabyan A. S., Mirzoyan S. S., Krbekyan V. G., Avakyan G. G. Erevan : Tigran Mets, 2009. P. 15–16, 18–29, 47–48, 62–66, 67–70, 93, 100, 103–105, 113–120, 128, 153, 164–168, 171, 178, 185, 189–190, 193–207, 214, 256, 266, 289, 302–303, 311, 321. ISBN 978–99941–0–341–6.
38. Blokhin V. S. Armyanskaya Tserkov v russkoy publitsisticheskoy i nauchnoy literature XIX–nachala XX v. [Armenian Church in the Russian journalistic and scientific literature of the XIX–early XX century.] // ՀՀ անկախության 20-ամյակին նվիրված «Ազգ. պետության, հայրենիք. Պետականության գաղափարը» երիտասարդ գիտնականների միջազգային գիտաժողովի (2011 թ. Նոյեմբեր 6–8, Օադկաձոր) հոդվածների ժողովածու (K 20-letiyu nezavisimosti Respubliki Armeniya «Narod, gosudarstvo, rodina. Ideya gosudarstvennosti»: Mezhdunarodnaya konferentsiya molodykh uchenykh [Dedicated to the 20th anniversary of Armenia's independence] «The people, the state, homeland. Idea of statehood»: International Conference of Young Scientists) (2011, 6–8 noyabrya, Tsakhkadzor) : Sbornik statey). Երևալ., Խ. Արմվանի անվան ՀՊՄՀ, 2012. Էջ 18–25. ISBN 978–99941–69–29–0; Բլոխին Վ. Հայ եկեղեցու վերաբերյալ աստվածաբանական կարծրատիպերը ռուսաստանյալ հասարակական գիտակցության մեջ XIX դարում եւ XX դարակզրին // Բանբեր Երեւանի համալսարանի. Հասարակական գիտություններ : Հայագիտություն. 141. 1. Երեւան, 2013. Էջ. 45–51 (Blokhin V. S. Preodolenie bogoslovskikh stereotipov ob Armyanskoy Tserkvi v rossiyskom obschestvennom soznanii XIX–nachala XX v. [Overcoming theological stereotypes about the Armenian Church in the Russian public consciousness of the XIX–early XX century] // Vestnik Erevanskogo universiteta. Seriya : Obschestvennye nauki. Armenovedenie. 141.1. Erevan, 2013. P. 45–51. ISSN 0321–0405.

Статья сдана в редакцию 26 апреля 2014 года

В редакцию пришло письмо

The lettel received the editorial board

Письмо в редакцию журнала «Вестник Уральского государственного университета путей сообщения»

В журнале «Вестник УрГУПС», № 4 (20) за 2013 год на стр. 4–10 опубликована статья «Об одной краевой задаче для нелинейного уравнения теплопроводности в случае цилиндрической и сферической симметрии» авторов Казакова А. Л., г.н.с. ИДСТУ СО РАН, д-ра физ.-мат. наук, и Кузнецова П. А., аспиранта ИМЭИ ИГУ.

В указанной статье содержится ряд ложных утверждений. А именно.

1. На стр. 5, в левой колонке, в 20–26 строках сверху сказано: «Им (Сидоровым А. Ф.) [4]* и его учениками (см., например [5–7]), в частности доказаны существование кусочно-аналитических решений краевой задачи, в которой волна порождается заданным краевым режимом».

1.1. Хотя Сидоровым А. Ф. в журнале «Доклады Академии наук», 1985, т. 280, № 1, с. 47–51 была опубликована формулировка теоремы о существовании решения краевой задачи, но эта теорема так и осталась недоказанной, о чем сказано в [4] на стр. 10.

1.2. Авторы работ [6, 7] Казаков А. Л. и Лемперт А. А. не являются учениками Сидорова А. Ф.

2. Далее на стр. 5, в левой колонке сказано: «доказано ... в ... **«квазиплоско-симметричном»** (выделено мною — С.Б.) (когда краевой режим задан на поверхности, уравнение которой может отличаться одно из пространственных переменных)».

2.1. Упомянутая выше многомерная задача о тепловой волне рассмотрена в [5] в **общем пространственном** (выделено мною — С.Б.) случае.

3. Далее на стр. 5, в левой колонке сказано: «для задачи А. Д. Сахарова

с данными на сфере или цилиндре упомянутые выше теоремы неприменимы».

3.1. Случаи цилиндрической и сферической симметрии являются частными случаями с $n = 2$ и $n = 3$ общего пространственного случая с x_1, \dots, x_n независимыми пространственными переменными, для которого в [5] доказана соответствующая теорема.

Подробнее об этом ниже.

4. Также на стр. 5, в правой колонке, 3 и 4 строки снизу сказано: «Далее предполагается, что $\mu = 0,2$ », а на стр. 9 в правой колонке, во второй строке сверху сказано: «так как $\mu > 0$ ».

5. На стр. 9, в правой колонке, после заголовка «Введение» сказано: «В ходе проведенного исследования доказана новая теорема существования и единственности решения задачи об инициировании тепловой волны, когда краевые условия заданы на сфере или цилиндре».

5.1. Это утверждение в части «доказана новая теорема» ложно, как уже сказано выше в пункте 3.1. Ниже об этом сказано подробнее.

6. Также на стр. 9, в правой колонке, 1–4 строки снизу сказано: «Тем самым усилены и обобщены результаты, ранее полученные научной школой А. Ф. Сидорова».

6.1. Результаты, на усиление и обобщения которых претендуют Казаков А. Л. и Кузнецов П. А., получены только мною совместно с моим учеником Елисеевым А. А., который не принадлежал к научной школе А. Ф. Сидорова.

Для читателей журнала «Вестник Уральского государственного университета путей сообщения» сообщаю следующее. 23 января 2014 года (еще до того,

*Здесь и далее используется нумерация источников из статьи Казакова А. Л., Кузнецова П. А.

как этот номер был сдан в печать, а шла правка верстки) главный редактор журнала, Сай В.М., д-р техн. наук, профессор был поставлен мною в известность что в статье Казакова А.Л. и Кузнецова П.А. имеется факт научного воровства, состоящий в том, что они под своими именами публикуют теорему, являющуюся простым частным случаем ранее доказанной мною и Елисеевым А.А. теоремы.

Тем не менее главный редактор Сай В.М. решил опубликовать эту статью, основным результатом которой является плагиатом.

Чтобы пояснить читателям, почему представленная в статье Казакова А.Л., Кузнецова П.А. теорема является простым частным случаем ранее доказанной теоремы, привожу ее формулировку из книги [5] со стр. 55, 56.

Теорема 7.1. *Задача с заданным краевым режимом для нелинейного уравнения теплопроводности, т.е. задача*

$$u_t = u \Delta u + \frac{1}{\sigma} (\nabla u)^2, \quad \sigma = \text{const} > 0; \quad (7.1)$$

$$\begin{aligned} u(t, x_1, \dots, x_n) \Big|_{x_1 = a^o(x_2, \dots, x_n)} = \\ = f(t, x_2, \dots, x_n) \end{aligned} \quad (7.2)$$

при выполнении условий

$$f(t, x_2, \dots, x_n) \Big|_{t=0} \equiv 0; \quad \frac{\partial f}{\partial t} \Big|_{t=0, \vec{x}=\vec{x}^o} > 0 \quad (7.3)$$

в случае аналитичности функций $a^o(x_2, \dots, x_n)$, $f(t, x_2, \dots, x_n)$, в некоторой окрестности точки

$$(t = 0, \vec{x} = \vec{x}^o), \quad x_1^o = a^o(x_2^o, \dots, x_n^o)$$

и при конкретном выборе направления движения тепловой волны имеет единственное аналитическое решение в некоторой окрестности рассматриваемой точки $(t = 0, \vec{x} = \vec{x}^o)$.

В уравнении (7.1) div, ∇ — операторы дивергенции и градиента по пространственным переменным x_1, x_2, \dots, x_n .

При стандартных переходах к полярным координатам в случае $n = 2$:

$x_1 = r \cos \phi$, $x_2 = r \sin \phi$ — или к сферическим координатам в случае $n = 3$: $x_1 = r \sin \vartheta \cos \phi$, $x_2 = r \sin \vartheta \sin \phi$, $x_3 = r \cos \vartheta$ — уравнение (7.1) в самом простом случае — случае независимости искомого решения от углов:

$$\frac{\partial}{\partial \phi} = \frac{\partial}{\partial \vartheta} = 0,$$

а зависимости только от t и r , переходит в уравнение (1.1) из статьи Казакова А.Л., Кузнецова П.А., в котором надо заменить τ на t , ρ на r . При этом случай $\mu = 1$ для уравнения (1.1) из статьи Казакова А.Л., Кузнецова П.А. соответствует введению полярных координат, а $\mu = 2$ — сферических. О том, что это стандартные преобразования, сказано и в статье Казакова А.Л., Кузнецова П.А. на стр. 5, в правой колонке сразу после заголовка «Постановка задачи».

Пусть в качестве функции $a^o(x_2, \dots, x_n)$ из условия (7.2) взяты конкретные функции

$$a^o(x_2) = \sqrt{R^2 - x_2^2}$$

в случае цилиндрической симметрии и

$$a^o(x_2, x_3) = \sqrt{R^2 - x_2^2 - x_3^2}$$

в случае сферической симметрии, а в качестве функции $f(t, x_2, \dots, x_n)$ взята функция $f(t)$, зависящая только от времени t .

Если теперь в условии (7.2) при указанных $a^o(x_2)$, $a^o(x_2, x_3)$ перейти соответственно к полярным и или сферическим координатам, то после несложных и стандартных преобразований в случае цилиндрической симметрии

$$\begin{aligned} x_1^2 &= R^2 - x_2^2; \quad x_1^2 + x_2^2 = R^2; \\ r^2 \cos^2 \phi + r^2 \sin^2 \phi &= R^2; \quad r^2 = R^2 \end{aligned}$$

и следующих преобразований в случае сферической симметрии

$$\begin{aligned} x_1^2 &= R^2 - x_2^2 - x_3^2; \quad x_1^2 + x_2^2 + x_3^2 = R^2; \\ r^2 \sin^2 \vartheta \cos^2 \phi + r^2 \sin^2 \vartheta \sin^2 \phi + \\ + r^2 \cos^2 \vartheta &= R^2; \quad r^2 = R^2, \end{aligned}$$

а также с учетом известного ограничения на значения переменной r : $r \geq 0$ получается условие

$$u(t, r)|_{r=R} = f(t),$$

полностью совпадающее с условием (1.2) из статьи Казакова А.Л., Кузнецова П.А., в котором надо заменить t на t , ρ на r .

Таким образом, показано, что задача (1.1), (1.2) из статьи Казакова А.Л., Кузнецова П.А. является простым частным случаем задачи (7.1), (7.2) из книги [5], для которой соответствующая теорема о существовании и единственности аналитического решения доказана еще в 2002 году и опубликована в 2003 году.

Следовательно, Казаков А.Л. и Кузнецов П.А. в рассматриваемой статье под своими именами представили теорему, ранее доказанную другими авторами. Это является фактом научного плагиата — научного воровства.

Для того чтобы читателям лучше была понятна ситуации с теоремой из [5], привожу связанную с ней хронологию событий.

В работе В.В. Васина и А.Ф. Сидорова «О некоторых методах приближенного решения дифференциальных и интегральных уравнений» (Известия вузов. Математика. 1983, № 7 (254), с. 13–27) А.Ф. Сидоровым показана возможность построения в виде формального степенного ряда Тейлора плоскосимметричной тепловой волны, порожденной заданным режимом нагрева в конкретной точке. Для построенного в этой работе формального степенного ряда в упомянутой выше работе 1985 года А.Ф. Сидоров сформулировал теорему об его сходимости. Однако эта теорема А.Ф. Сидоровым так и не была доказана, несмотря на его постоянные попытки в течение почти шестнадцати лет. Эта теорема не далась и другим исследователям, среди которых: академик А.М. Ильин и ученики А.Ф. Сидорова — С.П. Баутин, Л.Г. Корзунин, Л.И. Рубина, С.С. Титов, М.Ю. Фили-

монов. До настоящего времени эта теорема так и остается недоказанной.

И только через 19 лет после работы А.Ф. Сидорова и В.В. Васина в работе С.П. Баутина «Тепловая волна нелинейного уравнения теплопроводности» (Екатеринбург : Изд-во УрГУПС, 2002. 88 с. ISBN 5–9221–0443–8) впервые и принципиально новой методикой перехода в специальное функциональное пространство было доказано существование и единственность аналитического решения о тепловой волне, порожденной заданным краевым режимом в конкретной точке. Практически сразу этой методикой удалось установить факты существования и единственности решения подобной задачи и в общем многомерном случае [5]. Позже этот многомерный результат был также опубликован в работе С.П. Баутина и А.А. Елисеева «Многомерная аналитическая тепловая волна, определяемая краевым режимом» (Дифференциальные уравнения. 2006. Т. 42, № 8. С. 1052–1062. ISSN 0374–0641).

Один из авторов обсуждаемой статьи — Казаков А.Л. — полностью в курсе всех этих обстоятельств. В своей работе Казаков А.Л. и Кузнецов П.А. проводят доказательство, дословно повторяя эксклюзивную методику из работы [5], но не ссылаясь на этот факт в своей статье.

В монографии [5] приведены результаты, полностью закрывающие основные вопросы о существовании аналитических решений у нелинейного уравнения теплопроводности, описывающих распространение с конечной скоростью тепловых волн по холодному фону при задании разных входных условий. Именно из-за общности теоремы, доказанной в [5] для многомерного случая, и было принято решение не излагать в [5] случаи цилиндрической и сферической симметрии, рассмотренные в обсуждаемой работе Казакова А.Л. и Кузнецова П.А. ■

С.П. Баутин, д-р физ.-мат. наук, профессор кафедры «Высшая и прикладная математика» Уральского государственного университета путей сообщения

31 января 2014 года

Ответ на письмо С. П. Баутина

В редакцию журнала «Вестник УрГУПС» 31 января 2014 года С. П. Баутиным, д-ром физ.-мат. наук направлено письмо, содержащее критические замечания в адрес статьи А. Л. Казакова, д-ра физ.-мат. наук и П. А. Кузнецова «Об одной краевой задаче для нелинейного уравнения теплопроводности в случае цилиндрической и сферической симметрии», опубликованной в «Вестнике УрГУПС» (№ 4 (20), 2013 г.). Ниже представлен наш ответ С. П. Баутину.

Поскольку замечания весьма неравноценны — от указания на опечатки до обвинений в плагиате, — мы позволили себе на первом этапе отсортировать их по степени значимости. Сами замечания далее выделены курсивом.

Наиболее серьезные претензии (точнее, обвинения) содержатся в пункте 6.1 письма. С. П. Баутин пишет о *«научном воровстве»* (с. 2, 13-я строка снизу; с. 4, 19-я строка снизу) и *«научном плагиате»* (с. 4, 19-я строка снизу).

Данные высказывания не соответствуют действительности и вызывают чувство недоумения: задача (1.1), (1.2) в работах Сергея Петровича не рассматривалась, более того, уравнение (1.1) упоминается им только в связи с «обратной» задачей о восстановлении тепловой волны при задании уравнения движения теплового фронта ([5]^{*}, с. 32, задача (3.13), (3.14)). Таким образом, можно обсуждать научную ценность результатов нашей статьи, но обвинения в *«воровстве»* и *«плагиате»* являются совершенно беспочвенными.

Второе по значимости замечание — утверждение С. П. Баутина, что наша теорема *«является простым частным случаем ранее доказанной мной (С. П. Баутиным — А. К.) и Елисеевым А. А. теоремы»* (с. 2, 12–13 строка снизу; аналогичное замечание имеется на с. 4, 13-я строка сверху).

В обоснование своего тезиса Сергей Петрович указывает, что уравнение окружности (сферы) может быть записано в виде

$$x_1 = \sqrt{R^2 - x_2^2} (*)$$

$$(x_1 = \sqrt{R^2 - x_2^2 - x_3^2} (**)),$$

что и позволяет свести задачу (1.1), (1.2) из нашей статьи к теореме 7.1 из монографии [5]. Однако общеизвестно, что, во-первых, подобное преобразование возможно только для полукруга (полусферы); во-вторых, функция (*) не является дифференцируемой при $x_2 = \pm R$; аналогичным свойством при $x_2^2 + x_3^2 = R^2$ обладает функция (**).

Таким образом, теорема 7.1 из [5] (в отличие от нашей теоремы) не обеспечивает существования и единственности аналитического решения задачи (7.1) в полной окрестности окружности или сферы $\rho = R$, т.е. утверждение С. П. Баутина не соответствует истине.

Третье по значимости замечание связано с тем, что, по мнению С. П. Баутина, *«в своей работе Казаков А. Л. и Кузнецов П. А. проводят доказательство, дословно повторяя эксклюзивную методику из работы [5], но не ссылаясь на этот факт в своей статье»*.

Высказывание для нас не совсем понятное. В разделе 3 «Доказательство сходности» мы дважды ссылаемся на результаты С. П. Баутина. При этом указано, что на начальном этапе доказательства различны (хотя и близки): см. строки 10–12 ниже формулы (3.14) (ср. также формулы (3.1) и (4.5), (3.4) и (4.9), (3.7) и (4.13) — первым в паре указан номер формулы из нашей статьи, вторым — из книги С. П. Баутина), а на завершающем — аналогичны:

*Баутин С. П. Аналитическая тепловая волна. М.: Физматлит, 2003. 88 с. ISBN 5-9221-0257-5.

см. последний абзац раздела 3. Таким образом, говорить о «дословном совпадении» и нарушении авторских прав С. П. Баутина в данном случае не приходится.

Что касается «эксклюзивности методики», то это утверждение также достаточно спорное, поскольку основными этапами доказательства сходимости в ней являются: 1) замена независимых переменных, в результате которой неизвестный фронт тепловой волны становится новой координатной осью; 2) замена искомых функций, в результате которой одна из независимых переменных и искомая функция меняются местами (специальный аналог преобразования годографа); 3) применение теоремы о неявной функции; 4) построение мажорантного уравнения. Ни один из этих приемов не может быть назван «эксклюзивным». Так, замены вида 1) применялись в работах чл.-корр. РАН В. М. Тешукова; замены вида 2) неоднократно использовались акад. РАН А. Ф. Сидоровым; на авторство теоремы о неявной функции и метода мажорант, которые известны по крайней мере с позапрошлого века, С. П. Баутин также вряд ли может претендовать. Таким образом, правильнее говорить не об «эксклюзивной методике», а об удачном использовании стандартных приемов для получения нового научного результата.

Остальные замечания являются гораздо менее значимыми, однако хотелось бы ответить и на них. Далее рассмотрение проводится в том порядке, в каком замечания приводит Сергей Петрович.

Во втором абзаце письма С. П. Баутин заявляет, что «в статье содержится ряд ложных утверждений. А именно.

На стр. 5, в левой колонке, в 20–26 строках сверху сказано: «Им (Сидоровым А. Ф.) [4] и его учениками (см., например, [5–7]), в частности доказаны существование кусочно-аналитических решений краевой задачи, в которой волна порождается заданным краевым режимом».

1.1. Хотя Сидоровым А. Ф. ... была опубликована формулировка теоремы о существовании решения краевой задачи, но эта теорема так и осталась недоказанной, о чем сказано в [4] на стр. 10 ...

1.2. Казаков А. Л. и Лемперт А. А. не являются учениками Сидорова А. Ф.»

А. Ф. Сидоров не только сформулировал соответствующую теорему, но и построил решение задачи в виде формального степенного ряда. Кроме того, им была установлена «машинная сходимость» рядов во многих численных экспериментах. Таким образом, научный вклад Анатолия Федоровича в данном случае значительно больше, чем пытается представить С. П. Баутин.

На замечание 1.2 можно было бы вообще не отвечать, поскольку Сергей Петрович пытается здесь присвоить себе право определять персональный состав научной школы А. Ф. Сидорова. Однако хотелось бы отметить, что автор слушал в университете лекции профессора А. Ф. Сидорова и именно ему обязан своим интересом к дифференциальным уравнениям с частными производными. Кроме того, Анатолий Федорович всегда был для нас образцом патриотизма, порядочности и бескорыстного служения науке.

В шестом абзаце письма указано, что «... на стр. 5, в левой колонке сказано: «доказано ... в ... квазиплоскосимметричном (когда краевой режим задан на поверхности, уравнение которой может относительно одно из пространственных переменных)» (здесь цитата искажена С. П. Баутиным практически до потери смысла, следует читать: «... уравнение которой может быть разрешено относительно одной из пространственных переменных»).

2.1. Упомянутая выше многомерная задача о тепловой волне рассмотрена в [5] в общем пространственном случае».

Еще одно непонятное для нас высказывание, которое опровергается самим же Сергеем Петровичем двумя

страницам ниже. Поскольку им приведена полная формулировка теоремы 7.1, достаточно взглянуть на краевые условия (7.2) (см. условие теоремы 7.1), дабы убедиться в том, что в нашей статье его результаты представлены верно.

Отвечая на оставшиеся замечания, мы будем кратки, т.к. они либо несущественные, либо ответ на них фактически уже дан. Так, ответ на замечание 3 содержится на с.1 (см. 3-й абзац). Замечание 4 касается опечатки: разумеется, мы рассматриваем случаи, когда $\mu = 1$ и 2. Ответы на замечания 5 и 6 также уже последовали.

Помимо замечаний, Сергей Петрович приводит, как он выражается, «хронологию событий», в которой имеется пробел: утверждение, что «теорема А. Ф. Сидоровым так и не была доказана, несмотря на его постоянные попытки в течение почти шестнадцати лет. Эта теорема «не далась» и другим исследователям, среди которых академик Ильин А. М. и ученики А. Ф. Сидорова: Баутин С. П., Корзунин Л. Г., Рубина Л. И., Титов С. С., Филимонов М. Ю. До настоящего времени эта теорема так и остается недоказанной» является не вполне точным. Данная теорема доказана (и даже в более общем случае, чем первоначально формулировалась) в работе [6]**.

Завершает письмо абзац, содержащий выводы, которые, на наш взгляд, также, мягко говоря, неочевидны и нуждаются в комментариях. Выводов, фактически, два:

«В монографии [5] приведены результаты, полностью закрывающие основные вопросы о существовании аналитических решений у нелинейного уравнения теплопроводности, описывающих распространение с конечной скоростью тепловых волн по холодному фону при задании разных входных условий».

Суждение не вполне точное, поскольку, как уже отмечалось, Сергей Петрович и его соавтор А. А. Елисеев

ограничились рассмотрением квази-одномерного случая, когда краевой режим задан на поверхности, уравнение которой может быть разрешено относительно одной из пространственных переменных (см. краевые условия (7.2)). Поскольку далеко не каждая поверхность может быть представлена в подобном виде, С. П. Баутин несколько преждевременно претендует на «закрытие основных вопросов».

«Из-за общности теоремы, доказанной в [5] для многомерного случая, и было принято решение не излагать в [5] случаи цилиндрической и сферической симметрии, рассмотренные в обсуждаемой работе Казакова А. Л. и Кузнецова П. А.».

Разговоры в духе «мы эти результаты получили десять лет назад, вот только не опубликовали» в научной среде звучат не столь уж редко, но, как правило, в качестве аргумента в споре о приоритете научной общественностью не принимаются.

Приходится с сожалением констатировать, что письмо Сергея Петровича Баутина содержит большое количество неточностей и даже серьезных ошибок (странных для специалиста), а обвинения, содержащиеся в нем, являются бездоказательными. Полагая, что письмо написано под влиянием эмоций и надеемся, что, когда эмоции схлынут, Сергей Петрович, к которому мы, несмотря ни на что, относимся с искренним уважением и глубокой симпатией, поддержит репутацию добросовестного исследователя и найдет в себе мужество извиниться перед авторами статьи за необоснованные обвинения. ■

**А. Л. Казаков, д-р физ.-мат. наук,
гл. научн. сотр. ИДСТУ СО РАН**

*Оригинал письма
(от 10 февраля 2014 года)
находится в редакции журнала.*

**Казаков А. Л., Лемперт А. А. О существовании и единственности решения одной краевой задачи для параболического уравнения типа нестационарной фильтрации // Прикладная механика и техническая физика. 2013. Т. 54, № 2. С. 97–105. ISSN 0869-5032.

Уважаемые коллеги!

Информирую вас о требованиях, предъявляемых к оформлению статей.

При наборе используйте Word-2003 или Word-2007; шрифт (по всему тексту, в том числе в рисунках и таблицах) — тип Times, размер шрифта — 14, межстрочное расстояние — 1,5, абзацный отступ — 1,25 (1,27) см, поля — 2 см; расстановка переносов по всему тексту — автоматическая.

Набор формул: простые формулы и сочетания символов ($x^2 < y^2$; $E = mc^2$; $a^2 + b^2 = c^2$; Q_{i-1} ; ψ_j) — только в текстовом режиме, сложные

$$(s^2 = \frac{1}{n-1} \left[\sum_{j=1}^e x_j^2 n_j - \frac{1}{n} \left(\sum_{j=1}^e x_j n_j \right)^2 \right]; \left(\frac{\sigma_a}{[n]} \right)$$

или S_i^m) — только в редакторе формул

Equation или в MathType.

Написание букв: русские (а, б, в, А, Б, В), греческие (Θ, Σ, Ω, Ψ, α, β, δ, ε, λ, π), а также цифры и функции (1, 2, 3; I, II, III; max, lg, sin и т.п.) пишутся только прямо; латинские (*a, b, n, A, B, N* и т.д.) — только курсивом. Исключение — курсив во вспомогательном тексте (слова «Таблица» и «Рис.», примечания в рисунках и ссылки в тексте на эти примечания).

Оформление текста: левый верхний край — инициалы, фамилия; заголовков — все буквы ПРОПИСНЫЕ, жирные, расположение — по центру набора; таблиц и рисунков: в таблицах размер шрифта — на полтора-два размера меньше, чем в основном тексте (11,5–12), расположение текста в «шапке» таблицы — по центру, в столбцах — по ширине; межстрочное расстояние — 1; слово «Таблица» — курсивное начертание, в правый край таблицы; название таблицы — начертание нормальное (прямое), расположение — по центру таблицы. В рисунках (графиках, диаграммах): размер подрисуноч-

ной подписи — 14, расположение — по центру набора, слово «Рис.» — курсив, название рисунка — нормальное начертание, описание рисунка (экспликация) — нормальное начертание, условные обозначения — курсивное начертание, их расшифровка — нормальное. Расположение таблиц и рисунков — строго после ссылки на них.

Кроме того, рисунки обязательно прилагаются к материалу (один рисунок — один файл; формат — *.jpg).

Ссылки на литературу в тексте пишутся в квадратных скобках ([1], [1, 2] или [3–5]); нумерация сквозная. Список литературы/источников оформляется по ГОСТ 7.0.5–2008.

В конце статьи обязательно ставится дата отсылки материала в редакцию.

Объем статьи — не более 14-ти страниц.

Название файла: Фамилия. Первое слово заголовка. Многоточие. Последнее слово заголовка (Сидоров. Синтез... электроприводом).

К материалу (статье) обязательно прилагаются (отдельным файлом): УДК, сведения об авторе, аннотация, ключевые слова (название файла: УДК 000. Сидоров. Синтез... электроприводом).

Материалы для очередного номера журнала «Вестник УрГУПС» принимаются до 30 числа первого месяца квартала (до 30-го января, 30-го апреля, до 30-го июля, до 30-го октября). Материалы, поступившие в редакцию после 30-го числа, будут опубликованы только в следующем номере.

Успешной работы!

*Л. Барышникова,
литературный и выпускающий
редактор журнала «Вестник УрГУПС»*